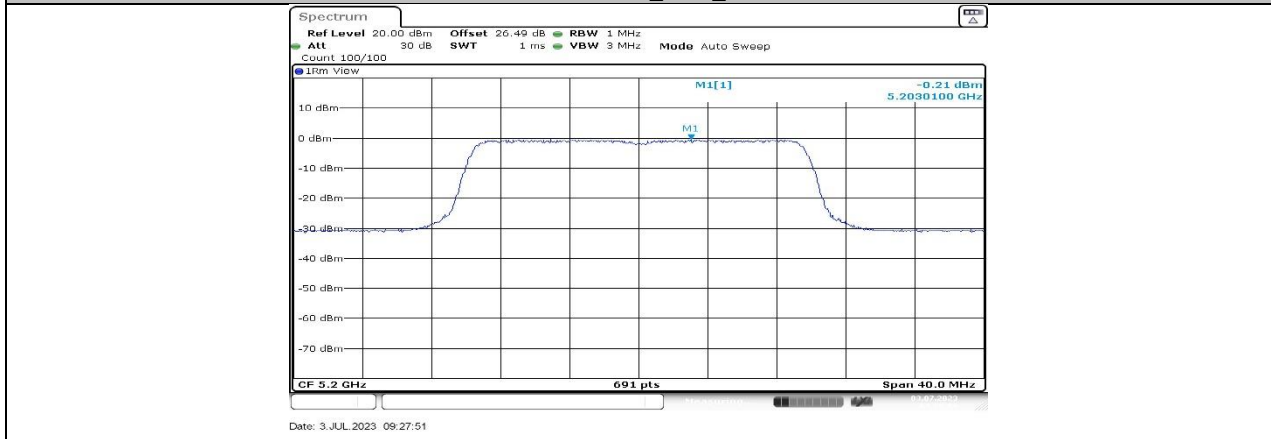
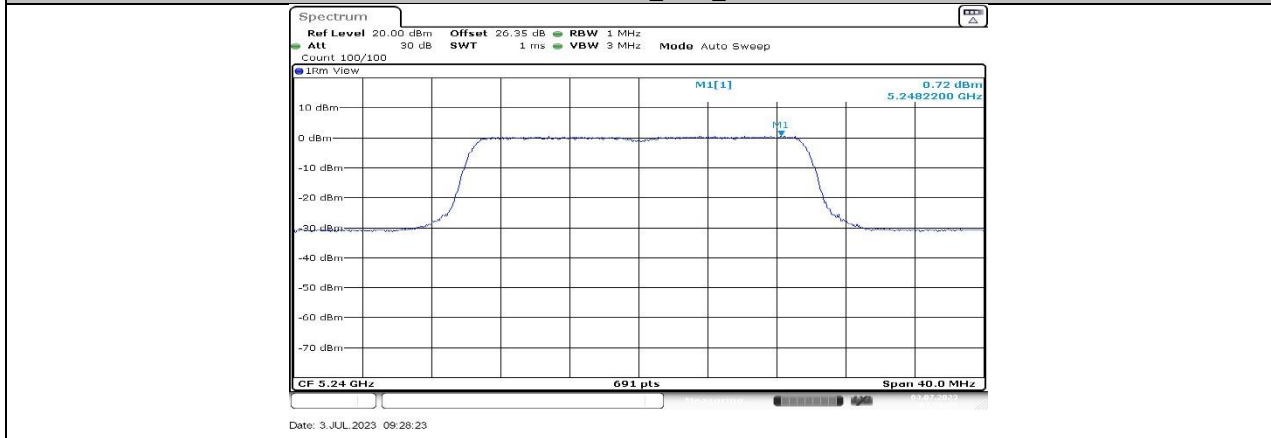


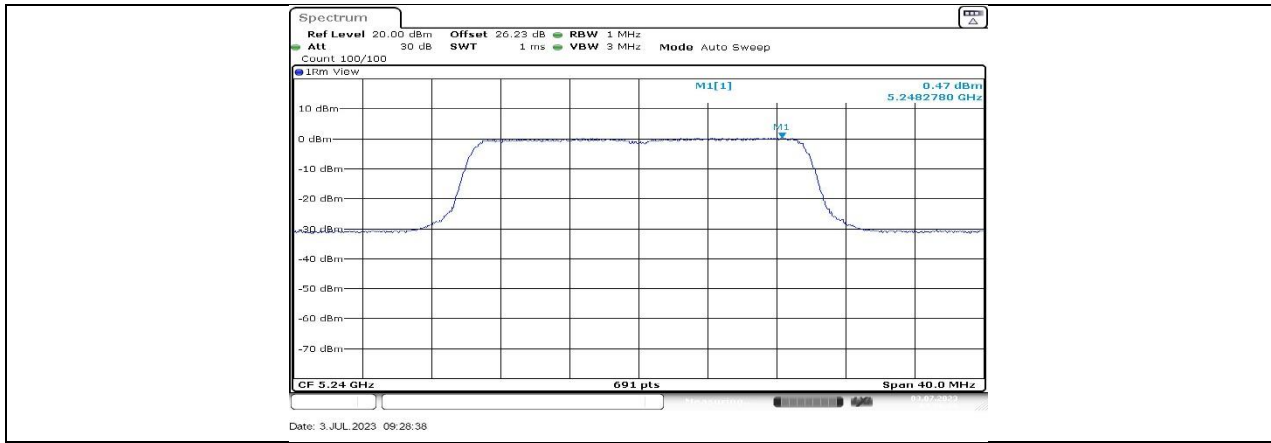
11AX20MIMO_Ant1_5200



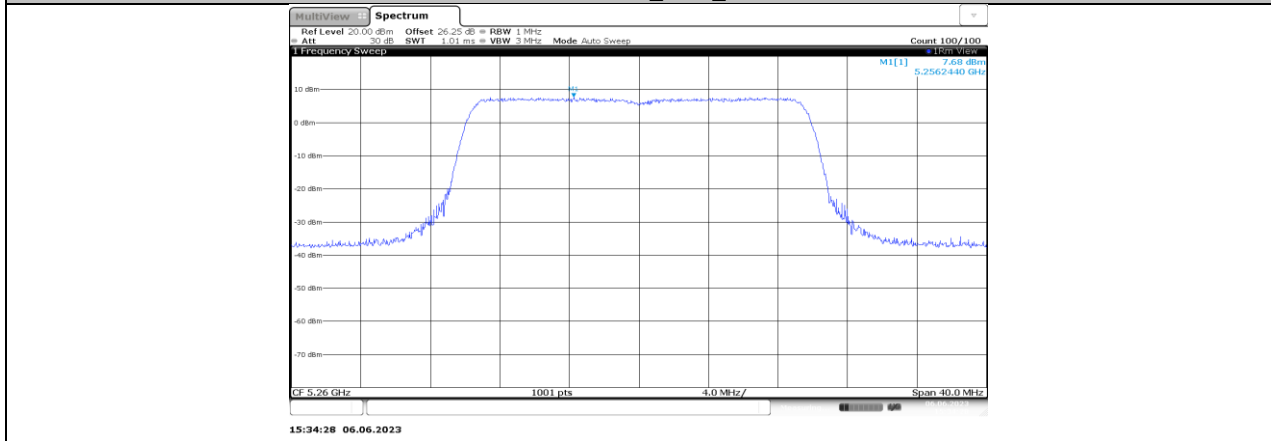
11AX20MIMO_Ant2_5200



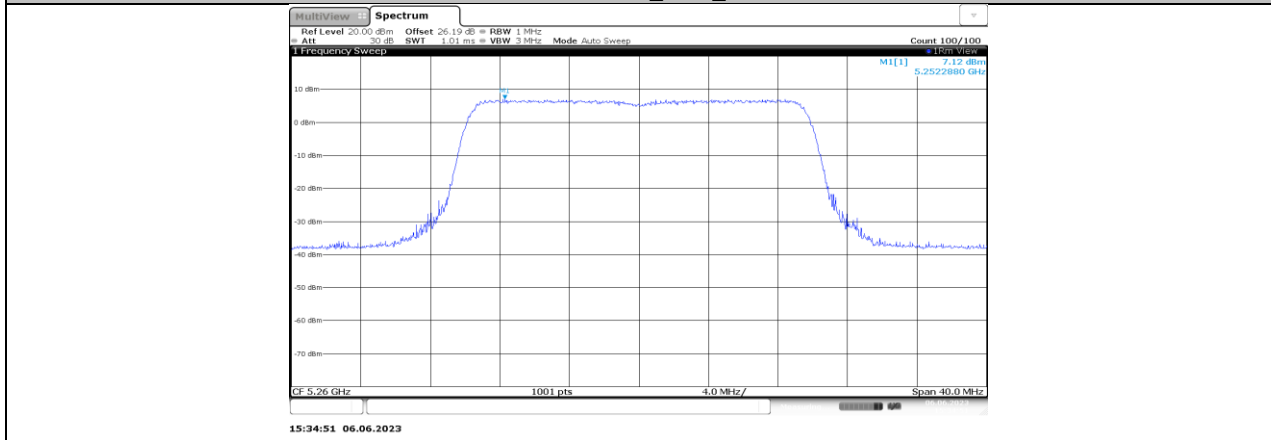
11AX20MIMO_Ant1_5240



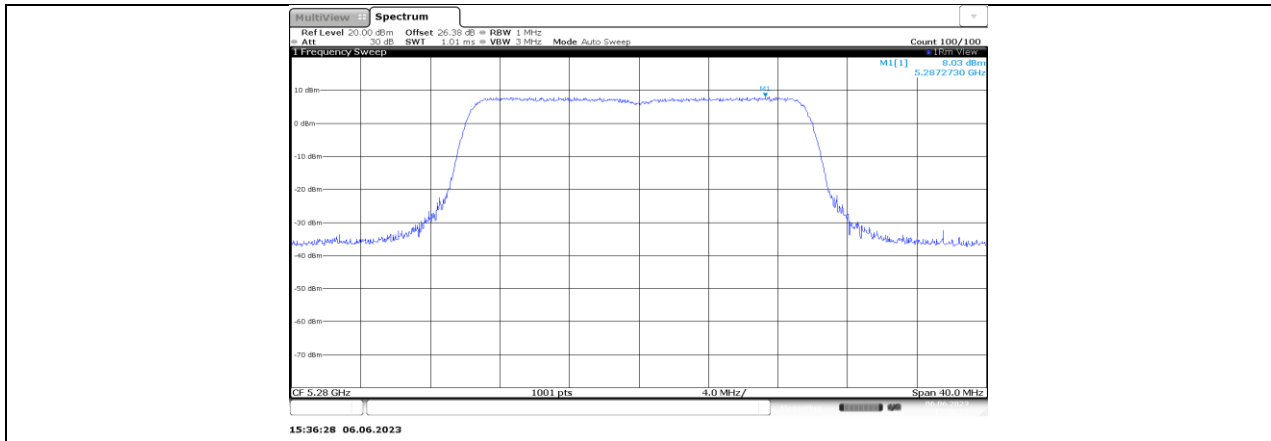
11AX20MIMO_Ant2_5240



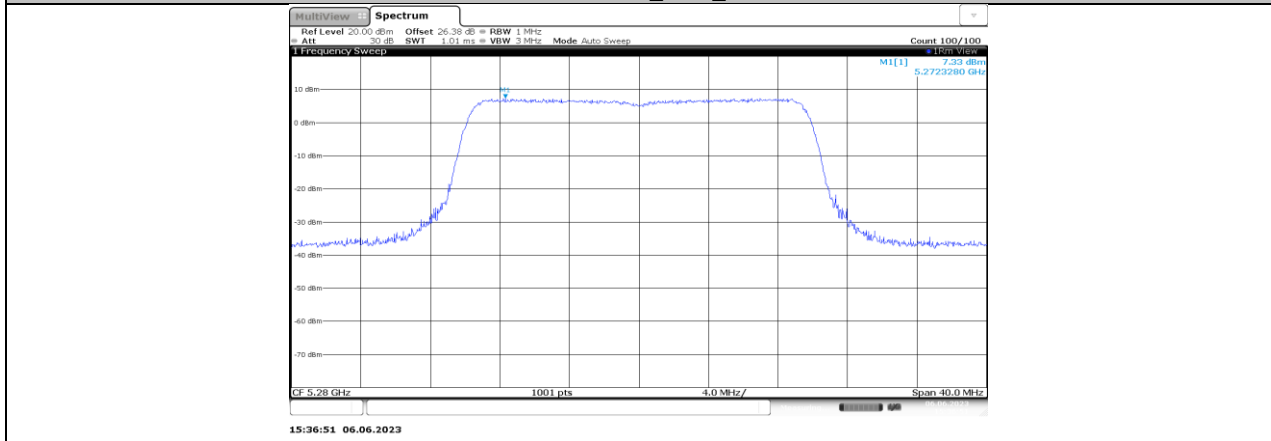
11AX20MIMO_Ant1_5260



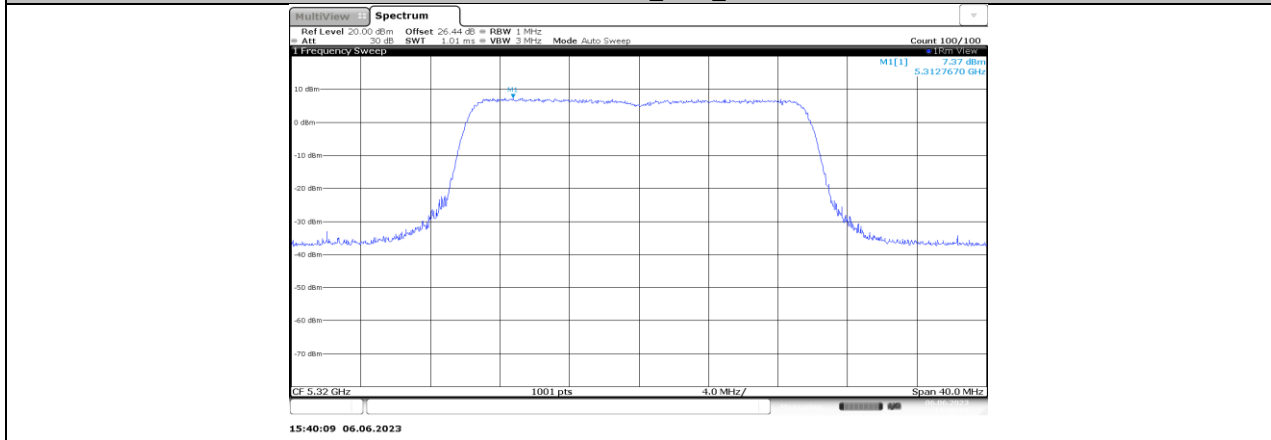
11AX20MIMO_Ant2_5260



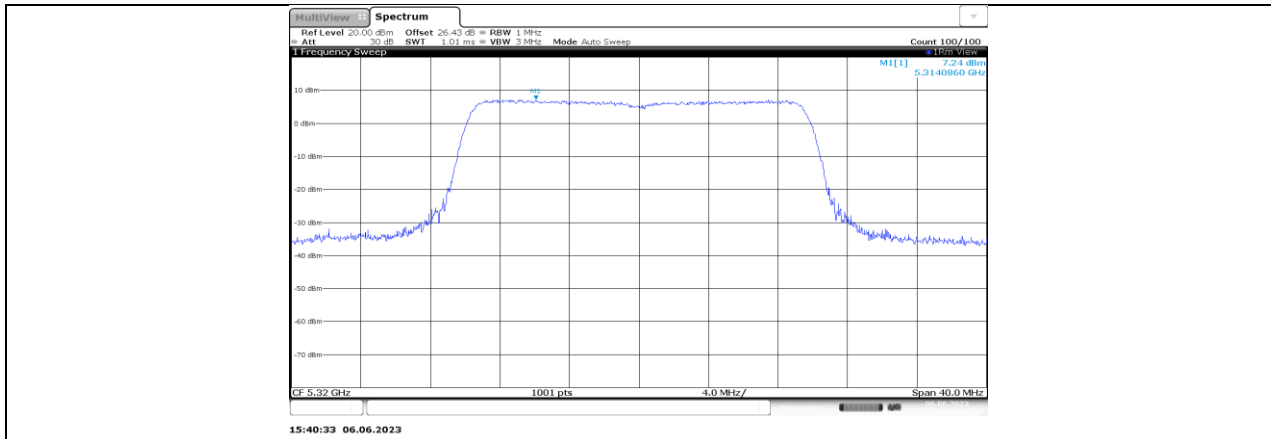
11AX20MIMO_Ant1_5280



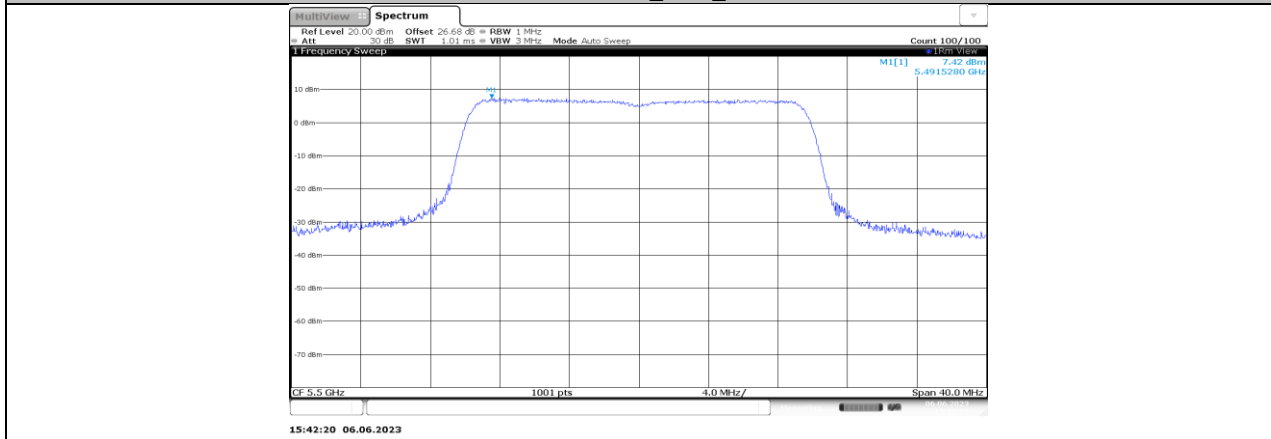
11AX20MIMO_Ant2_5280



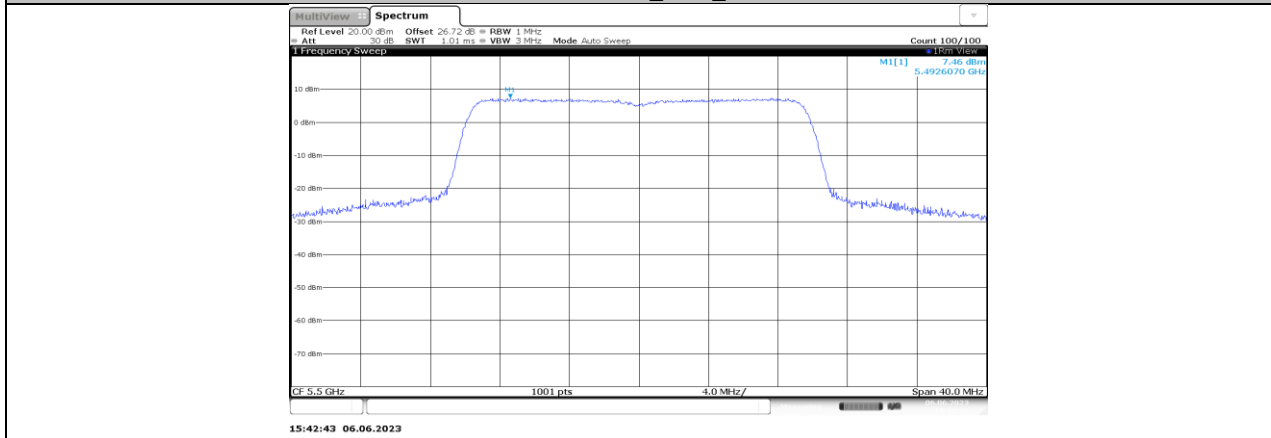
11AX20MIMO_Ant1_5320



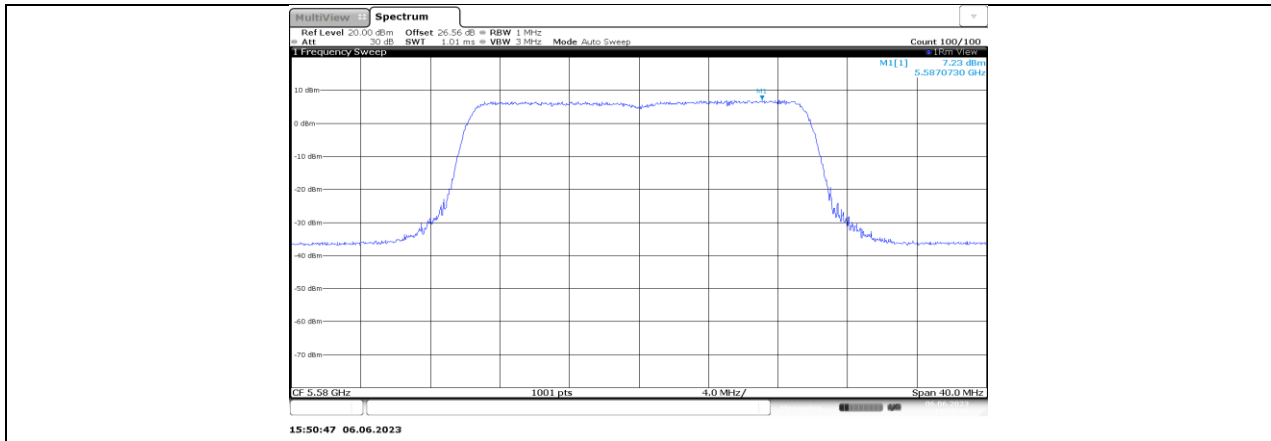
11AX20MIMO_Ant2_5320



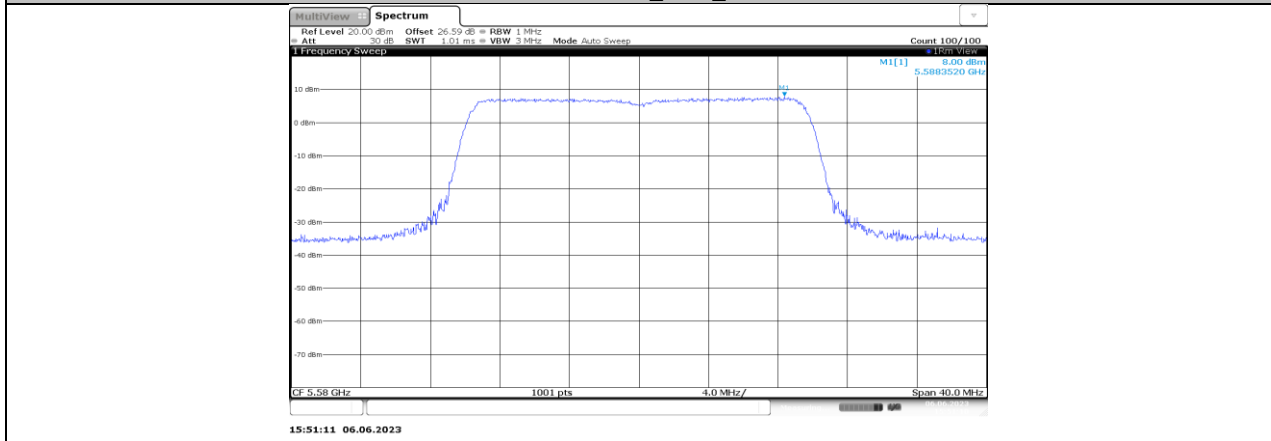
11AX20MIMO_Ant1_5500



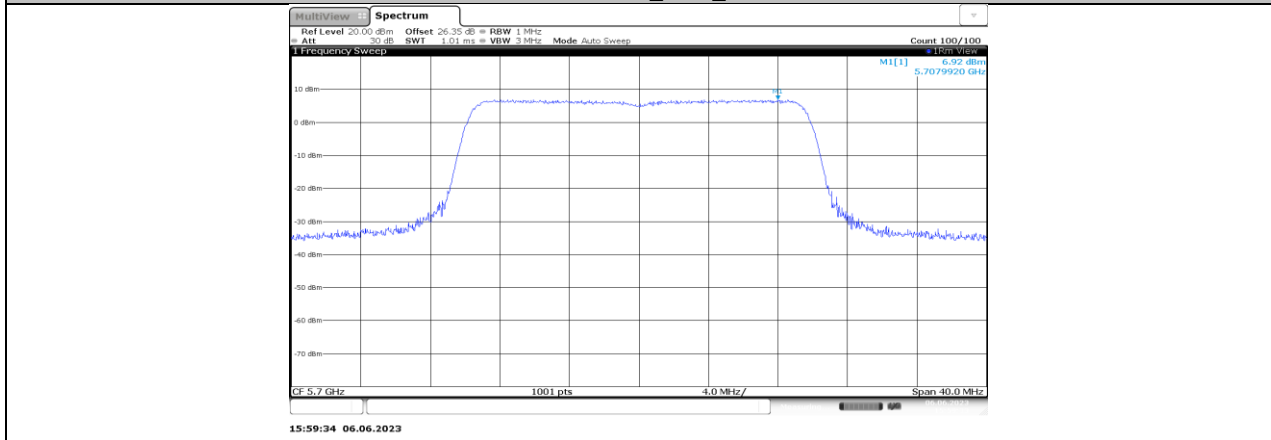
11AX20MIMO_Ant2_5500



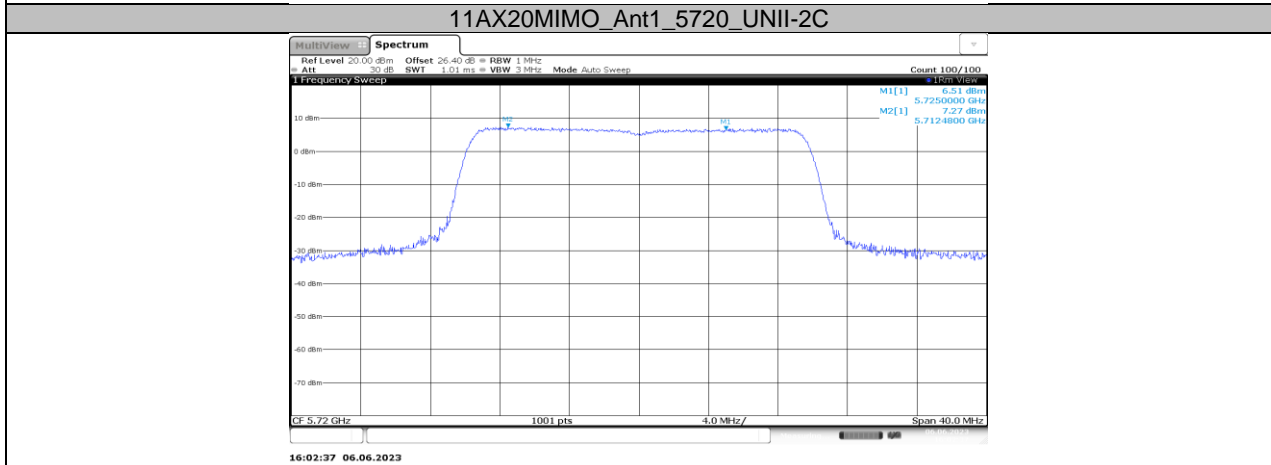
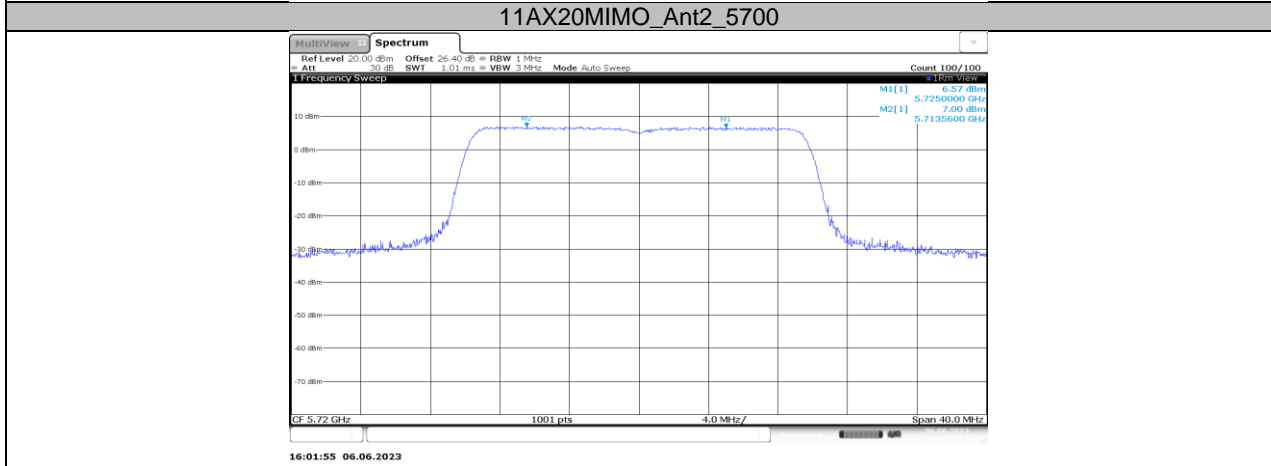
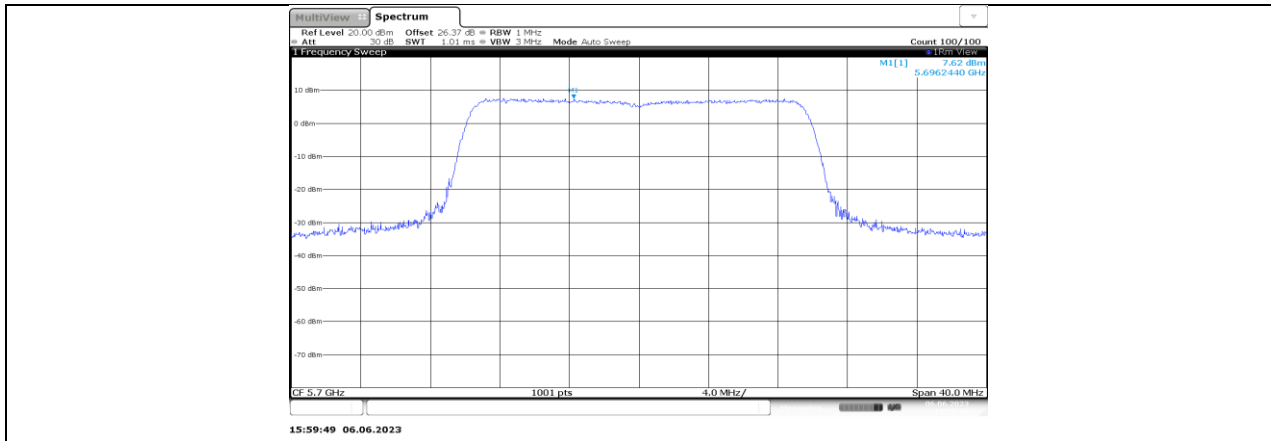
11AX20MIMO_Ant1_5580

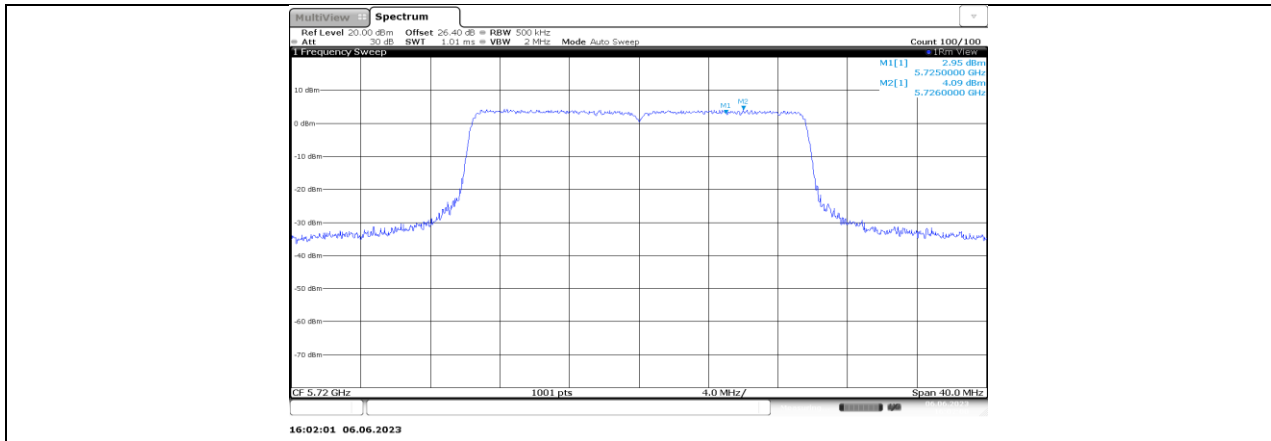


11AX20MIMO_Ant2_5580

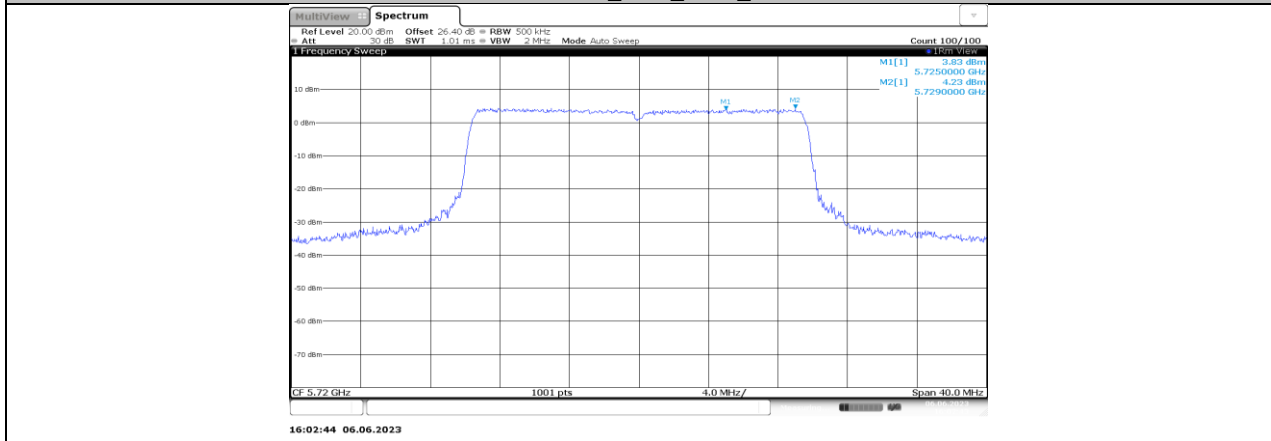


11AX20MIMO_Ant1_5700

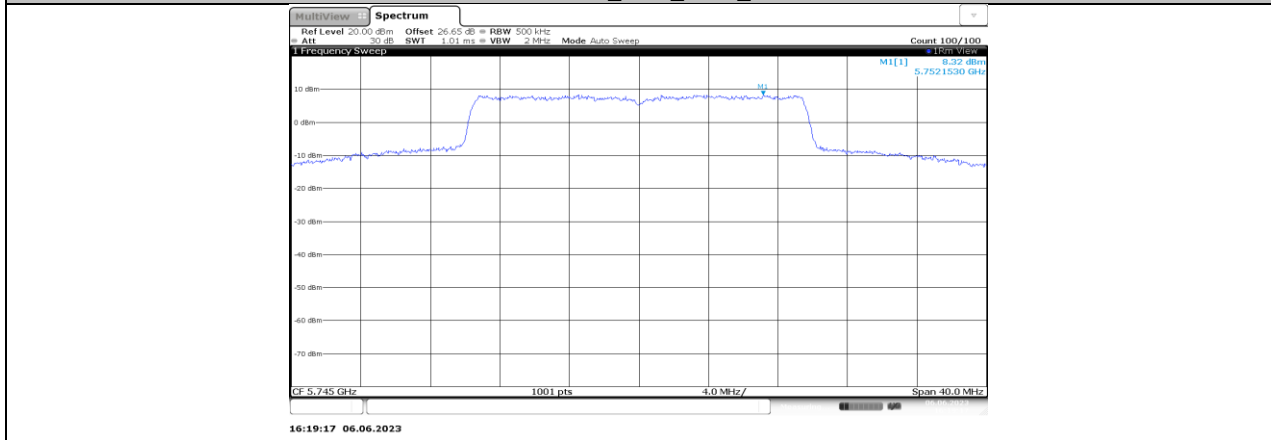




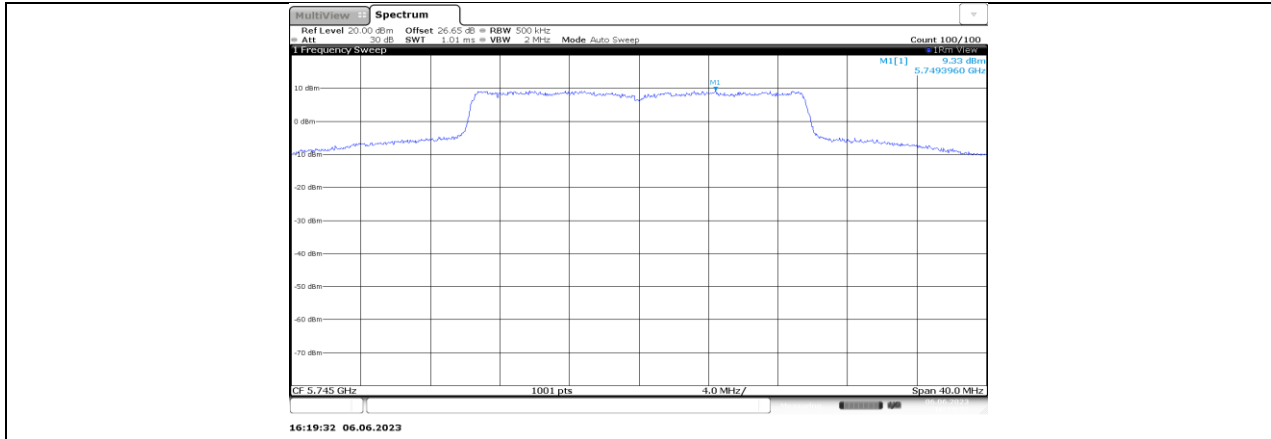
11AX20MIMO_Ant1_5720_UNII-3



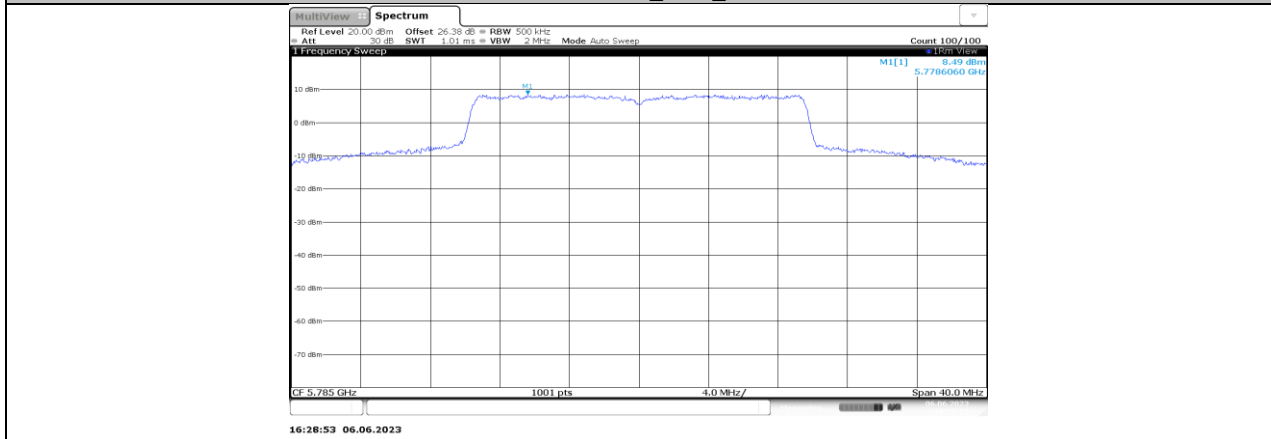
11AX20MIMO_Ant2_5720_UNII-3



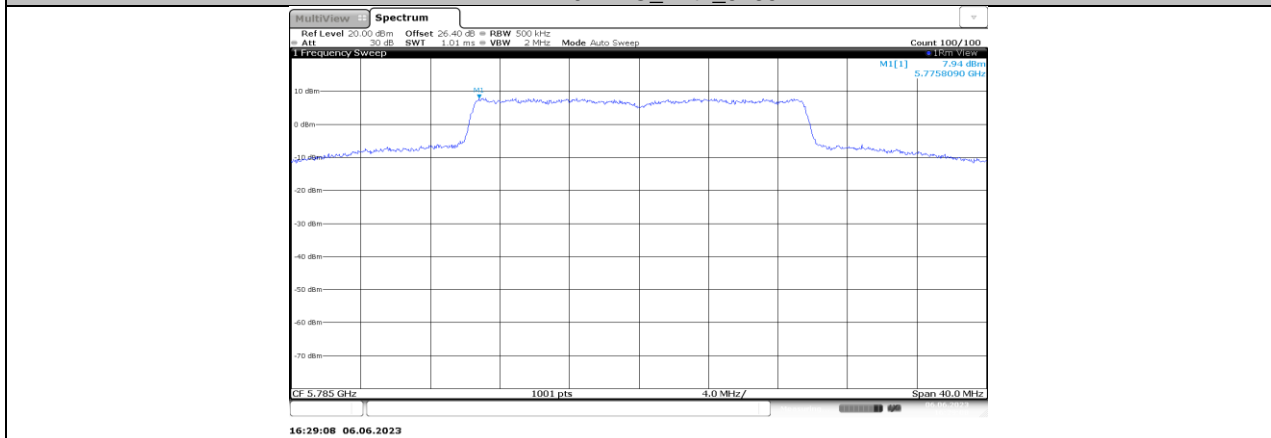
11AX20MIMO_Ant1_5745



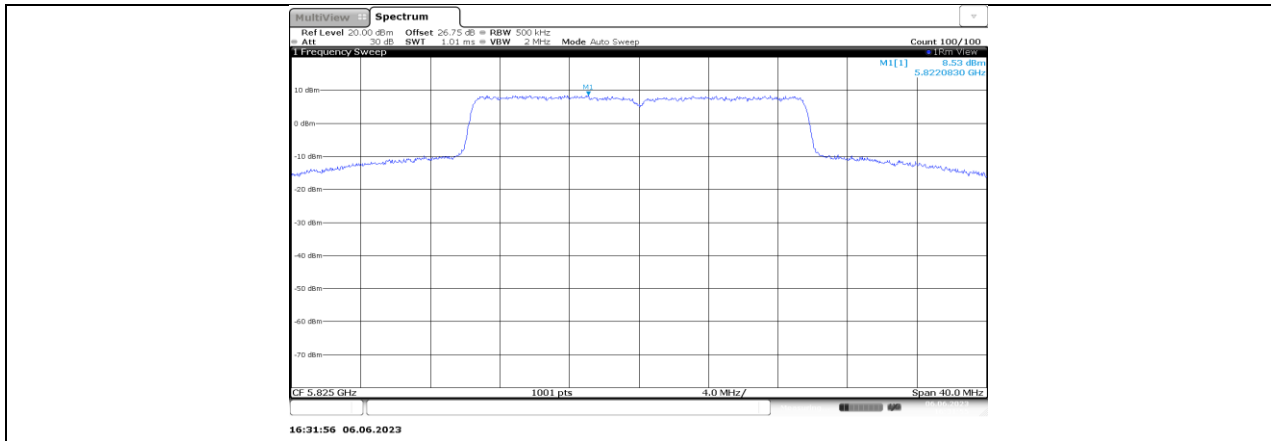
11AX20MIMO_Ant2_5745



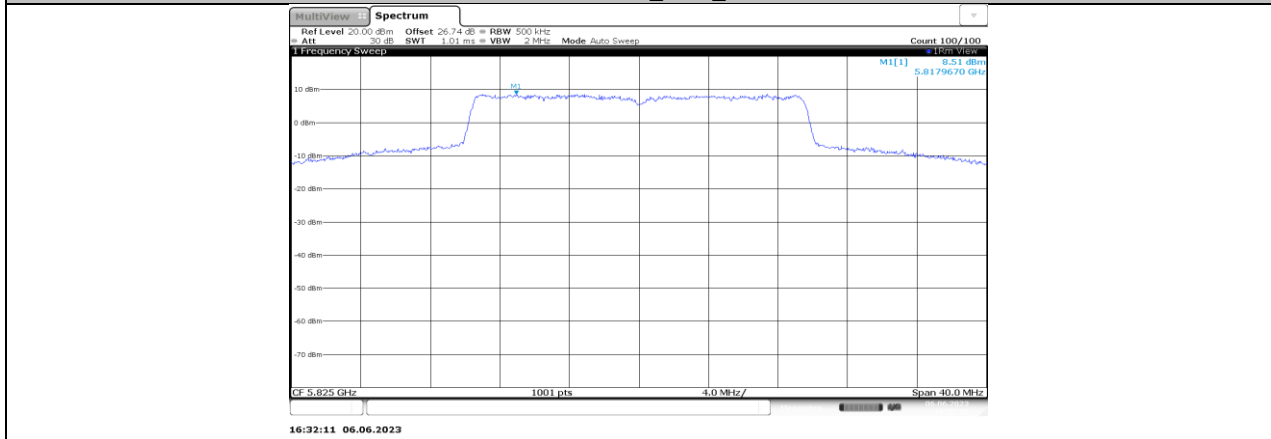
11AX20MIMO_Ant1_5785



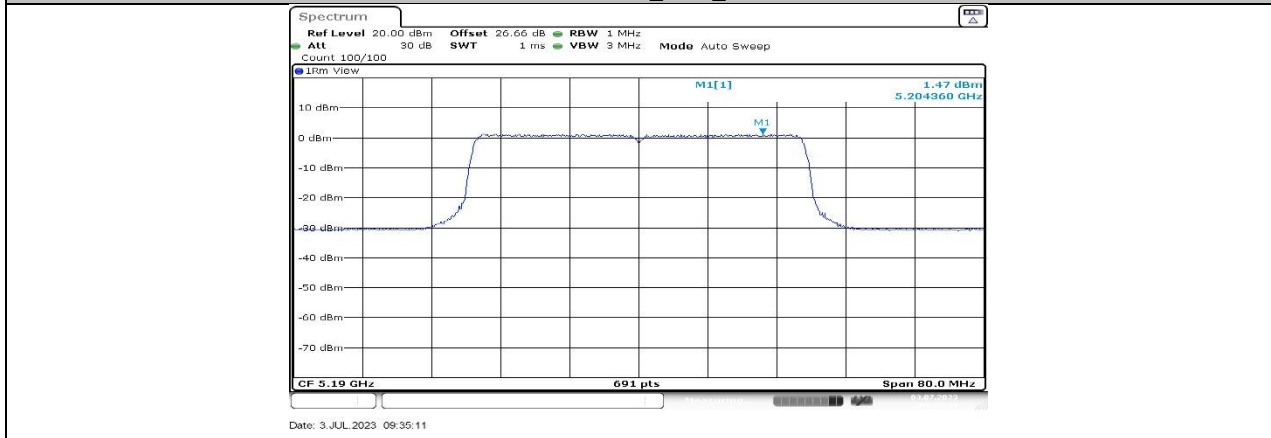
11AX20MIMO_Ant2_5785



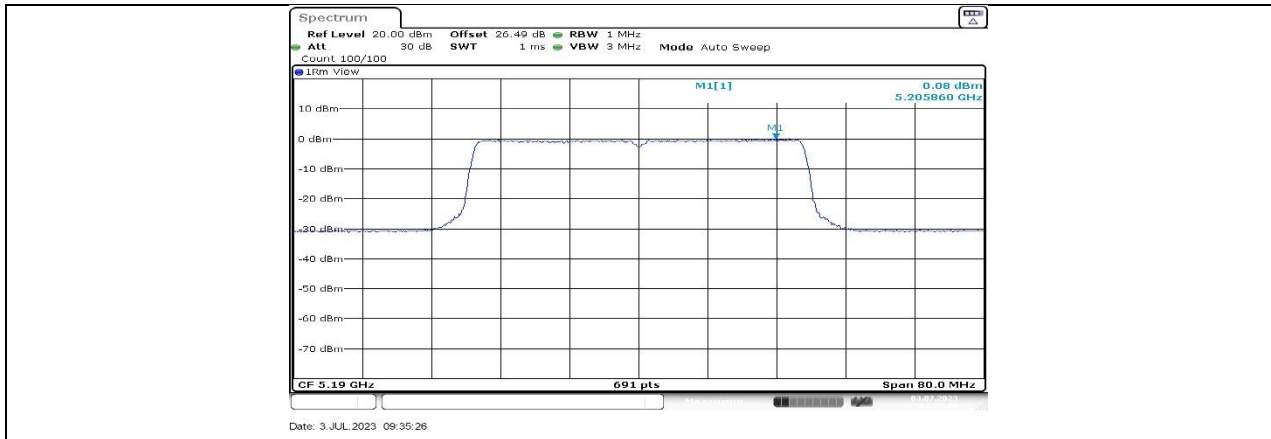
11AX20MIMO_Ant1_5825



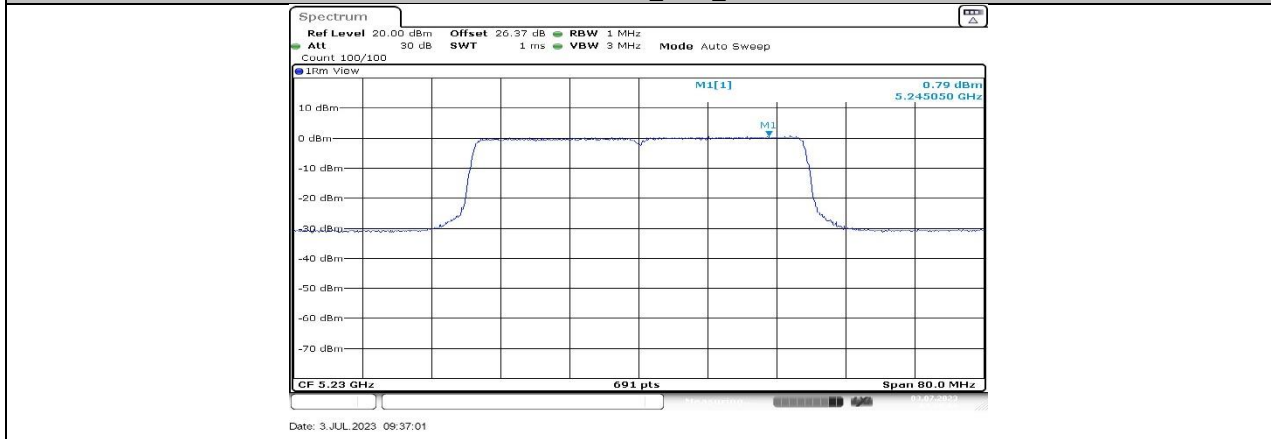
11AX20MIMO_Ant2_5825



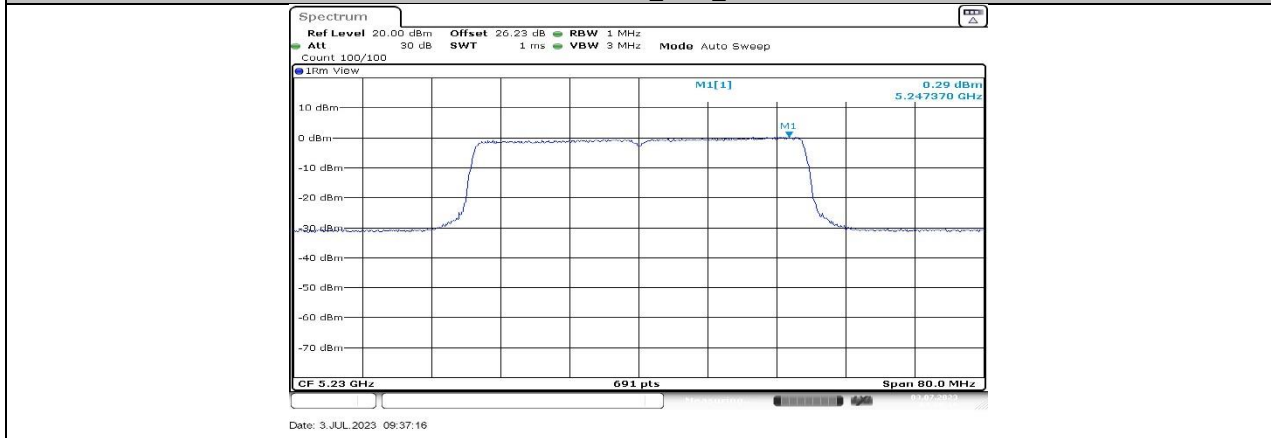
11AX40MIMO_Ant1_5190



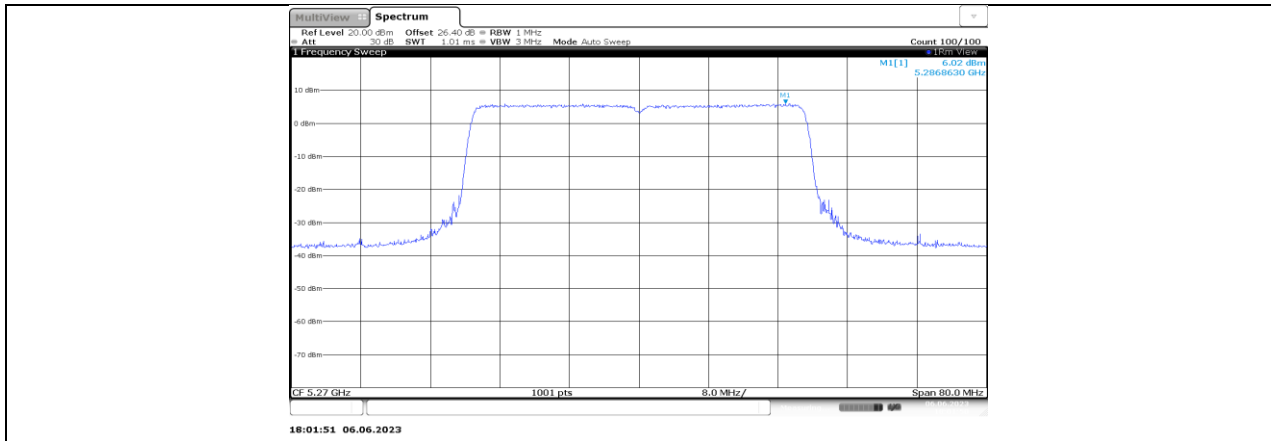
11AX40MIMO_Ant2_5190



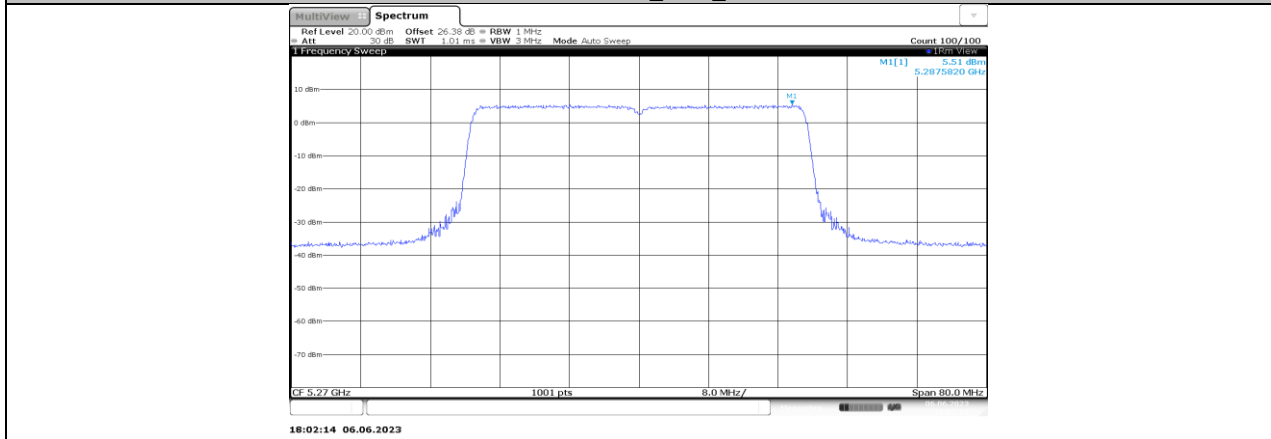
11AX40MIMO_Ant1_5230



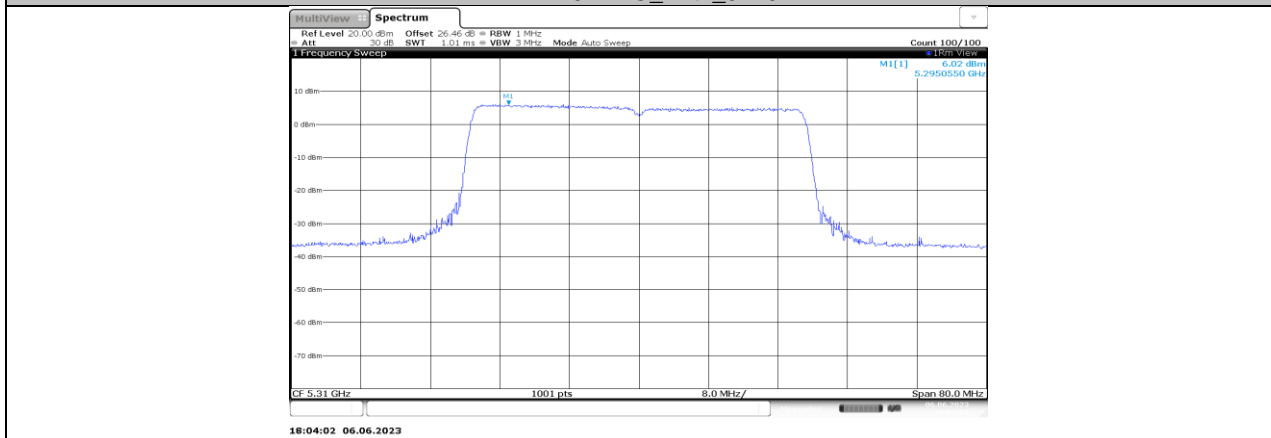
11AX40MIMO_Ant2_5230



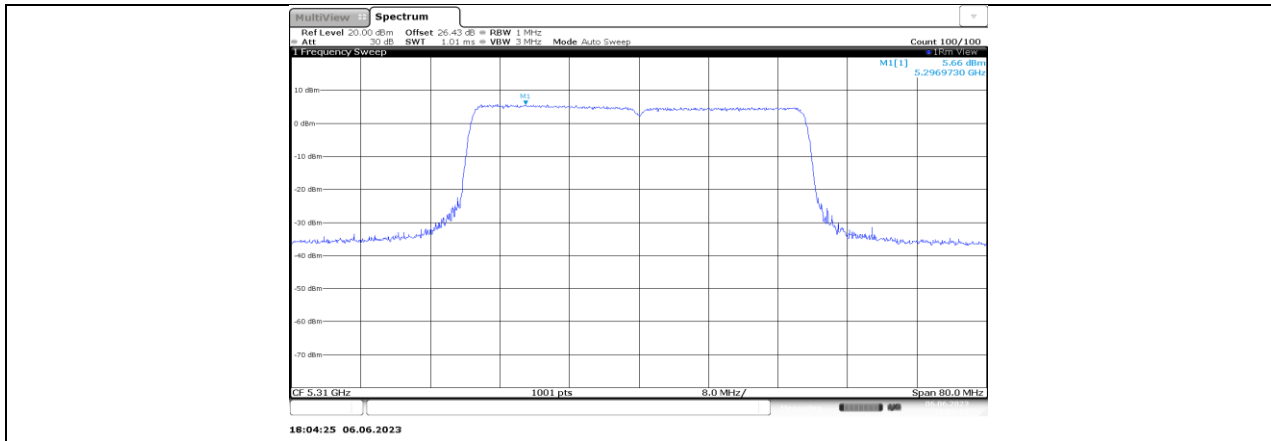
11AX40MIMO_Ant1_5270



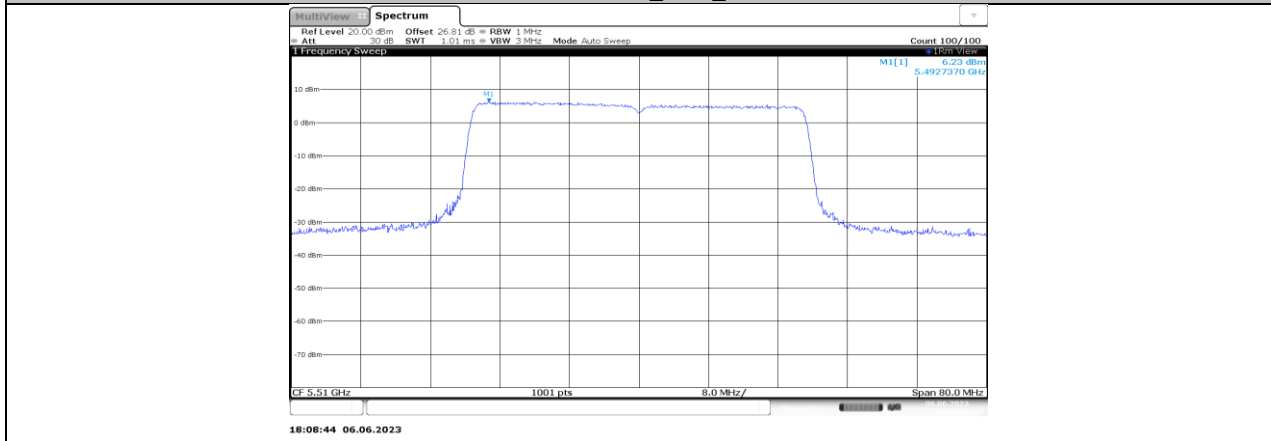
11AX40MIMO_Ant2_5270



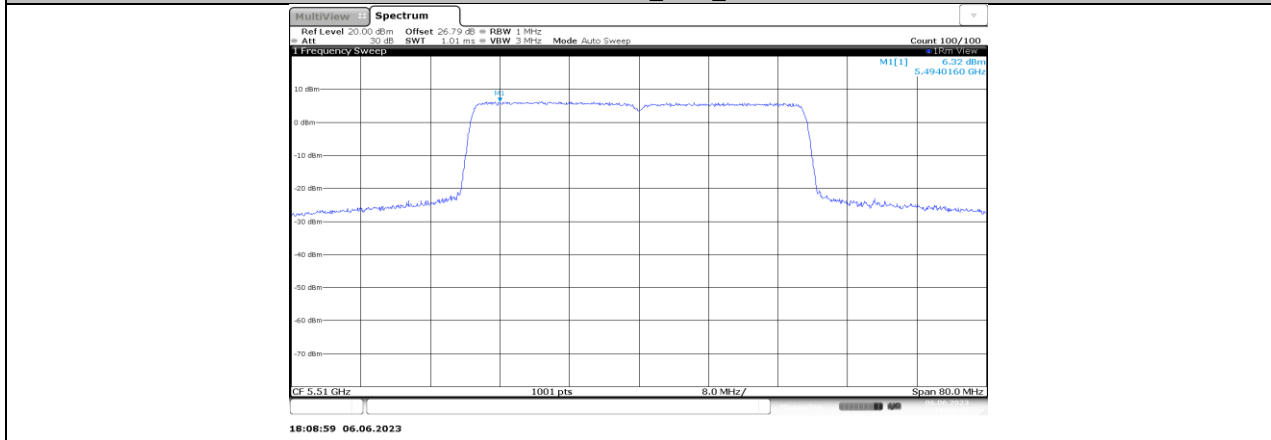
11AX40MIMO_Ant1_5310



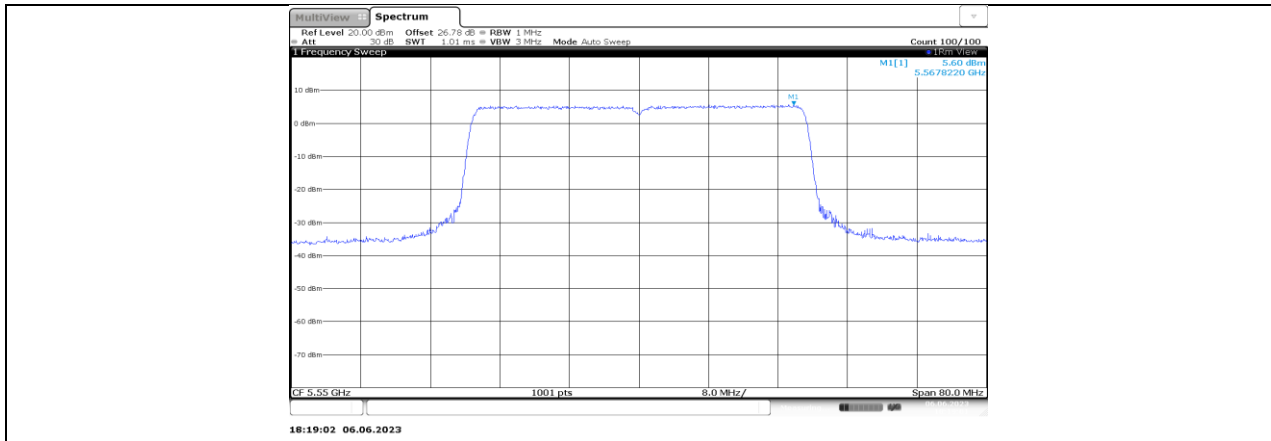
11AX40MIMO_Ant2_5310



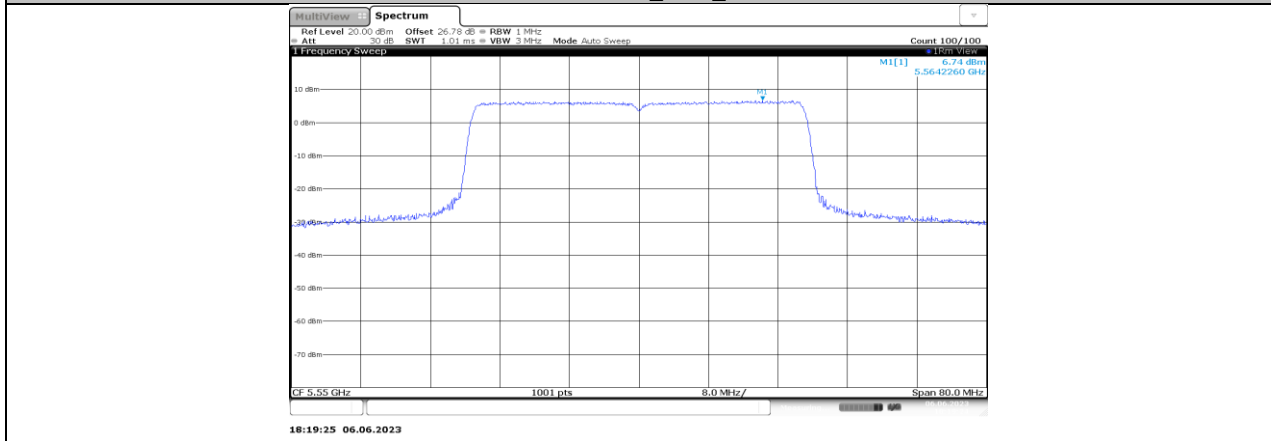
11AX40MIMO_Ant1_5510



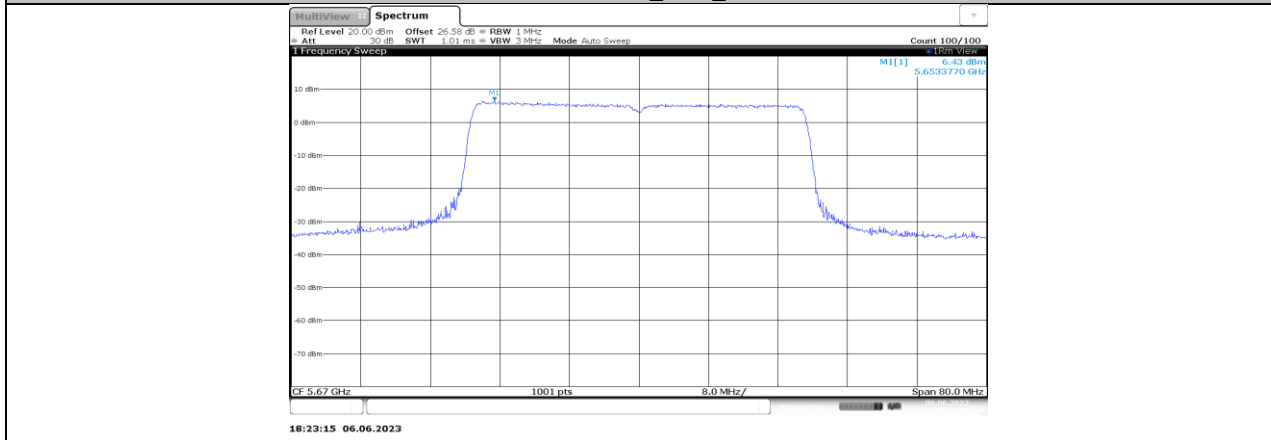
11AX40MIMO_Ant2_5510



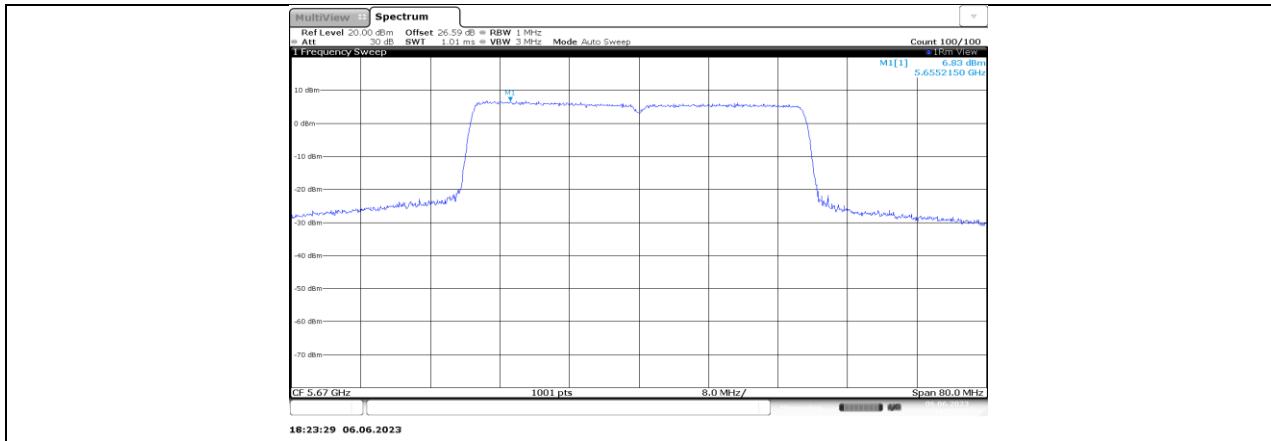
11AX40MIMO_Ant1_5550



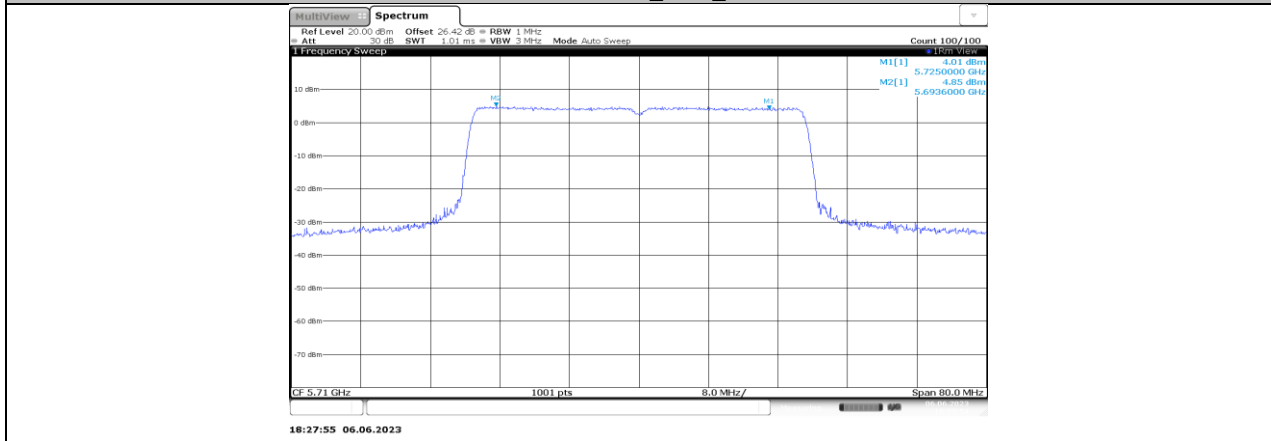
11AX40MIMO_Ant2_5550



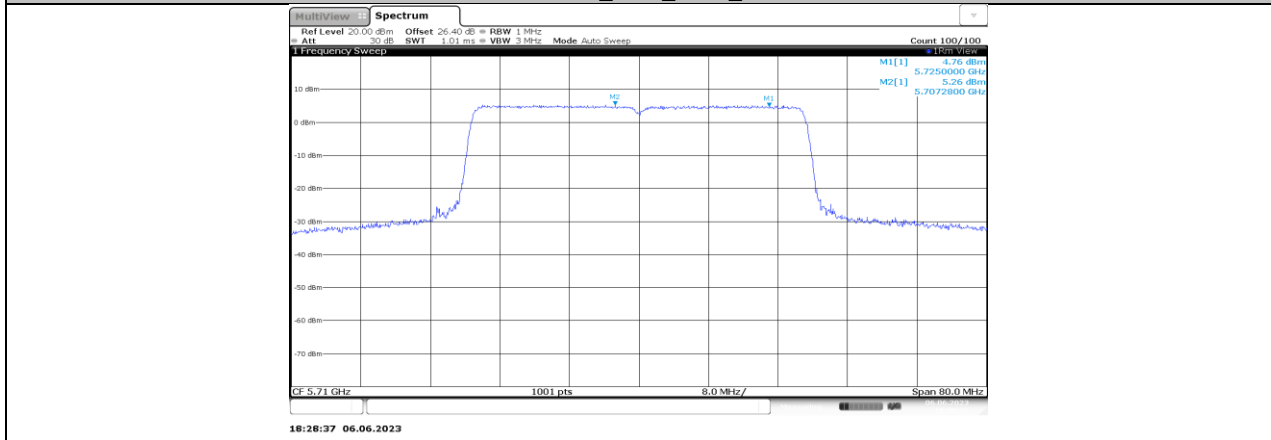
11AX40MIMO_Ant1_5670



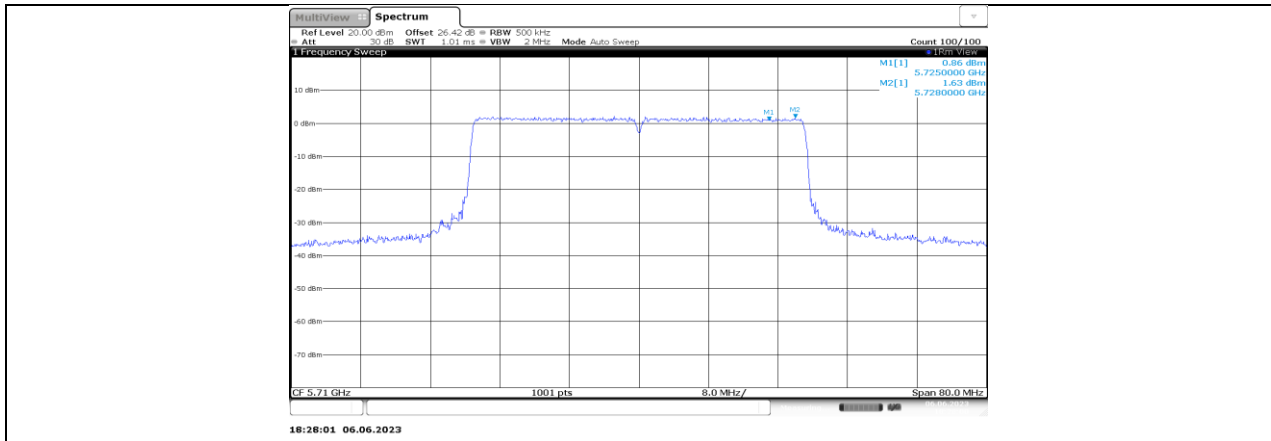
11AX40MIMO_Ant2_5670



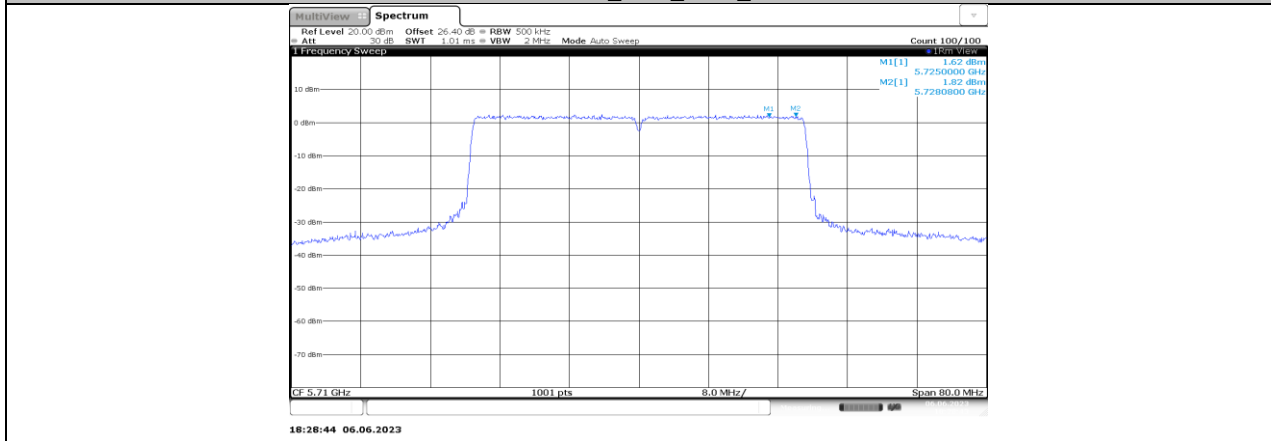
11AX40MIMO_Ant1_5710_UNII-2C



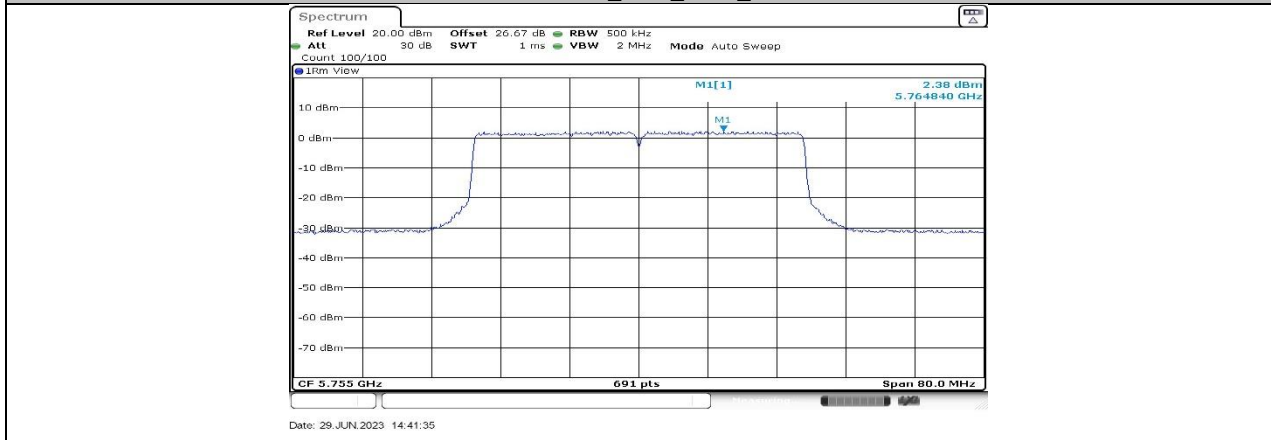
11AX40MIMO_Ant2_5710_UNII-2C



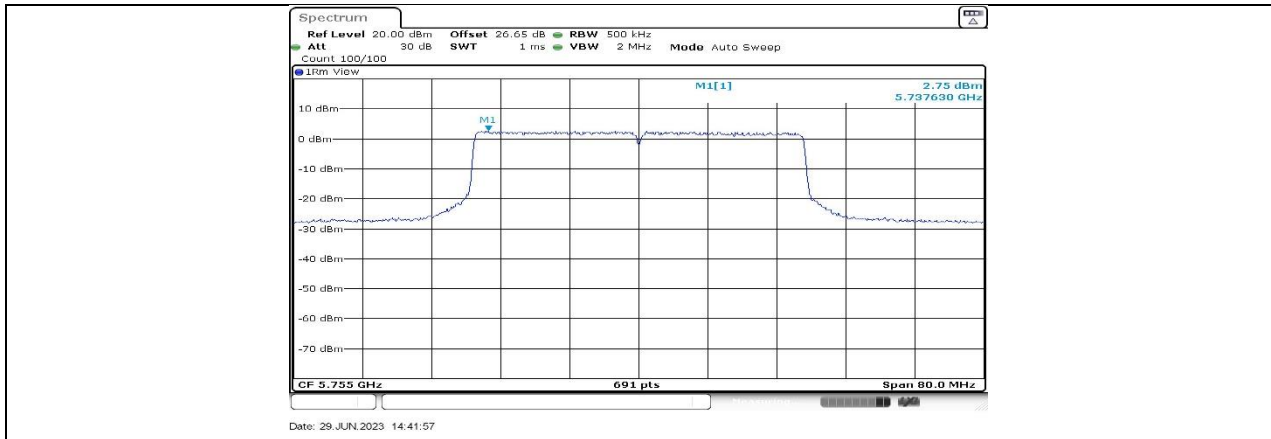
11AX40MIMO_Ant1_5710_UNII-3



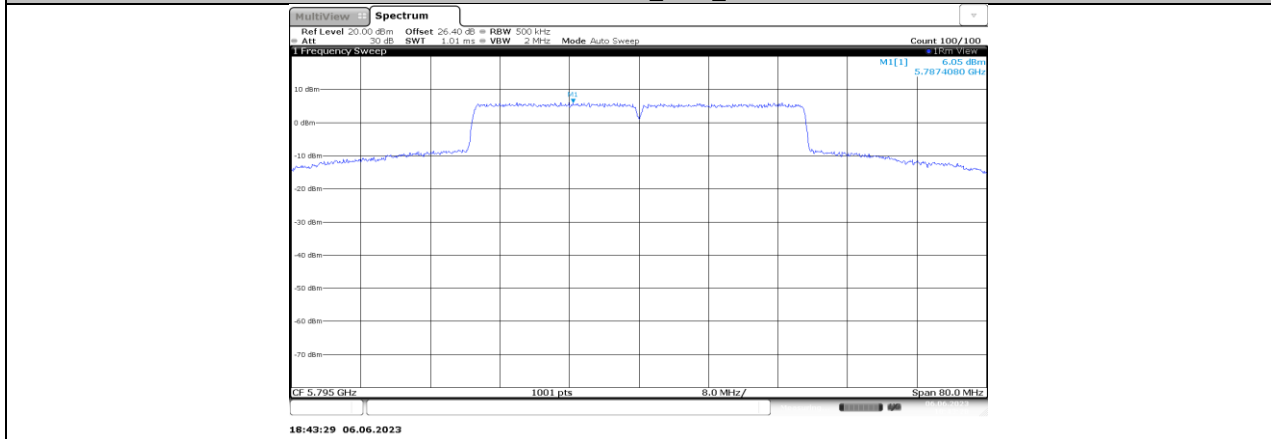
11AX40MIMO_Ant2_5710_UNII-3



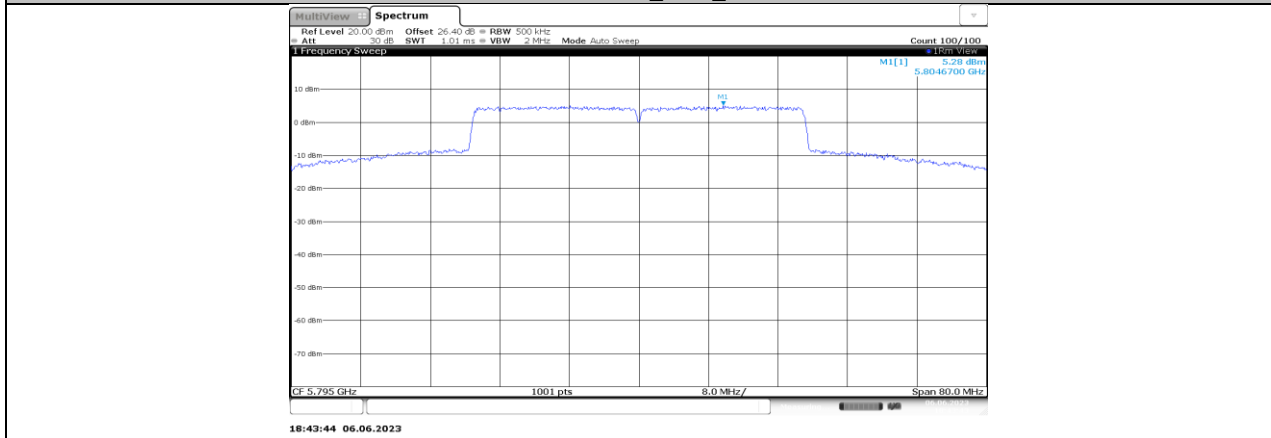
11AX40MIMO_Ant1_5755



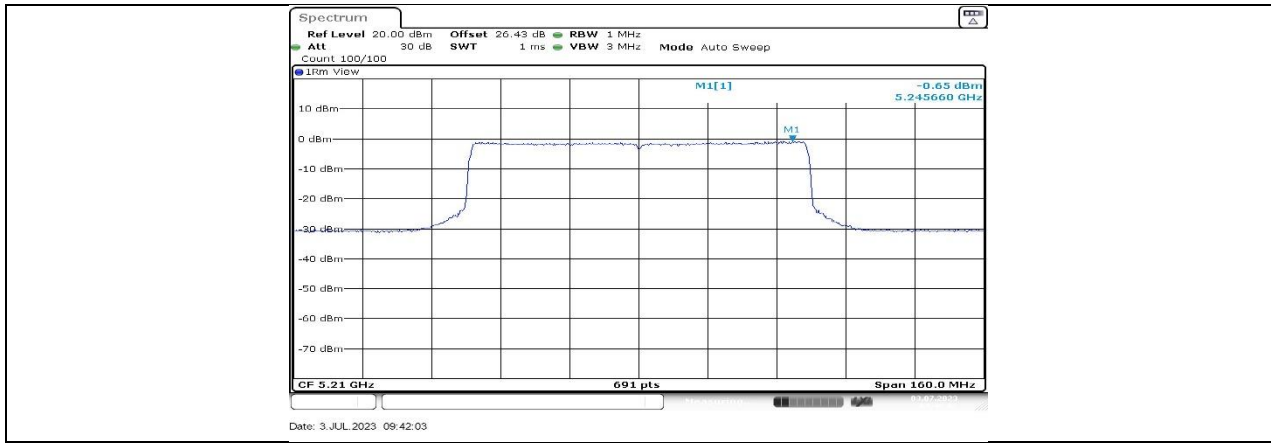
11AX40MIMO_Ant2_5755



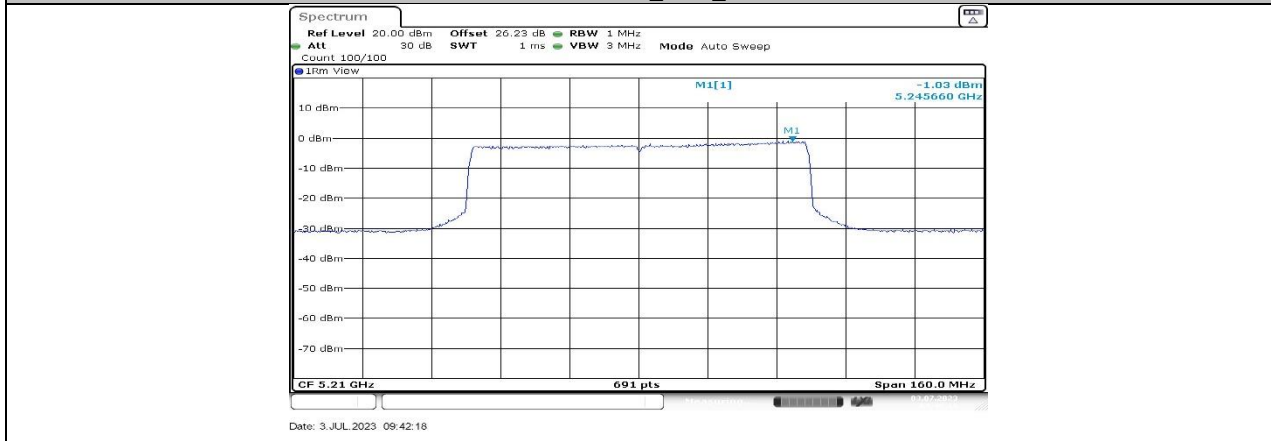
11AX40MIMO_Ant1_5795



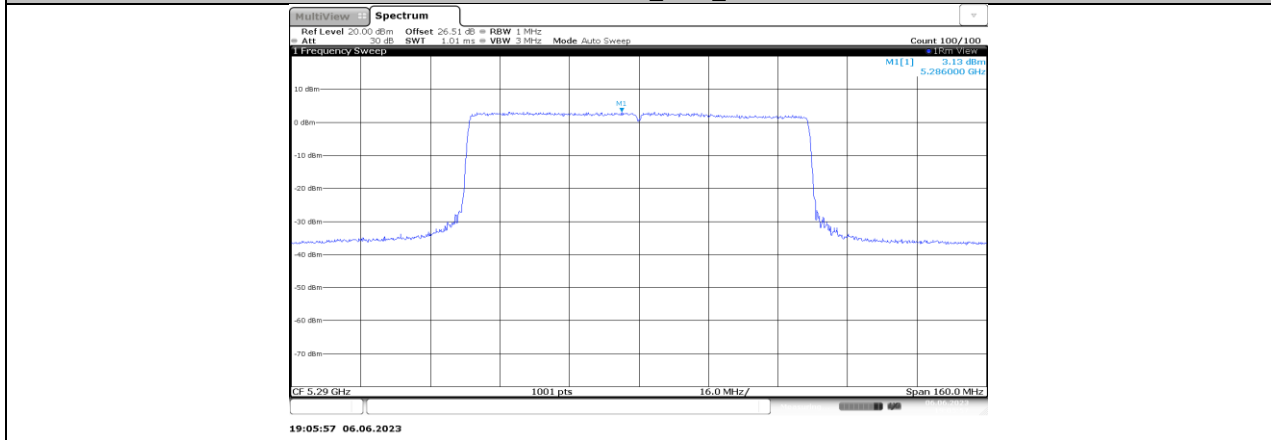
11AX40MIMO_Ant2_5795



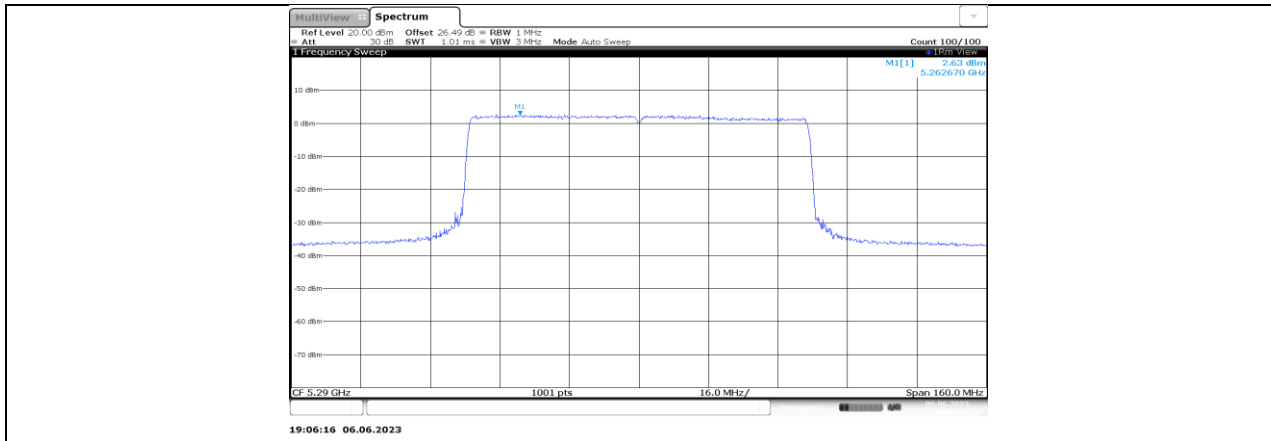
11AX80MIMO_Ant1_5210



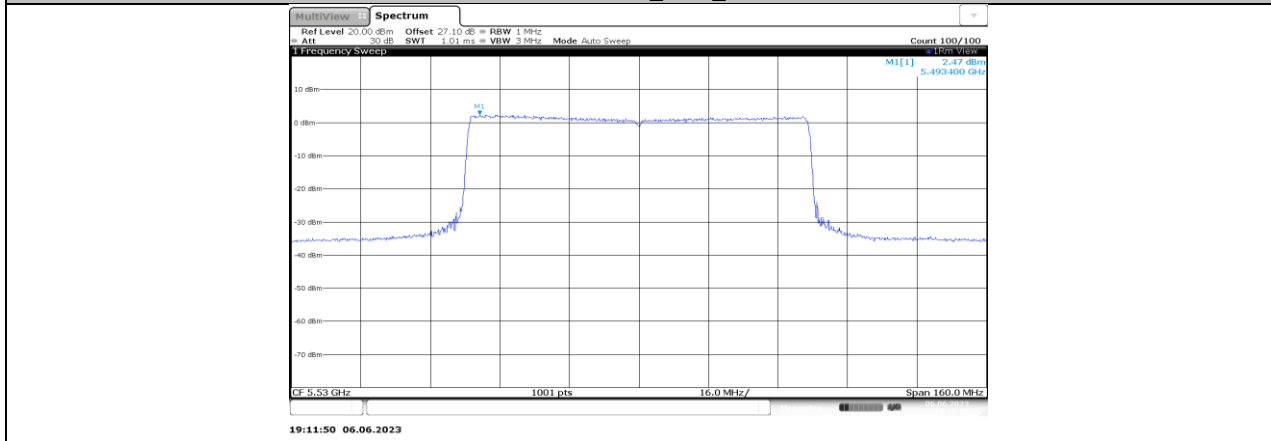
11AX80MIMO_Ant2_5210



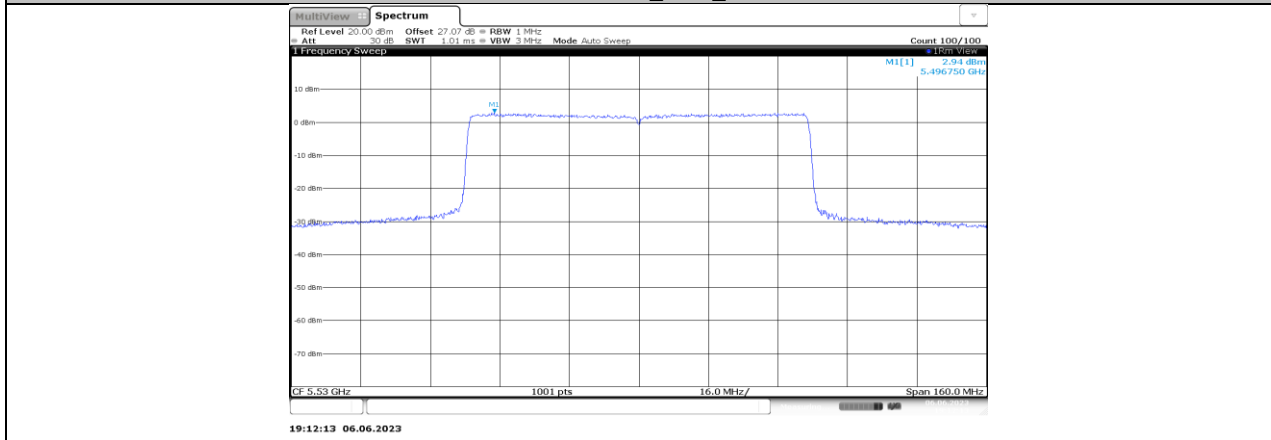
11AX80MIMO_Ant1_5290



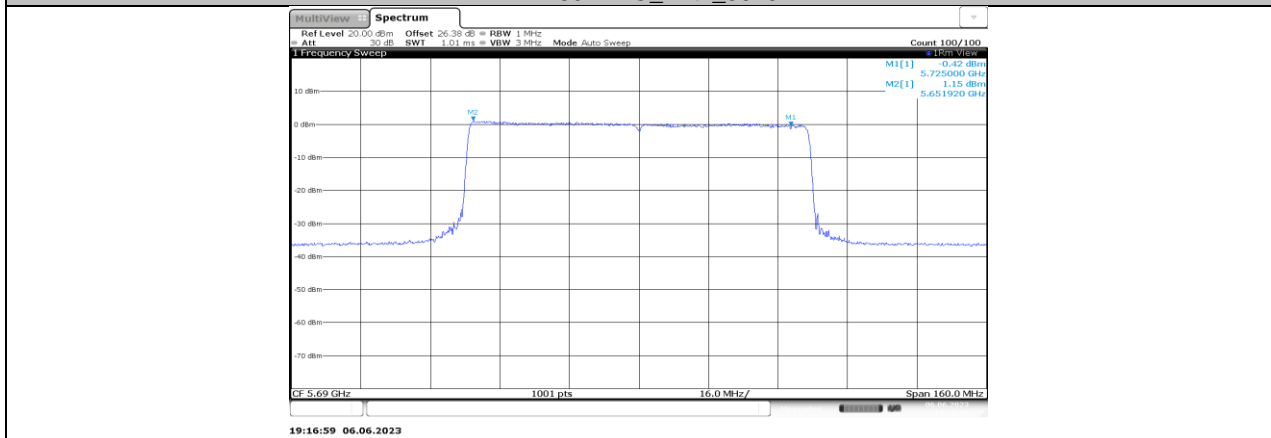
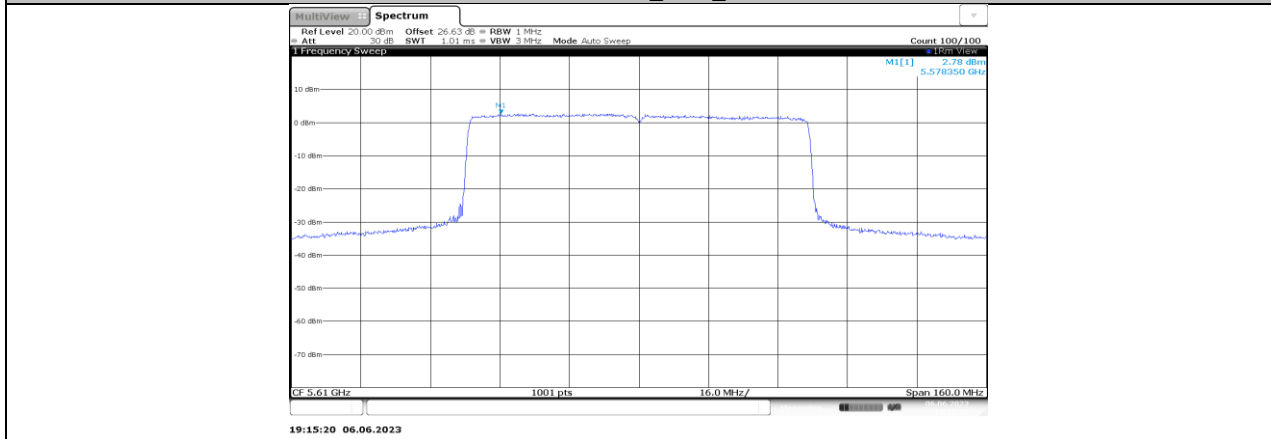
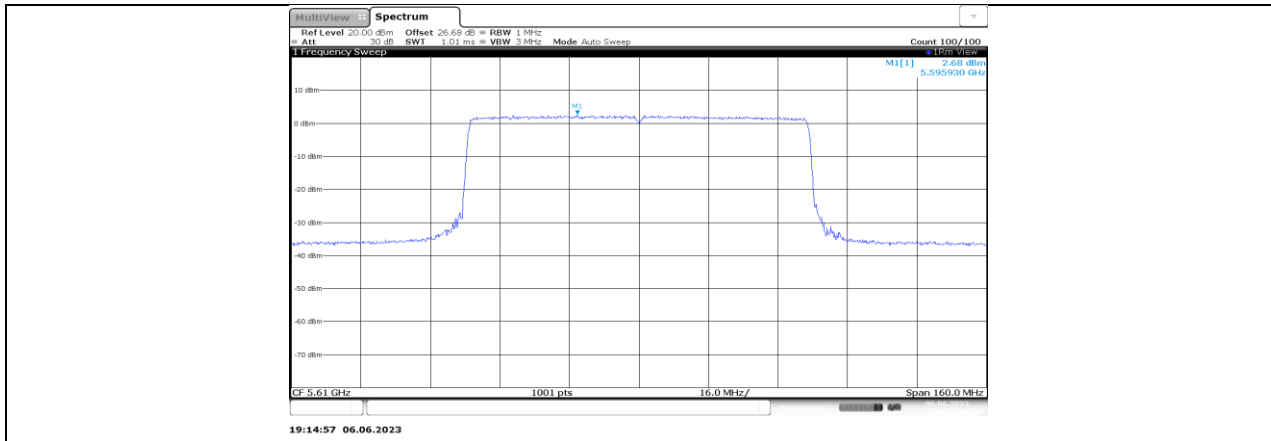
11AX80MIMO_Ant2_5290

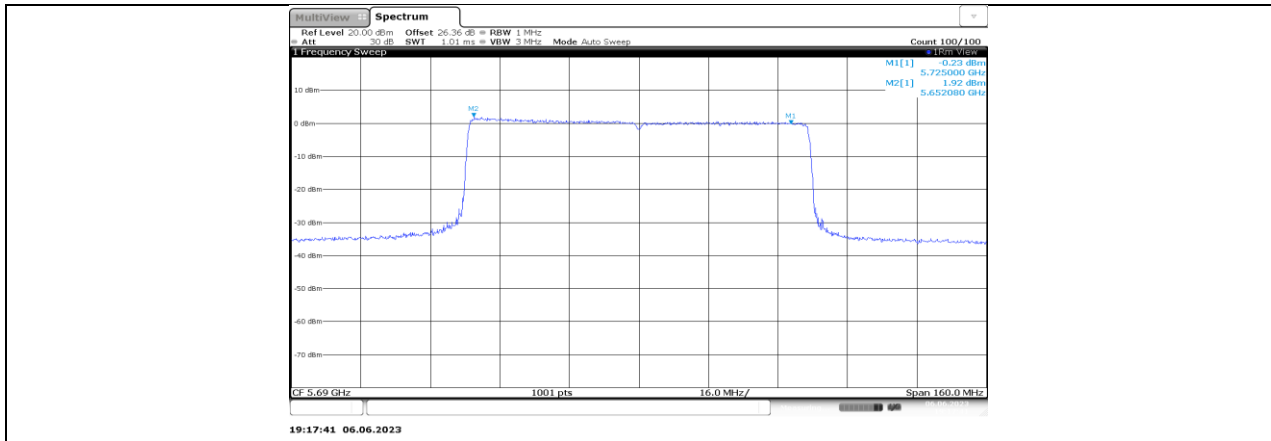


11AX80MIMO_Ant1_5530

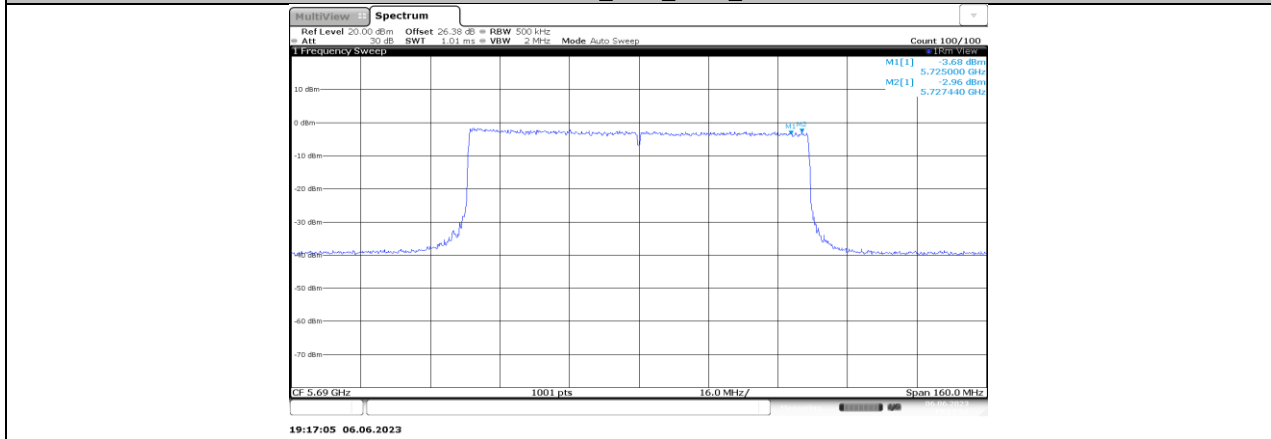


11AX80MIMO_Ant2_5530

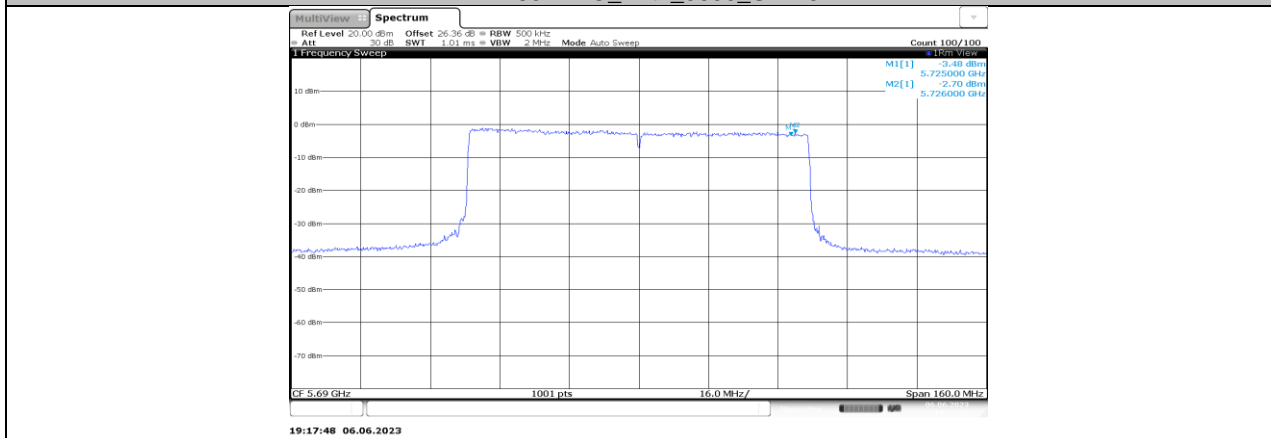




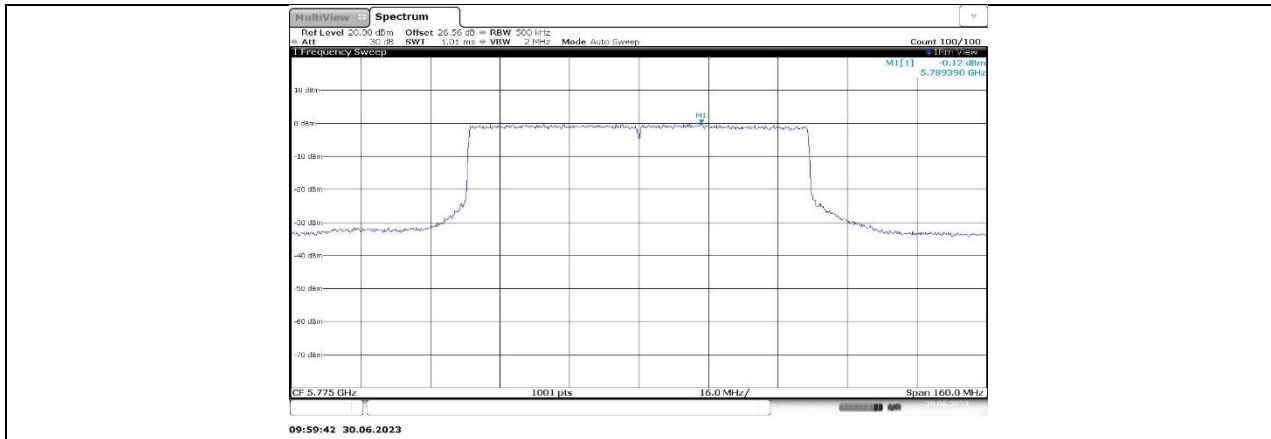
11AX80MIMO_Ant2_5690_UNII-2C



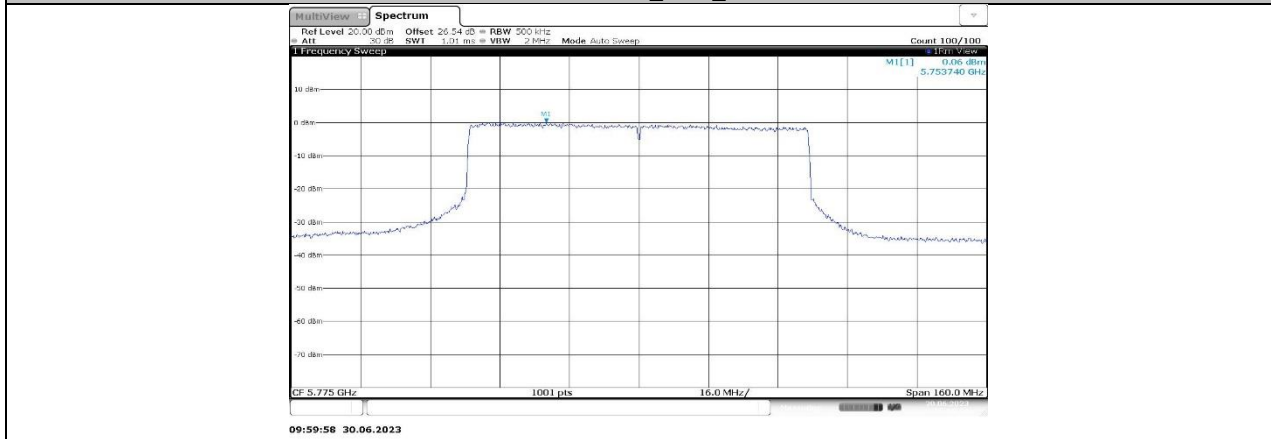
11AX80MIMO_Ant1_5690_UNII-3



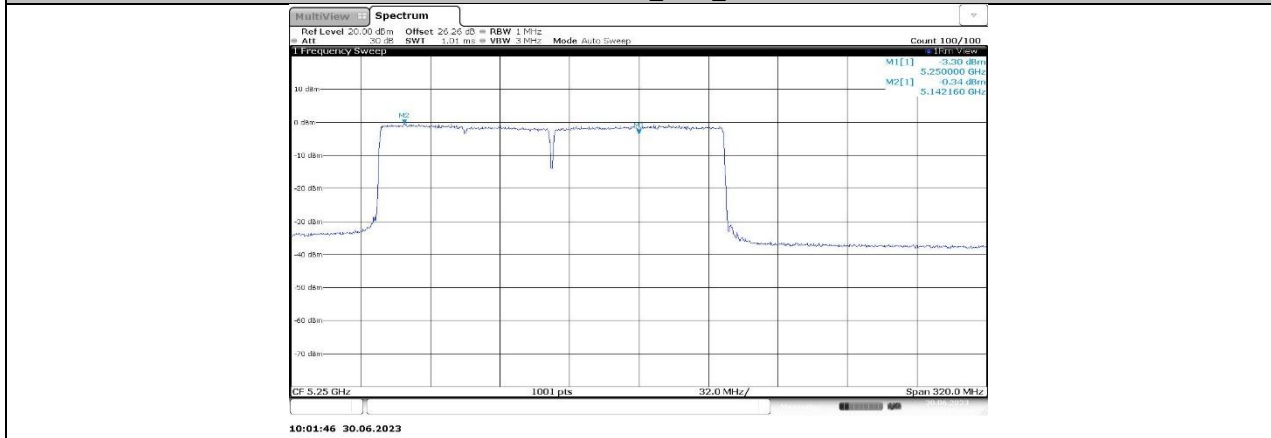
11AX80MIMO_Ant2_5690_UNII-3



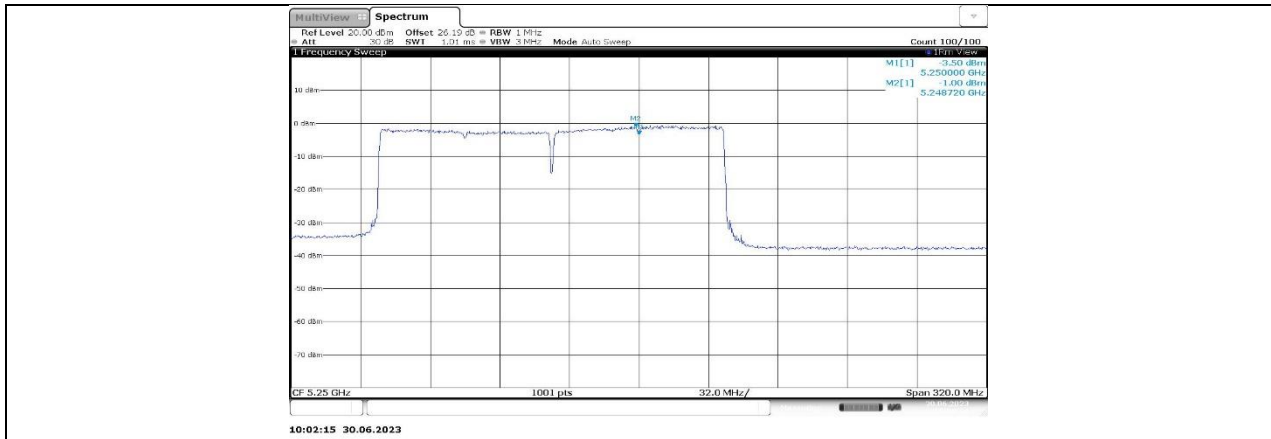
11AX80MIMO_Ant1_5775



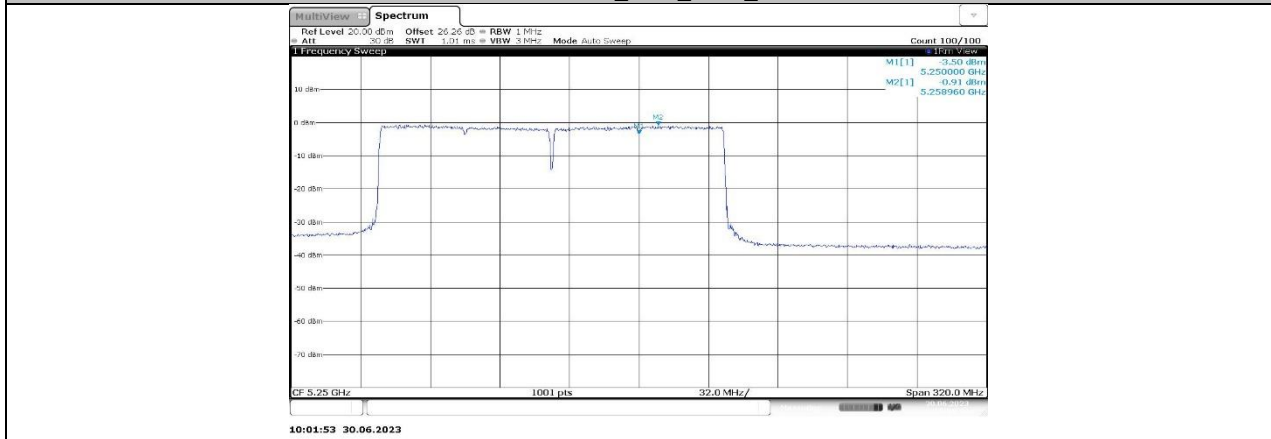
11AX80MIMO_Ant2_5775



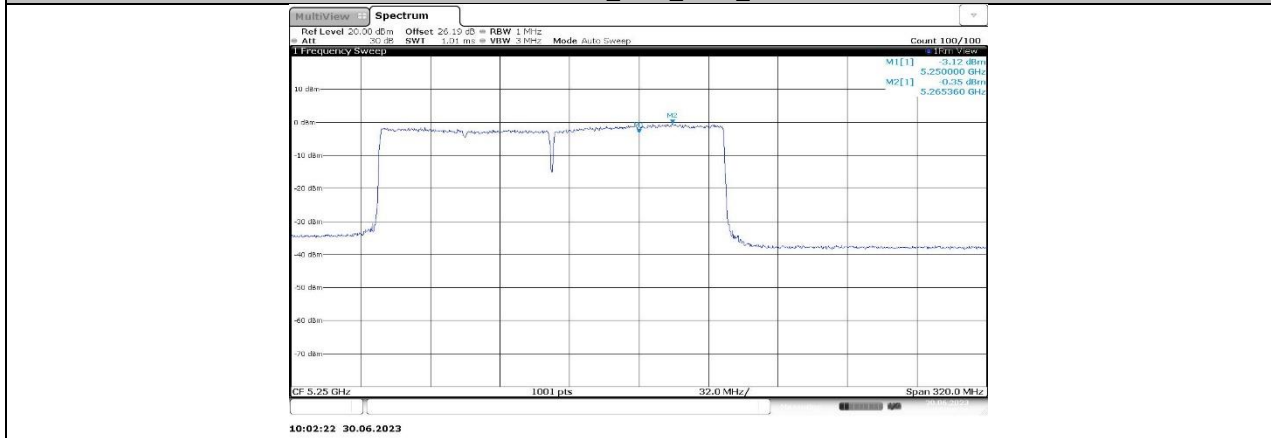
11AX160MIMO_Ant1_5250_UNII-1



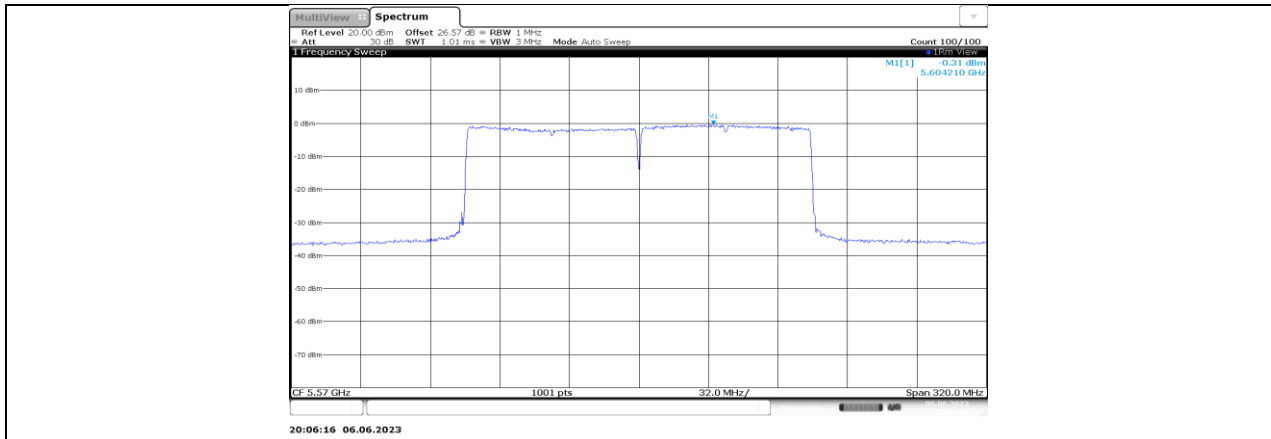
11AX160MIMO_Ant2_5250_UNII-1



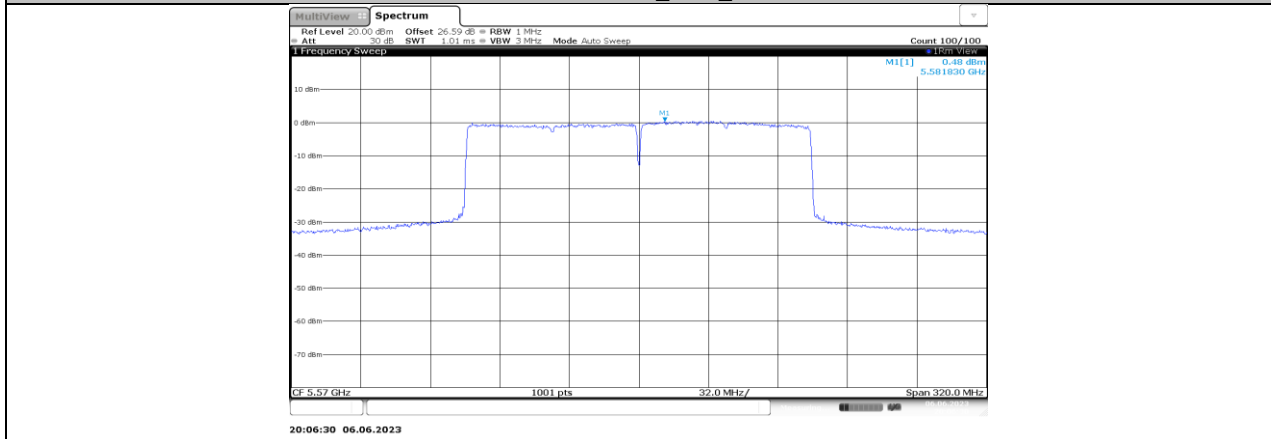
11AX160MIMO_Ant1_5250_UNII-2A



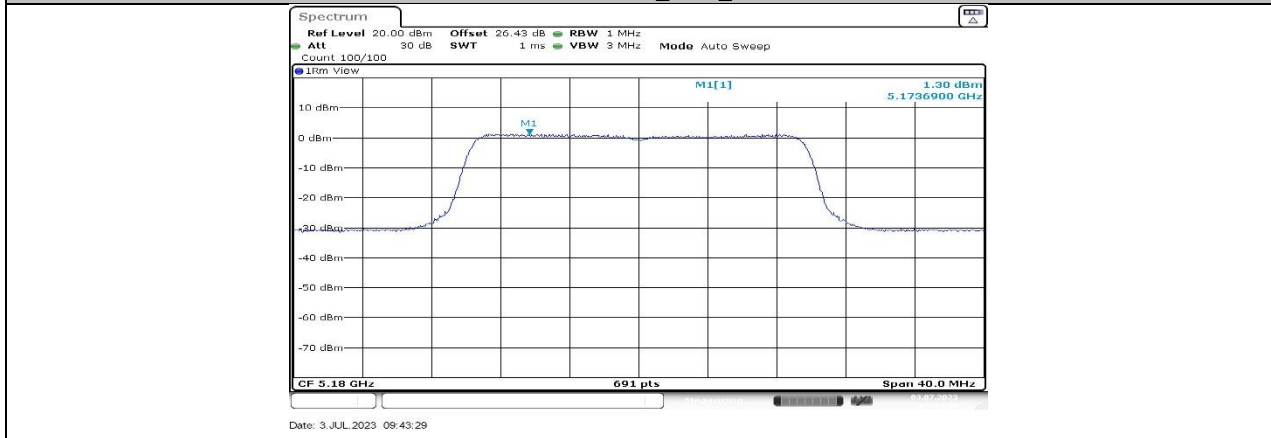
11AX160MIMO_Ant2_5250_UNII-2A



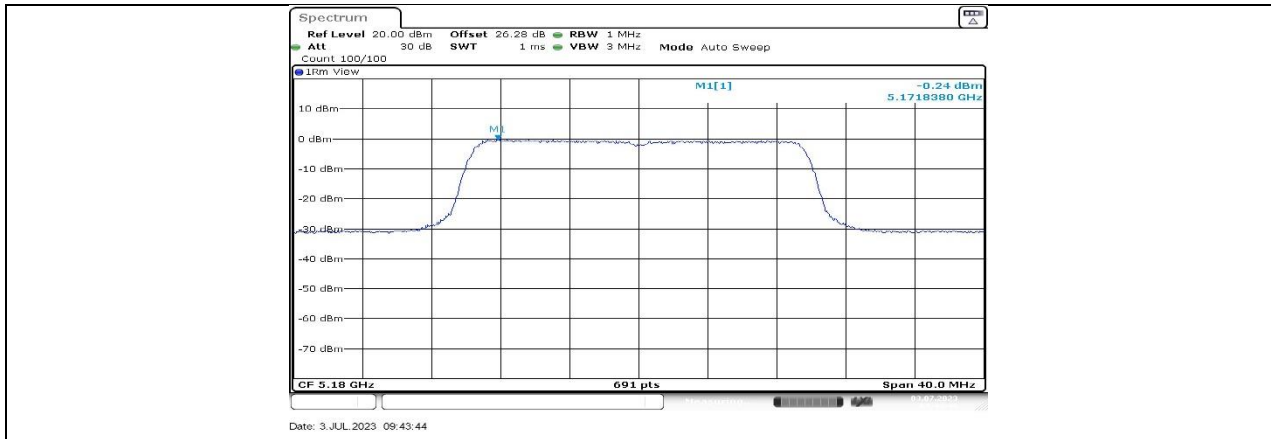
11AX160MIMO_Ant1_5570



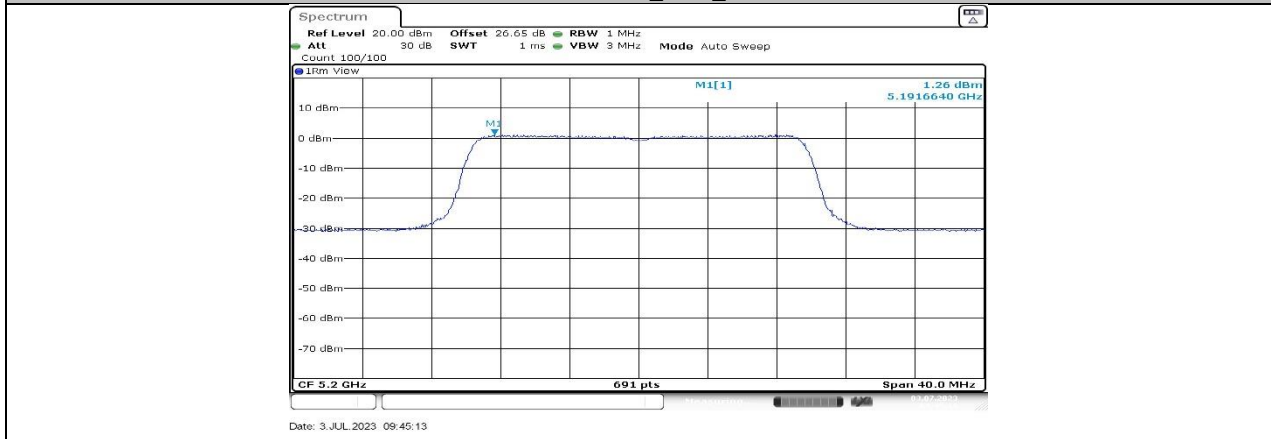
11AX160MIMO_Ant2_5570



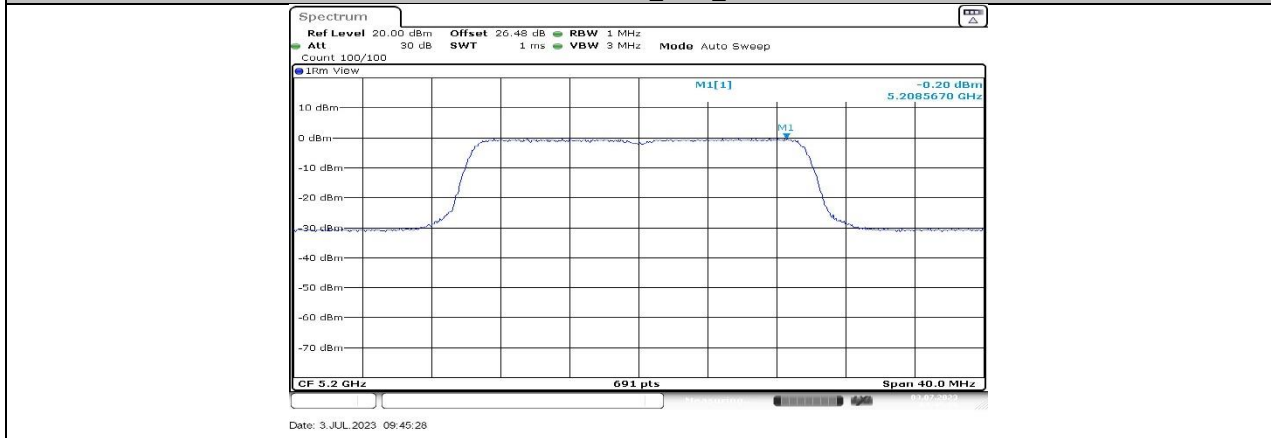
11BE20MIMO_Ant1_5180



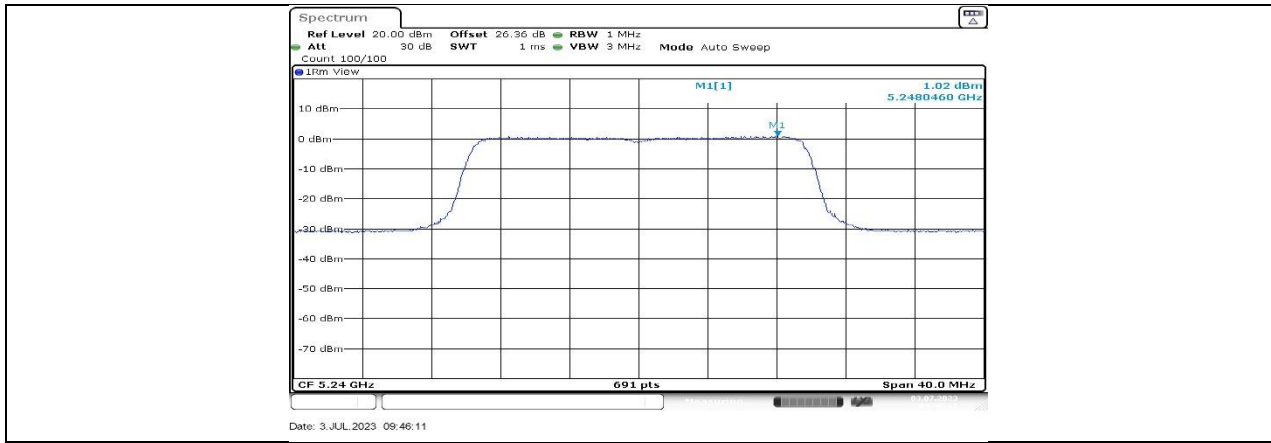
11BE20MIMO_Ant2_5180



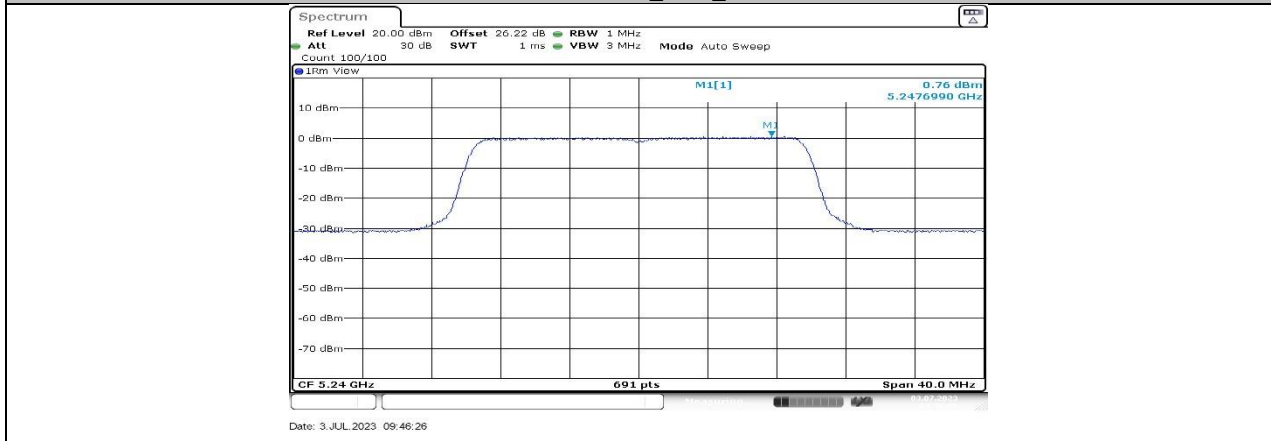
11BE20MIMO_Ant1_5200



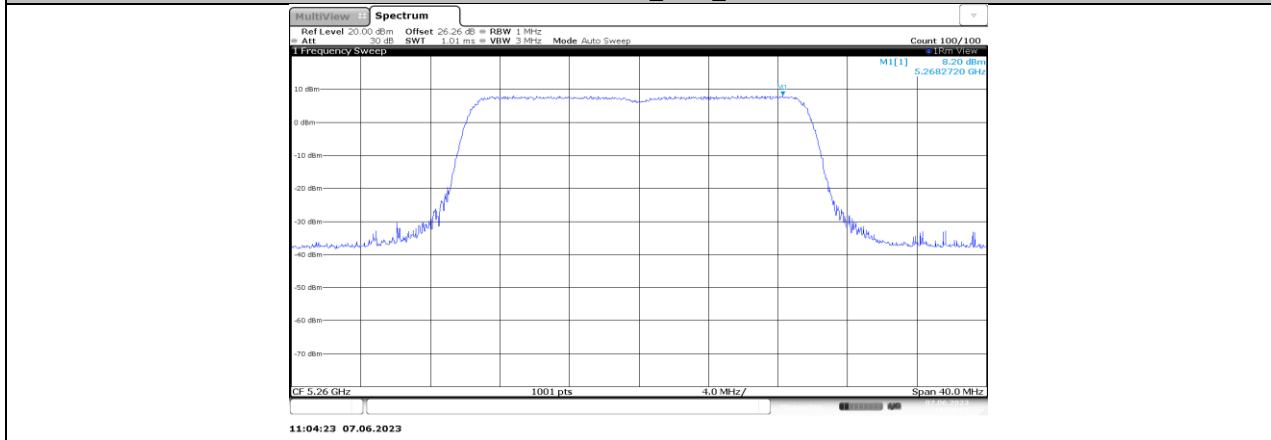
11BE20MIMO_Ant2_5200



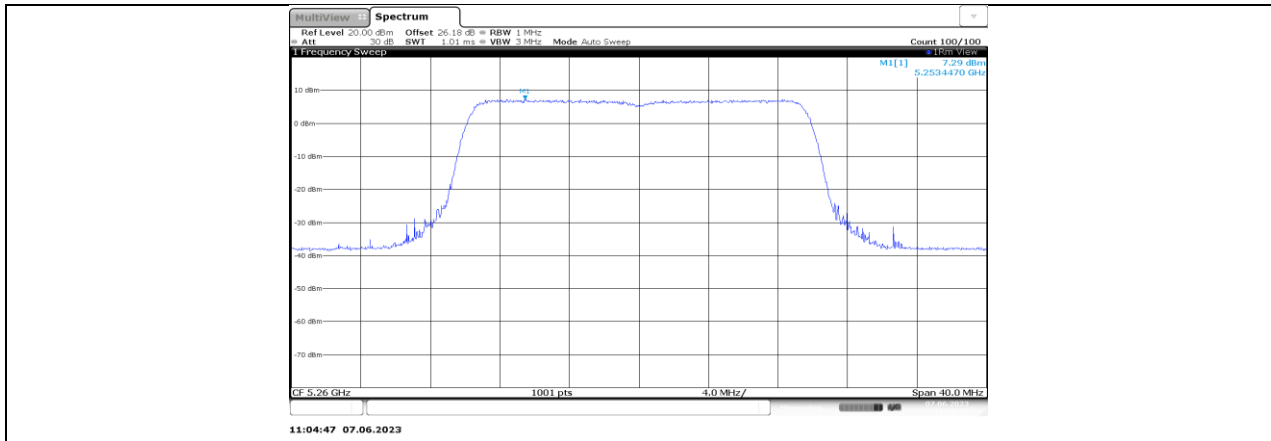
11BE20MIMO_Ant1_5240



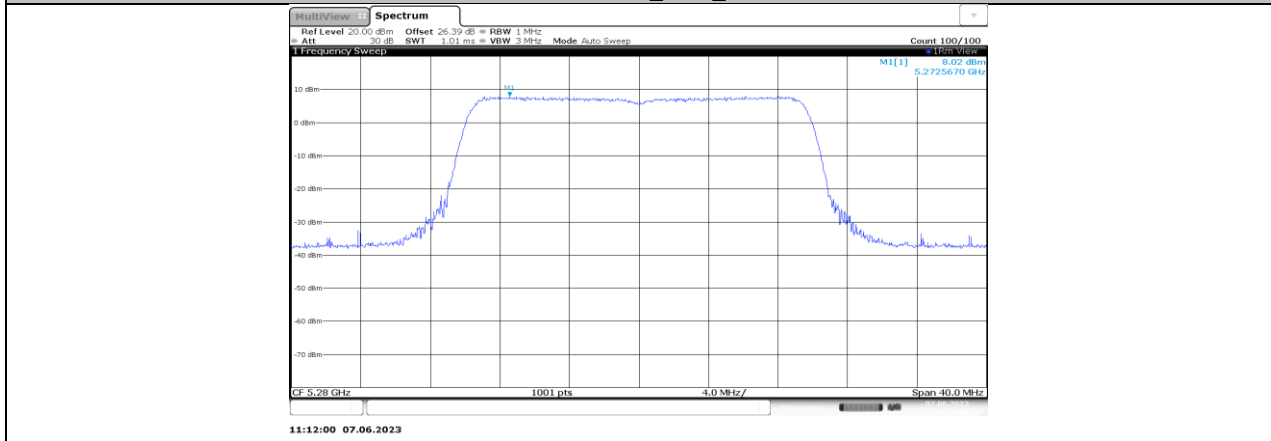
11BE20MIMO_Ant2_5240



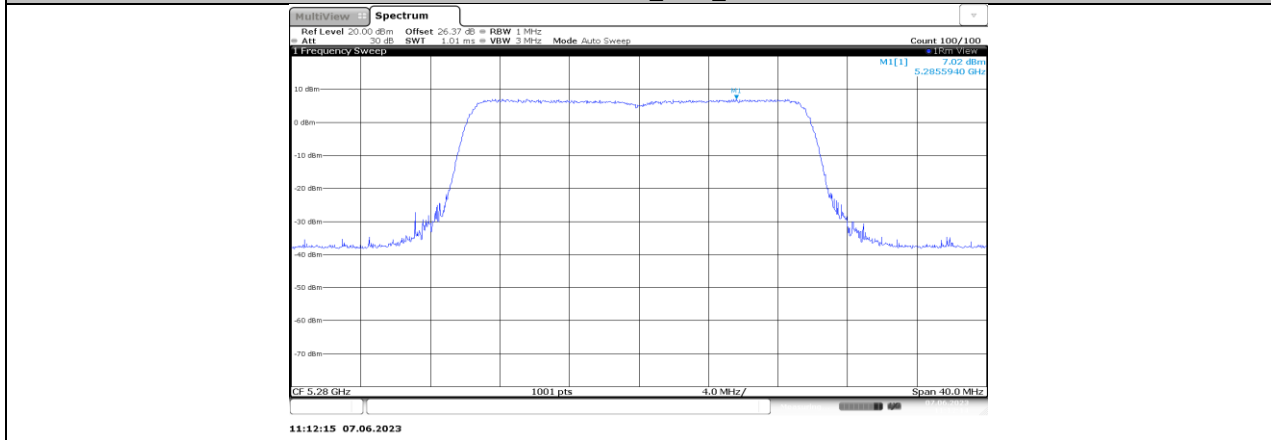
11BE20MIMO_Ant1_5260



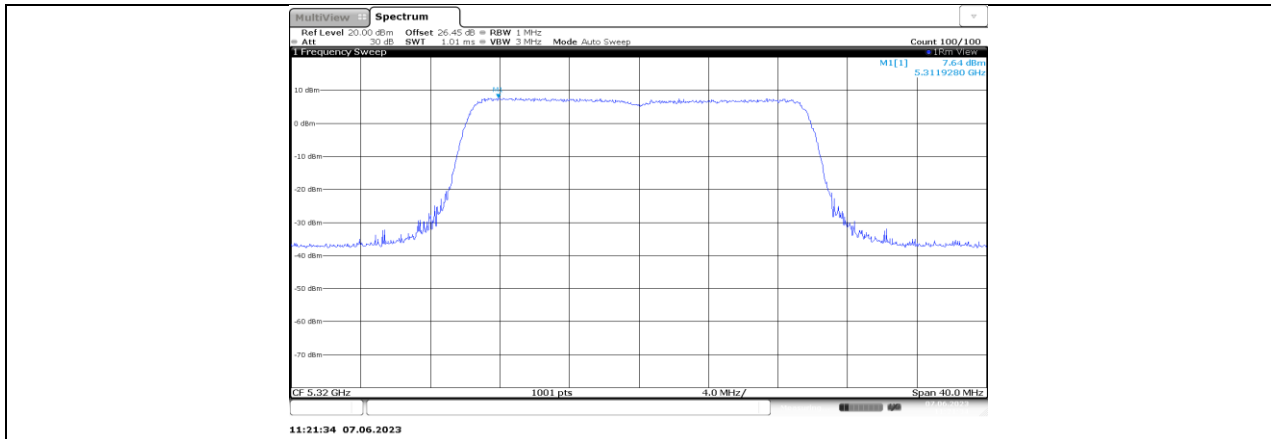
11BE20MIMO_Ant2_5260



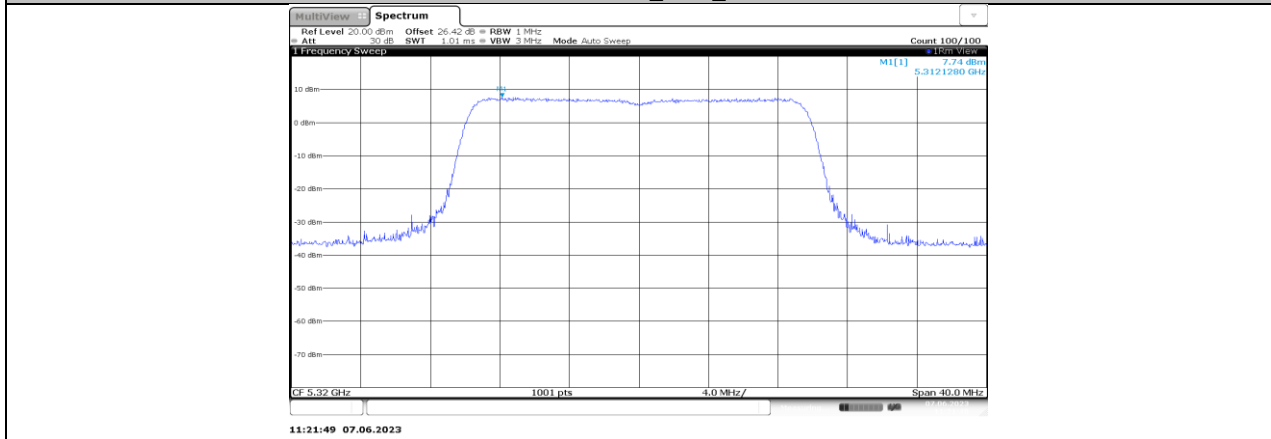
11BE20MIMO_Ant1_5280



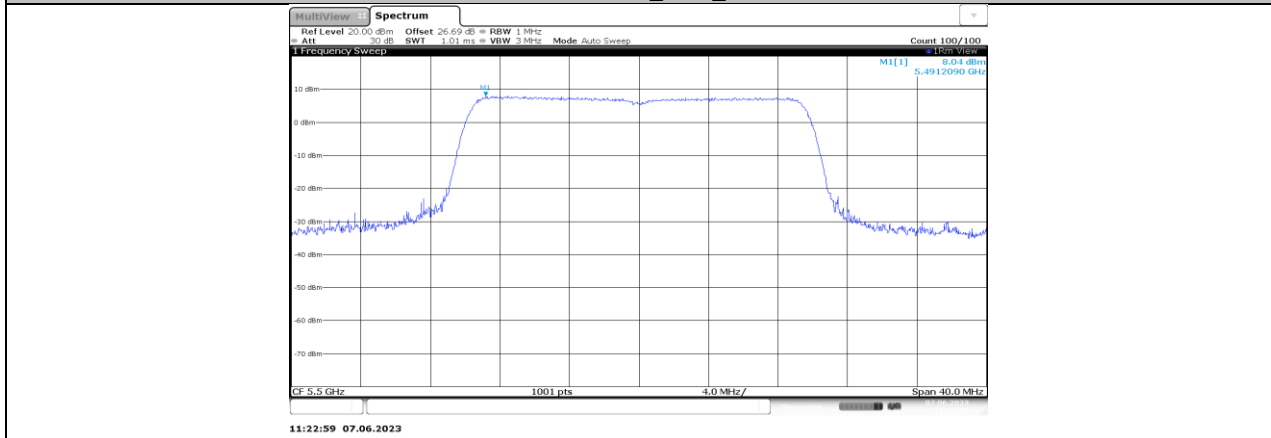
11BE20MIMO_Ant2_5280



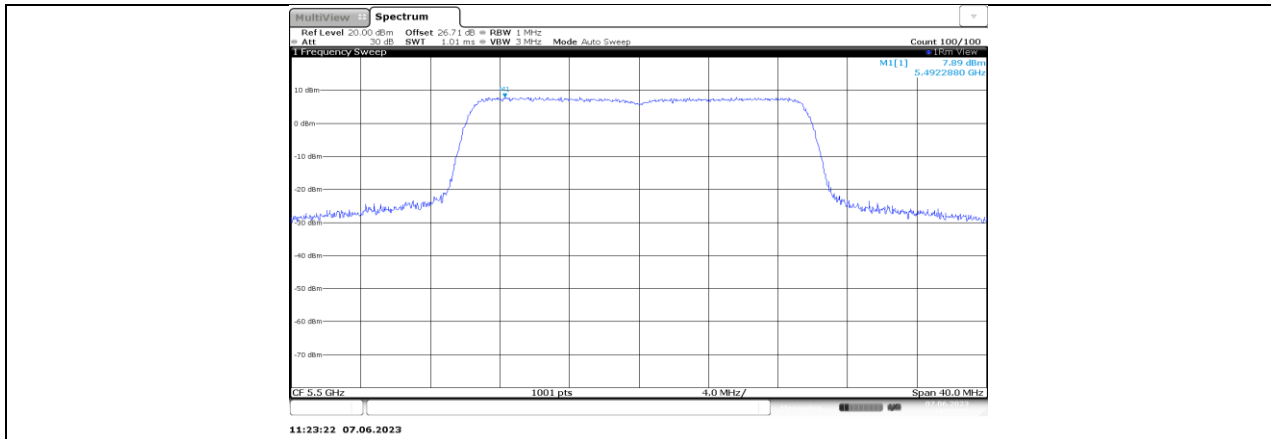
11BE20MIMO_Ant1_5320



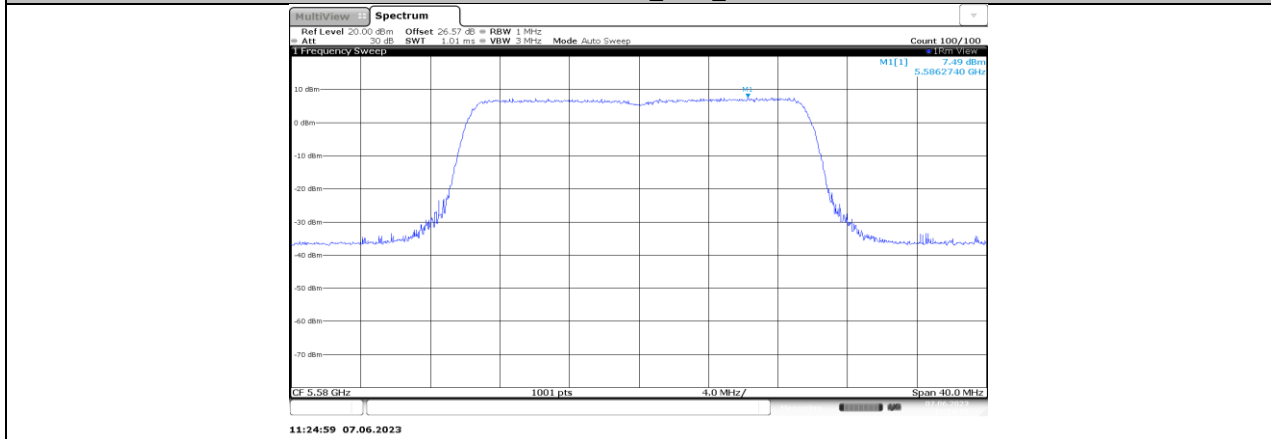
11BE20MIMO_Ant2_5320



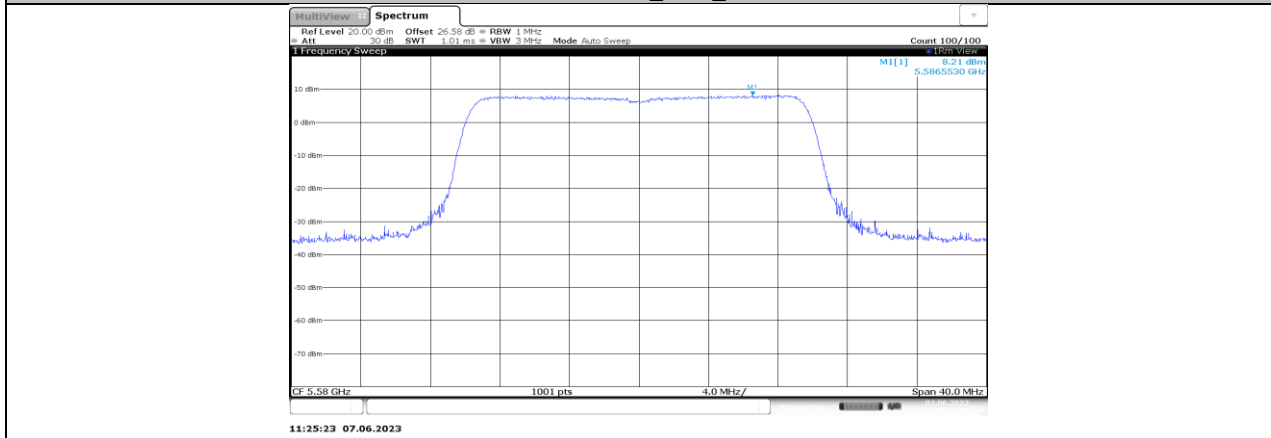
11BE20MIMO_Ant1_5500



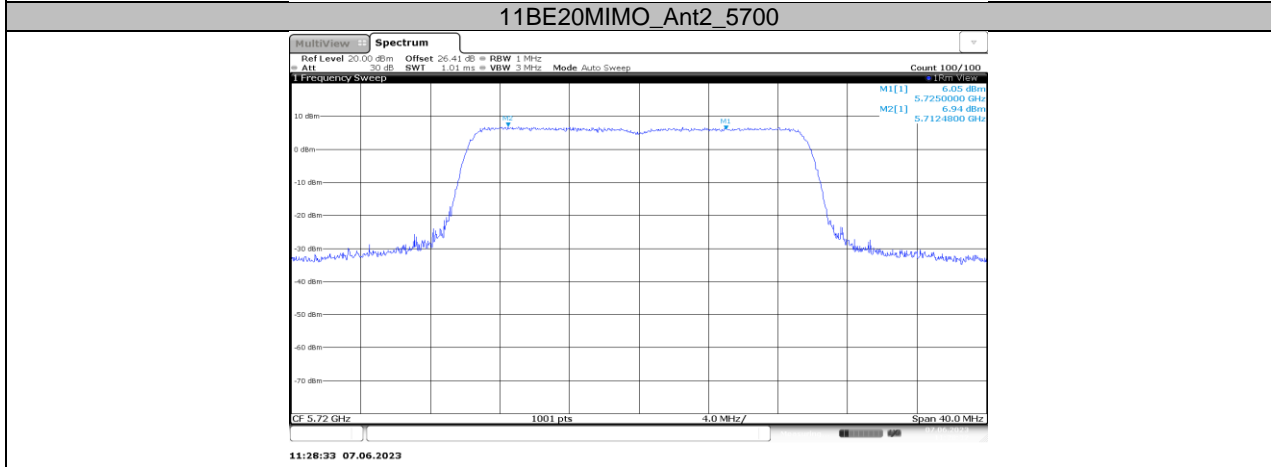
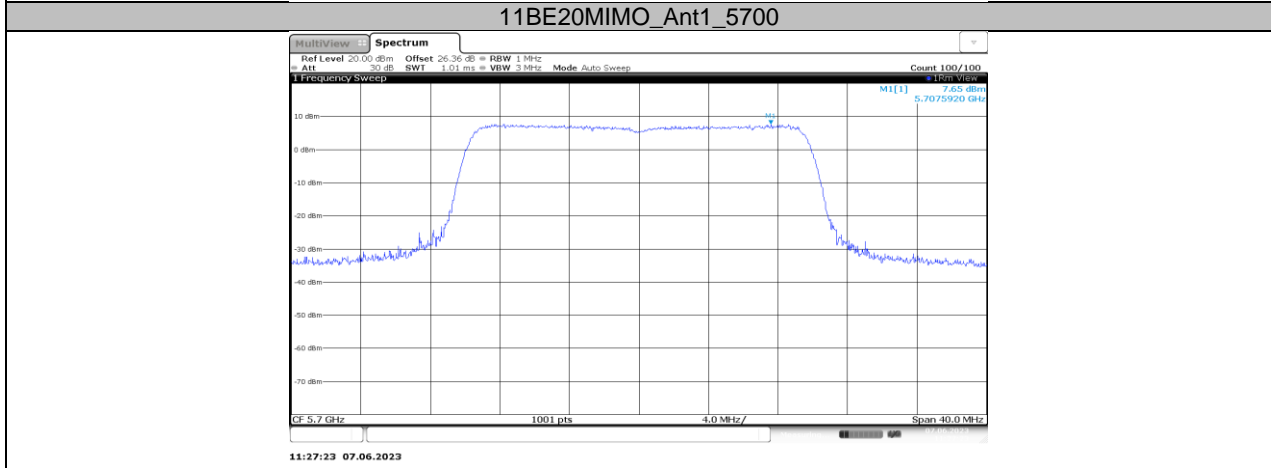
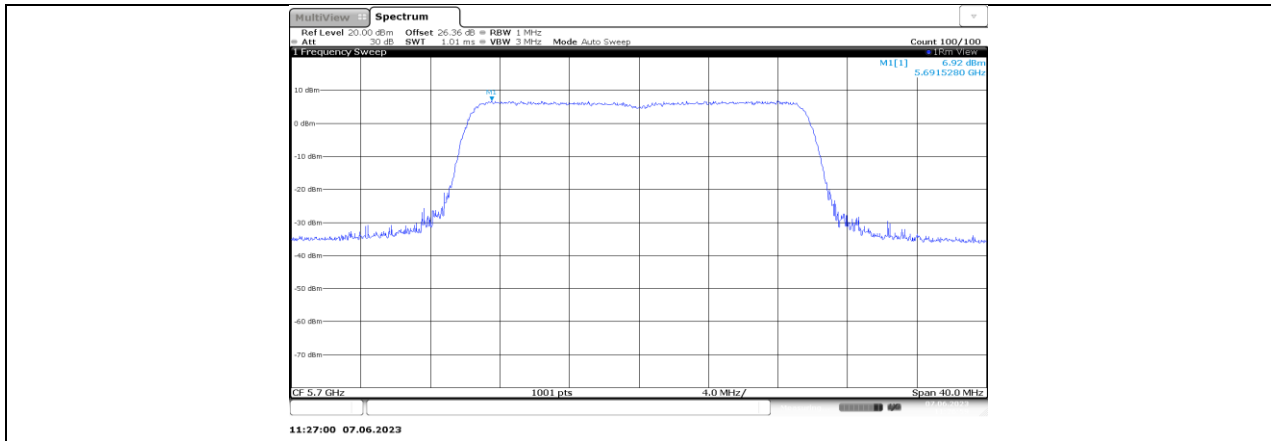
11BE20MIMO_Ant2_5500

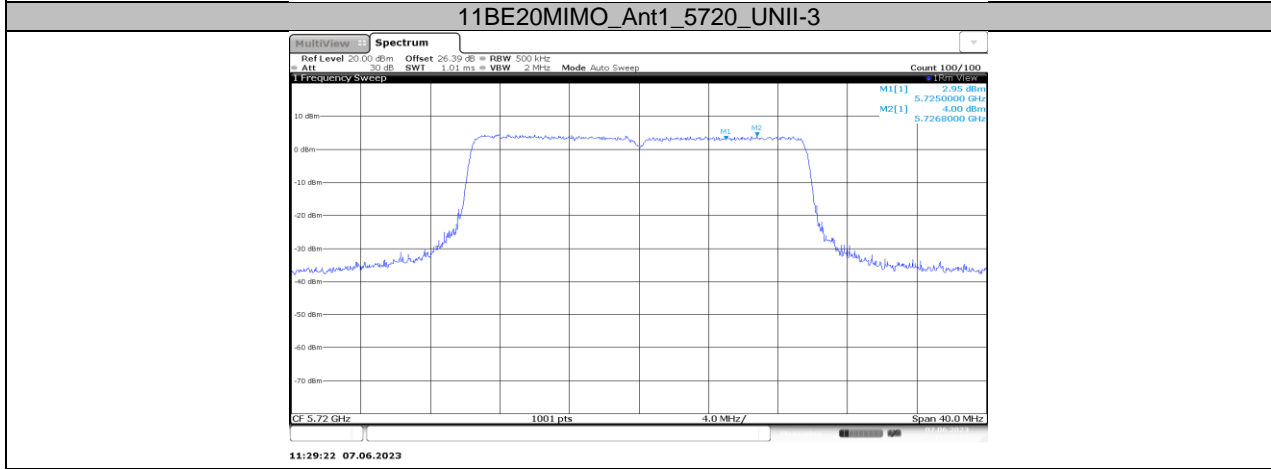
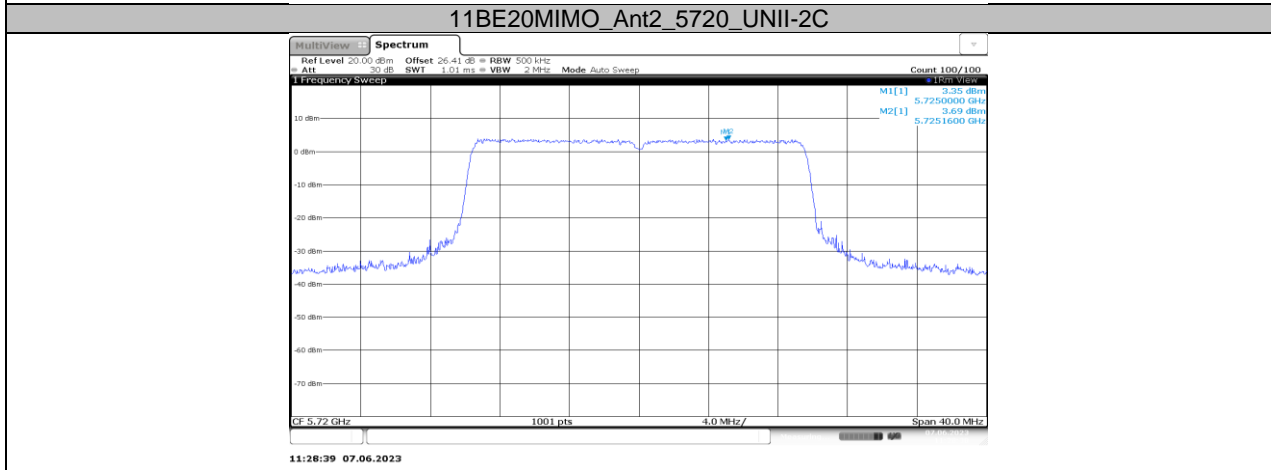
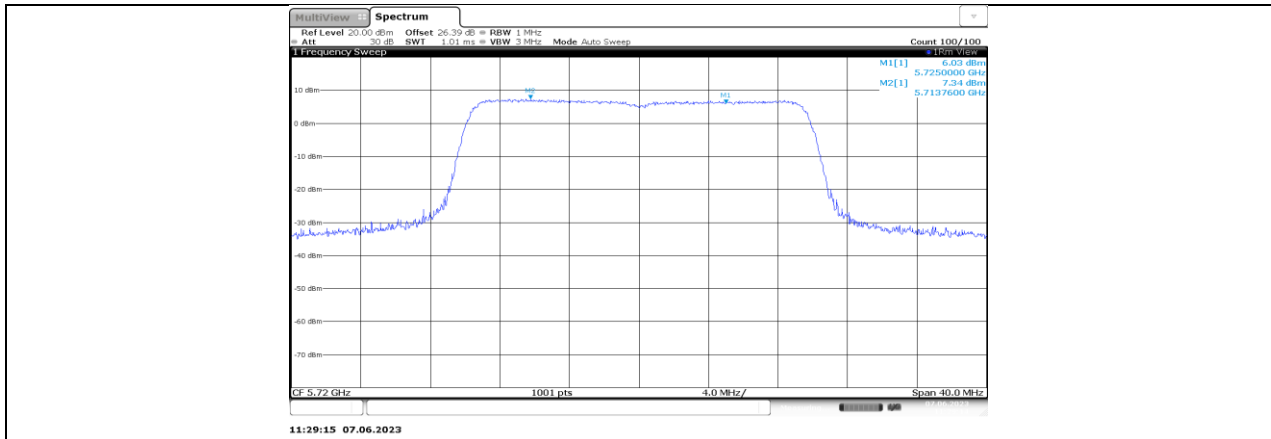


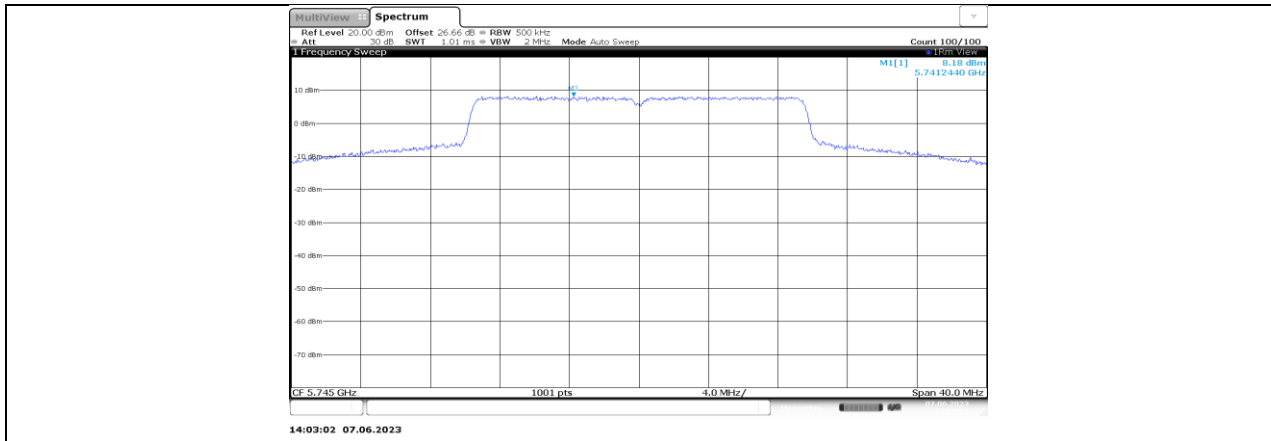
11BE20MIMO_Ant1_5580



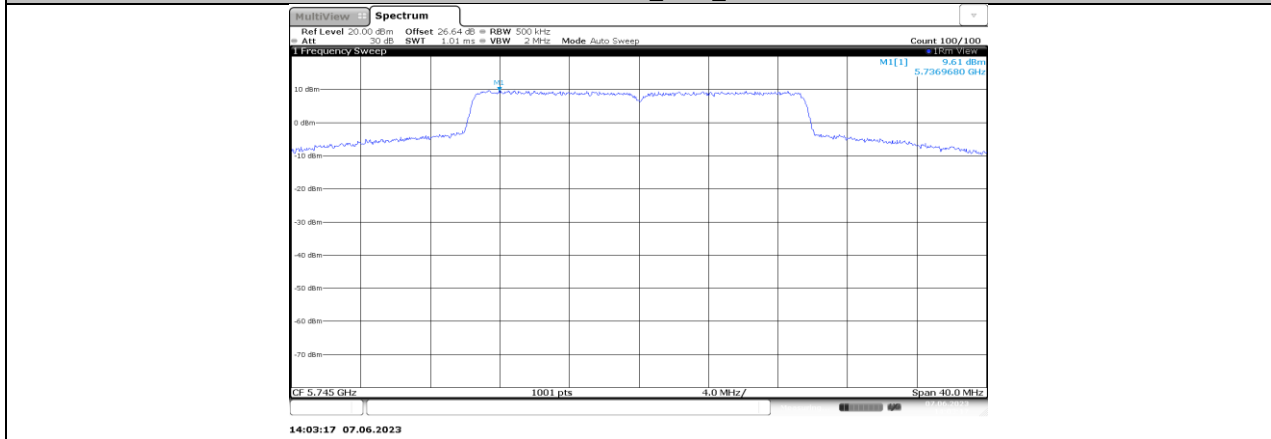
11BE20MIMO_Ant2_5580



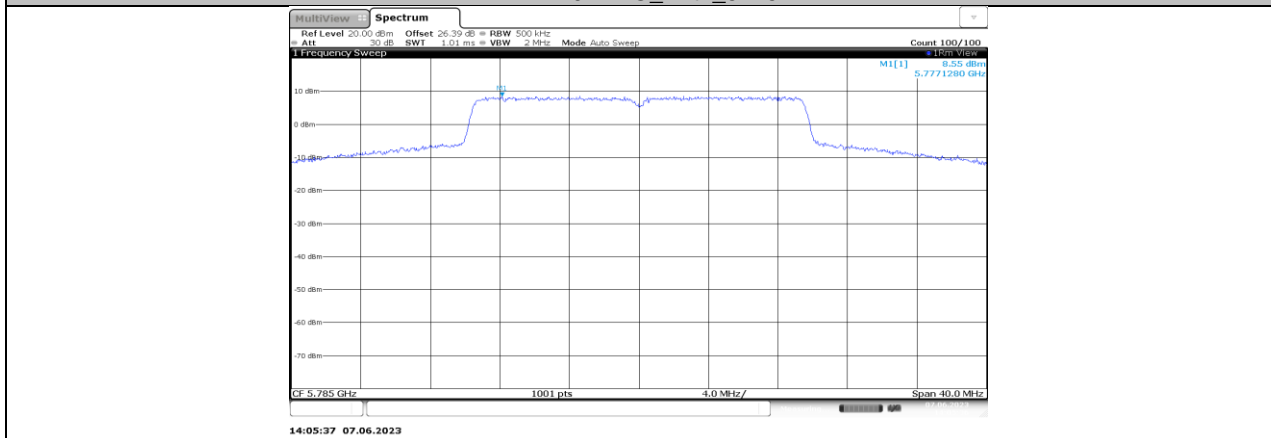




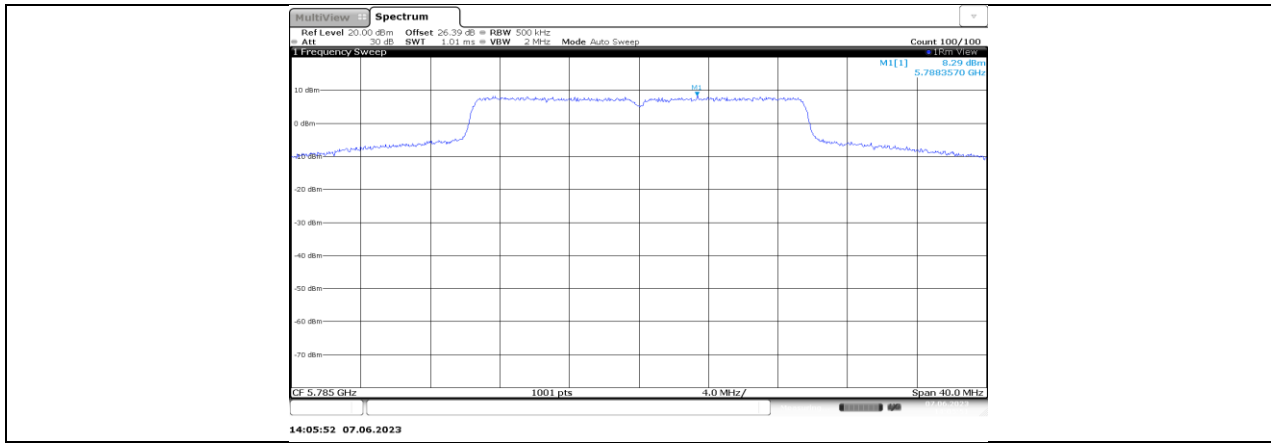
11BE20MIMO_Ant1_5745



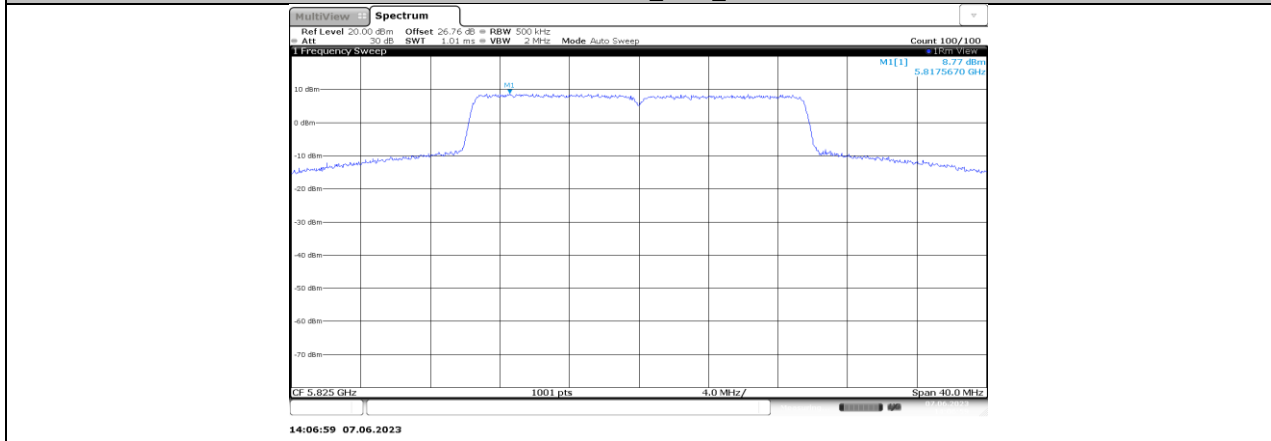
11BE20MIMO_Ant2_5745



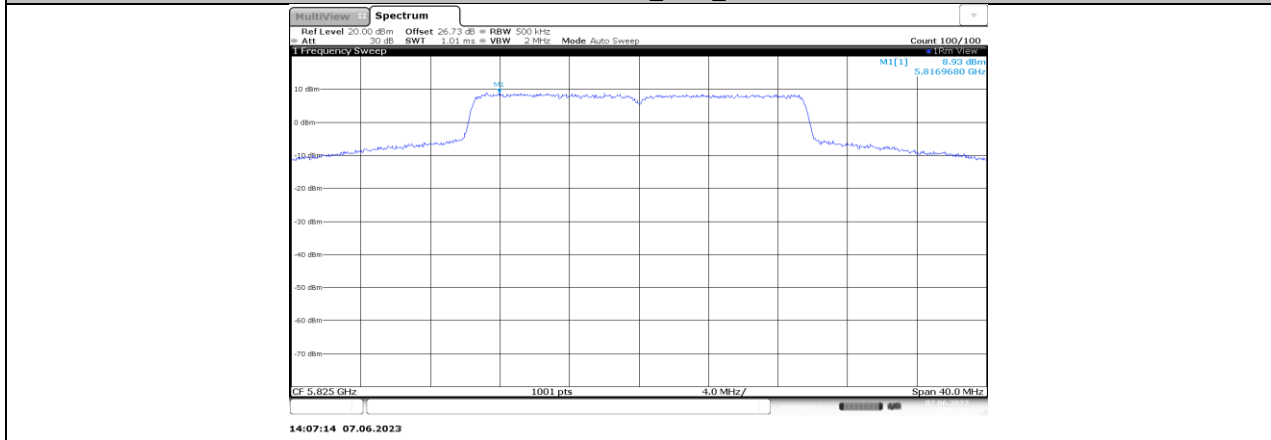
11BE20MIMO_Ant1_5785



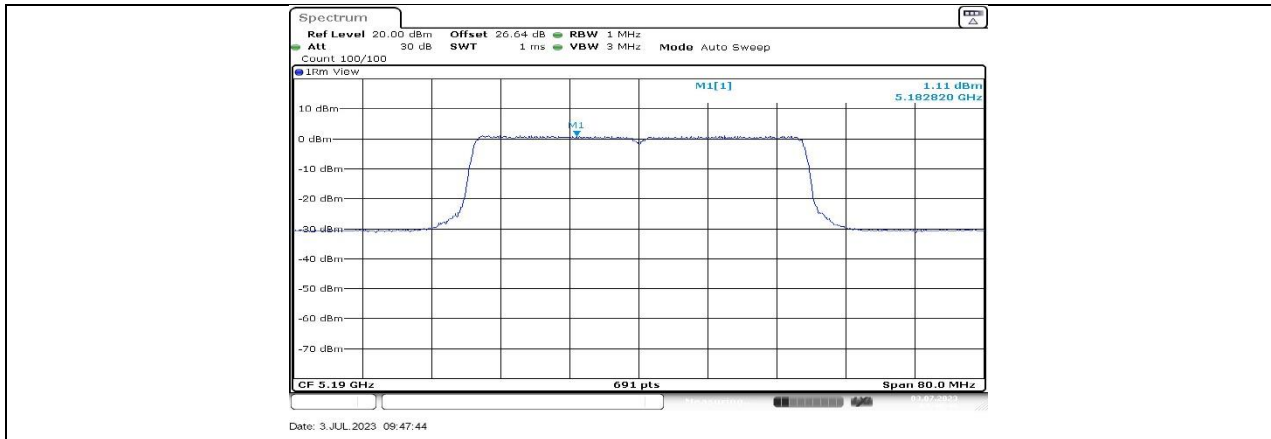
11BE20MIMO_Ant2_5785



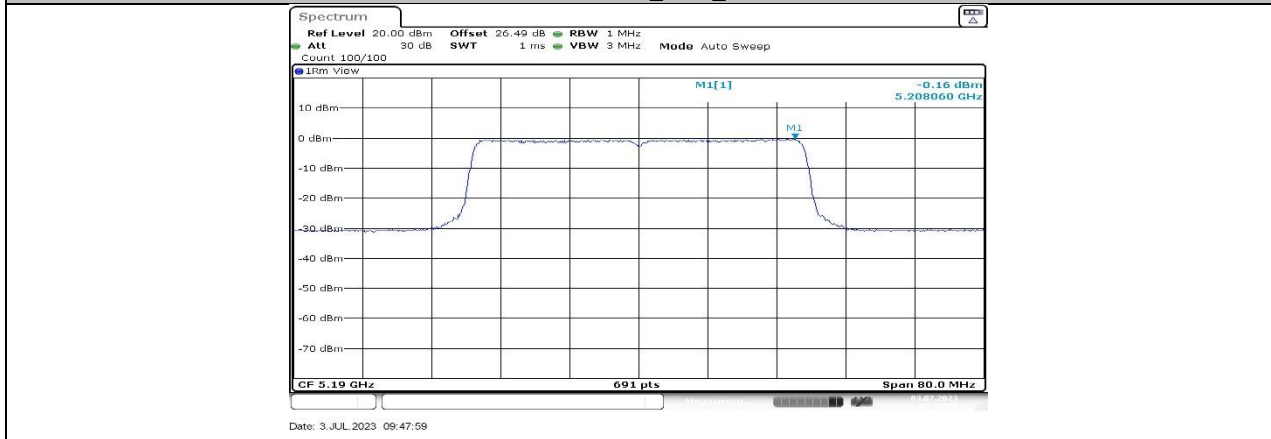
11BE20MIMO_Ant1_5825



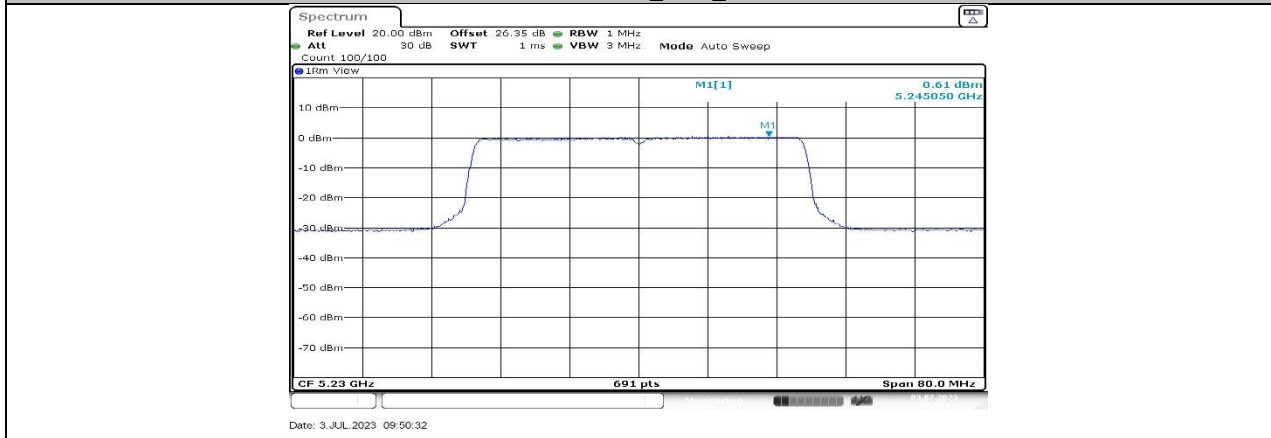
11BE20MIMO_Ant2_5825



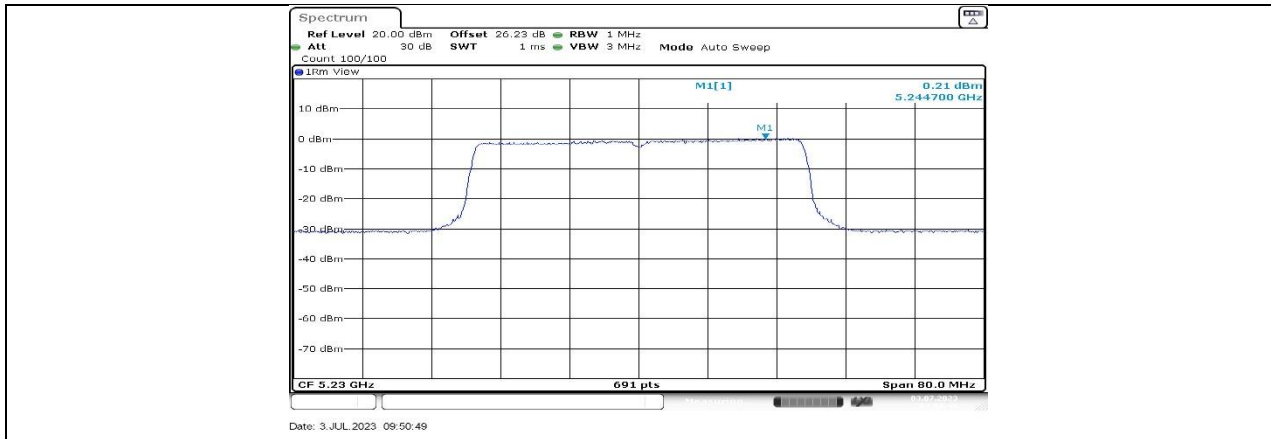
11BE40MIMO_Ant1_5190



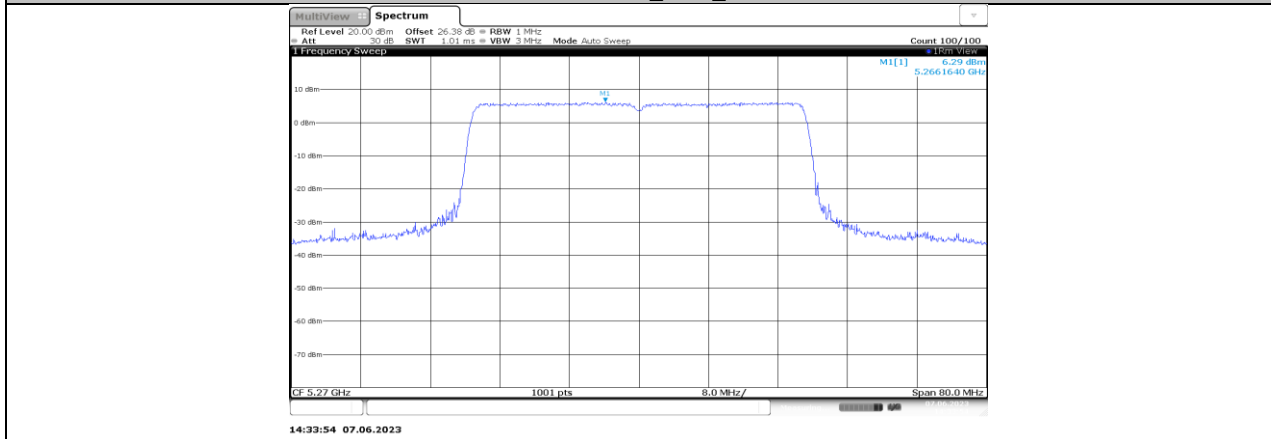
11BE40MIMO_Ant2_5190



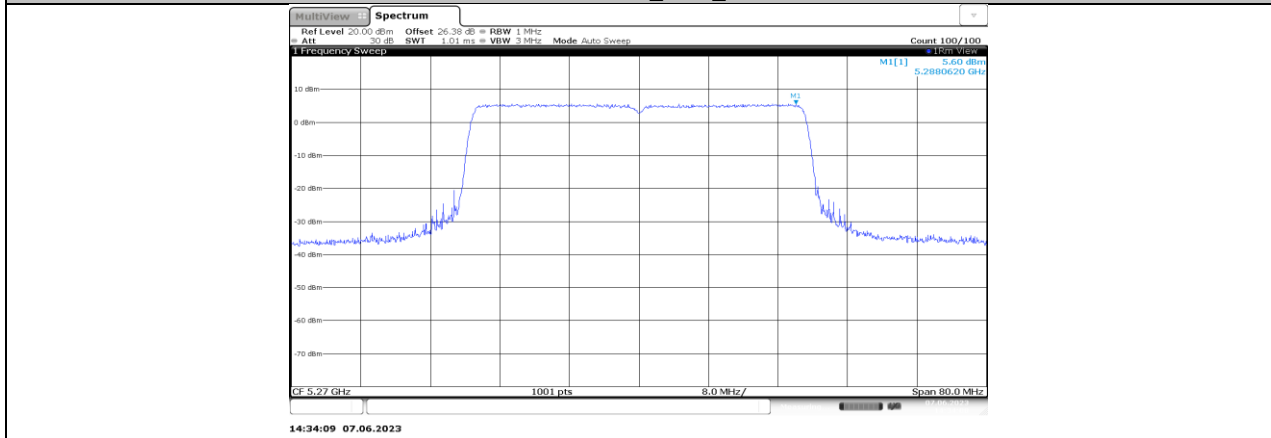
11BE40MIMO_Ant1_5230



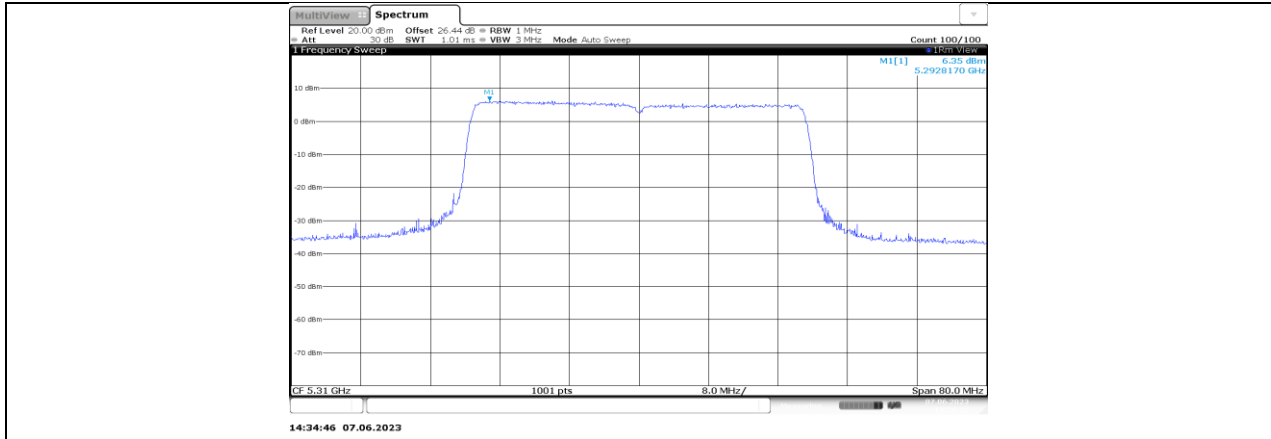
11BE40MIMO_Ant2_5230



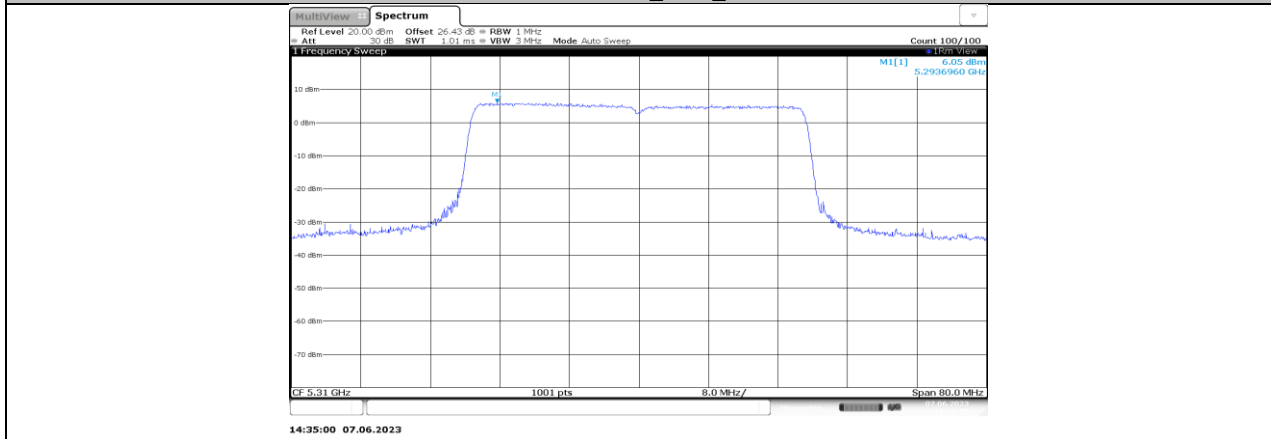
11BE40MIMO_Ant1_5270



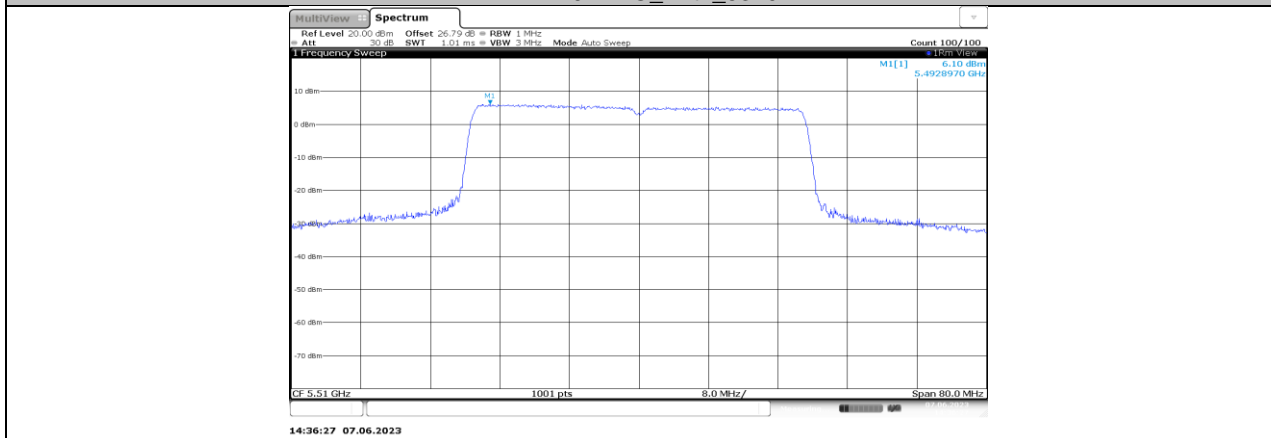
11BE40MIMO_Ant2_5270



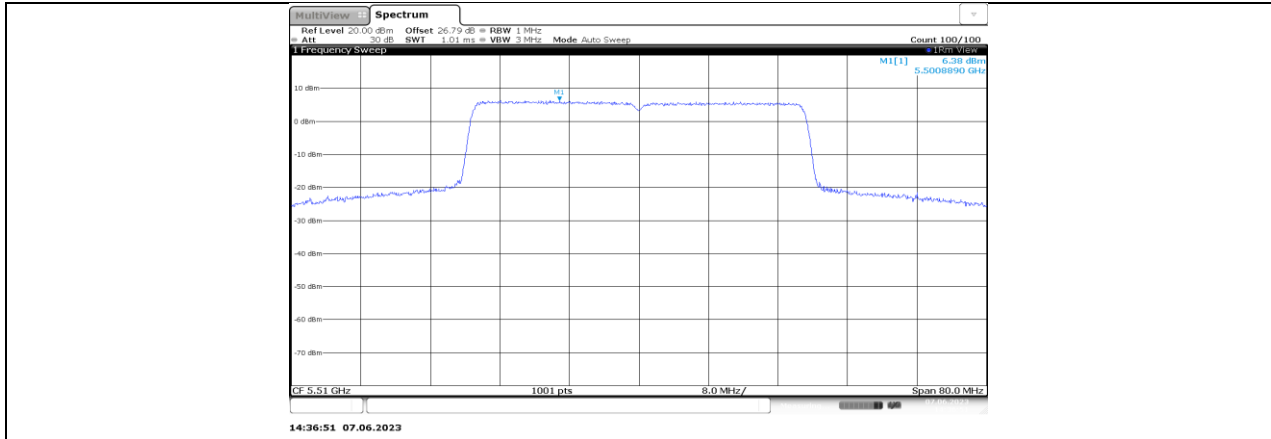
11BE40MIMO_Ant1_5310



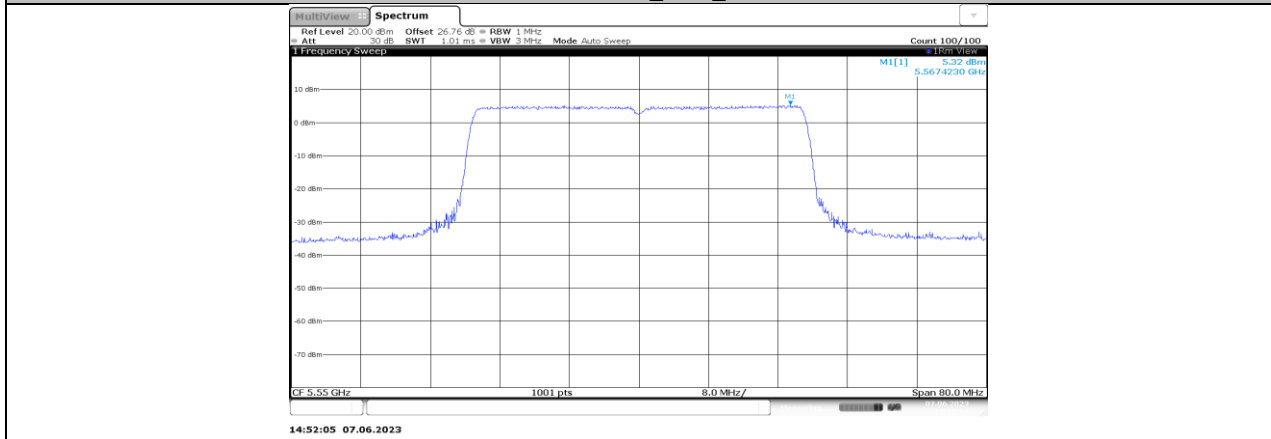
11BE40MIMO_Ant2_5310



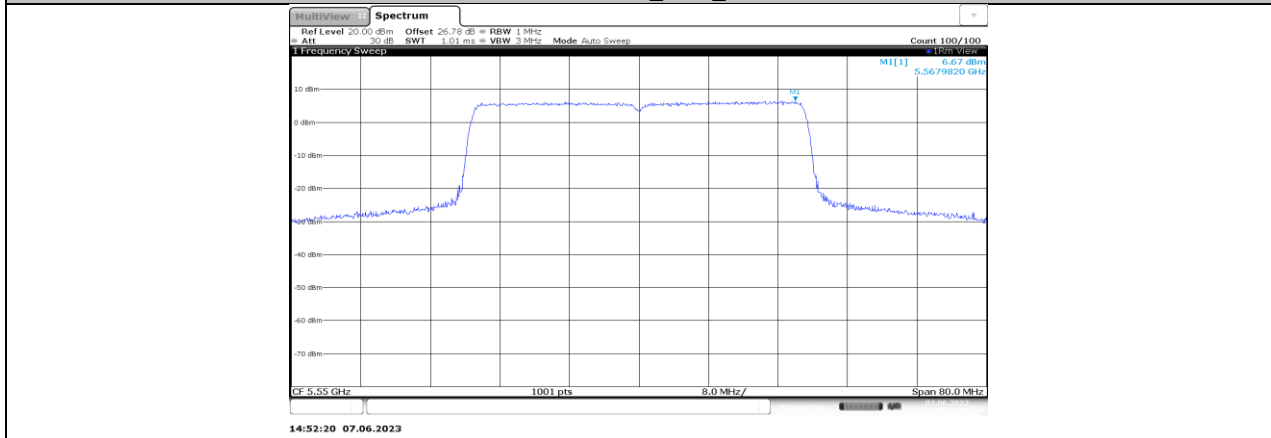
11BE40MIMO_Ant1_5510



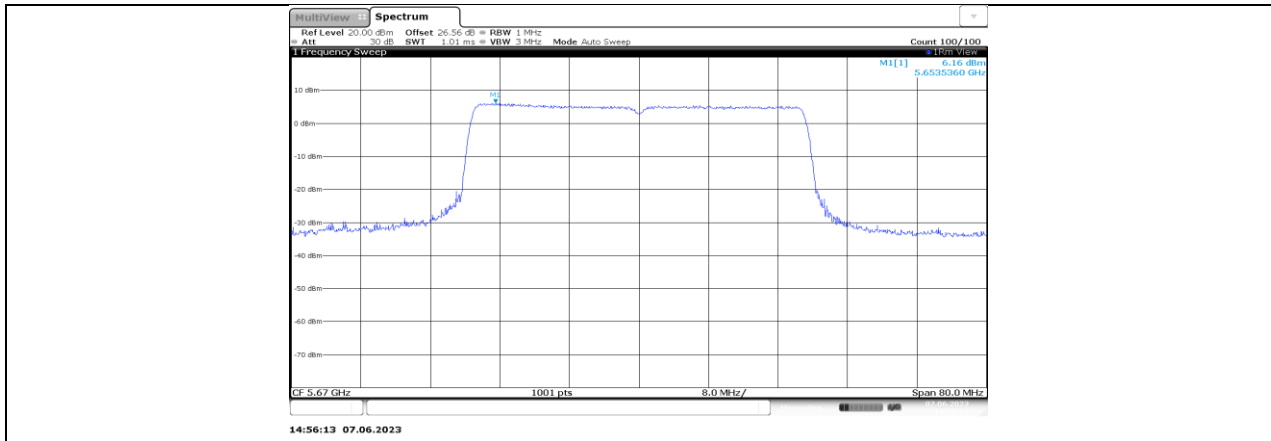
11BE40MIMO_Ant2_5510



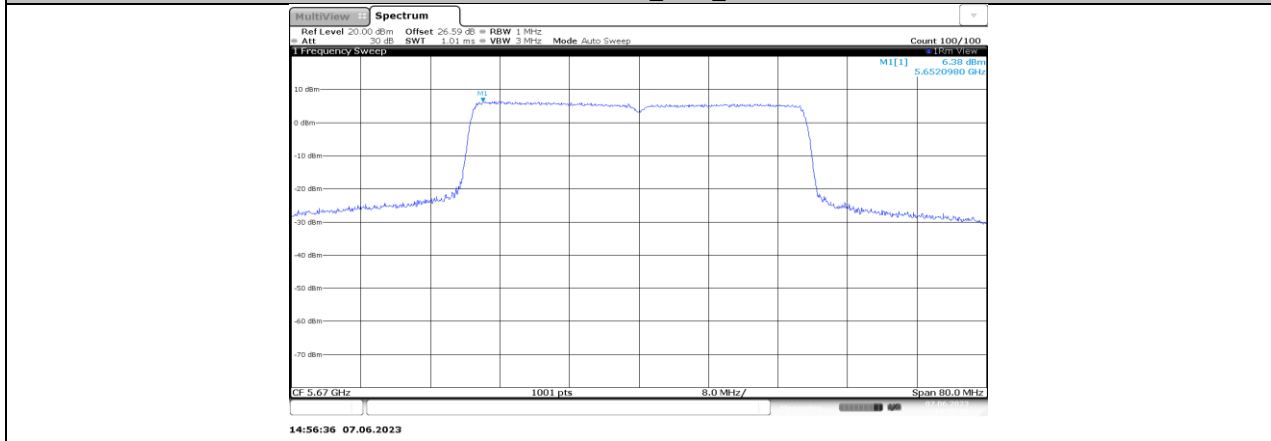
11BE40MIMO_Ant1_5550



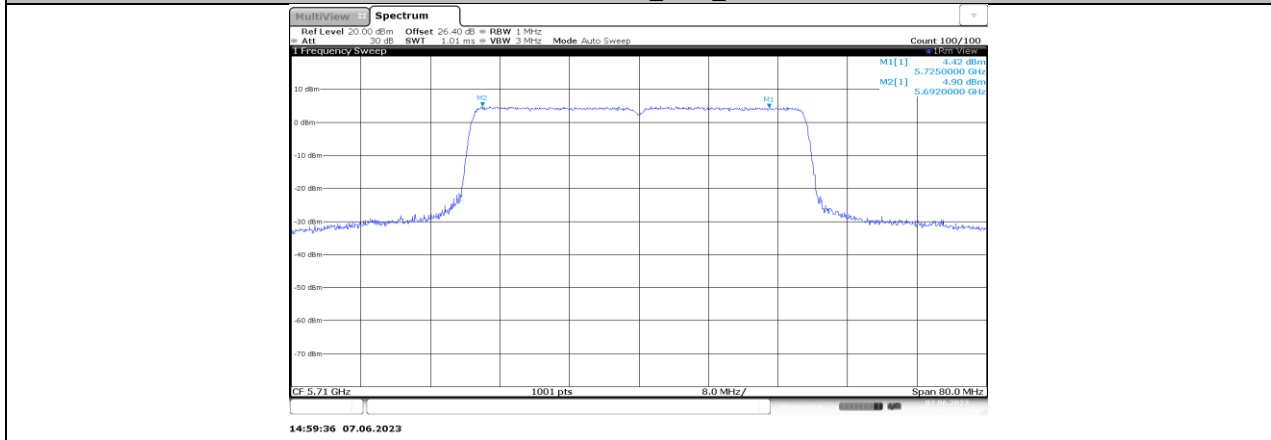
11BE40MIMO_Ant2_5550



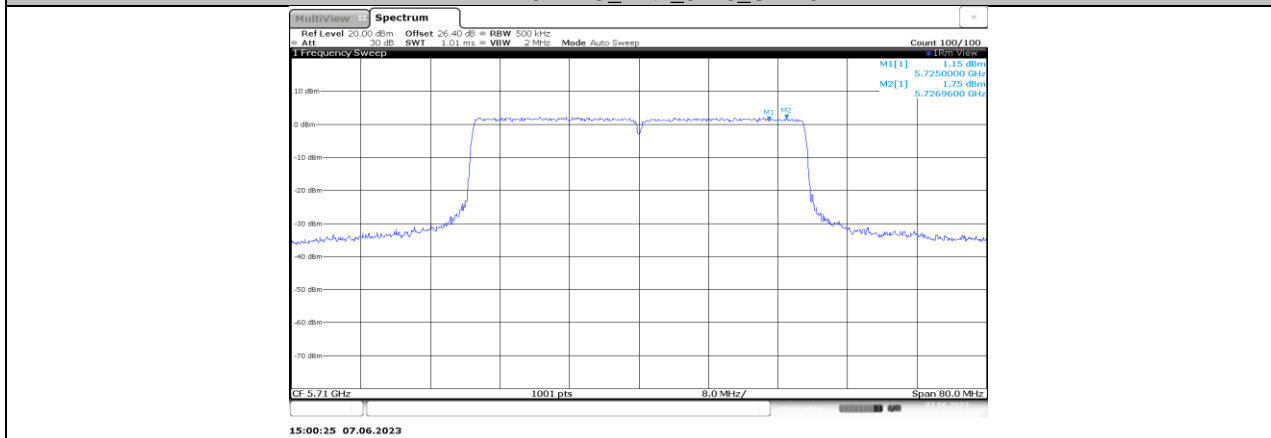
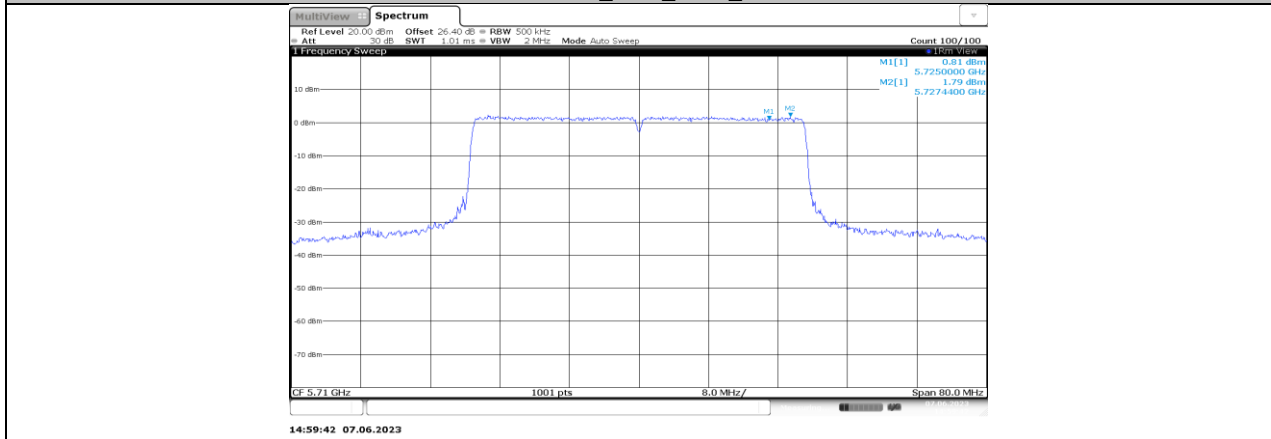
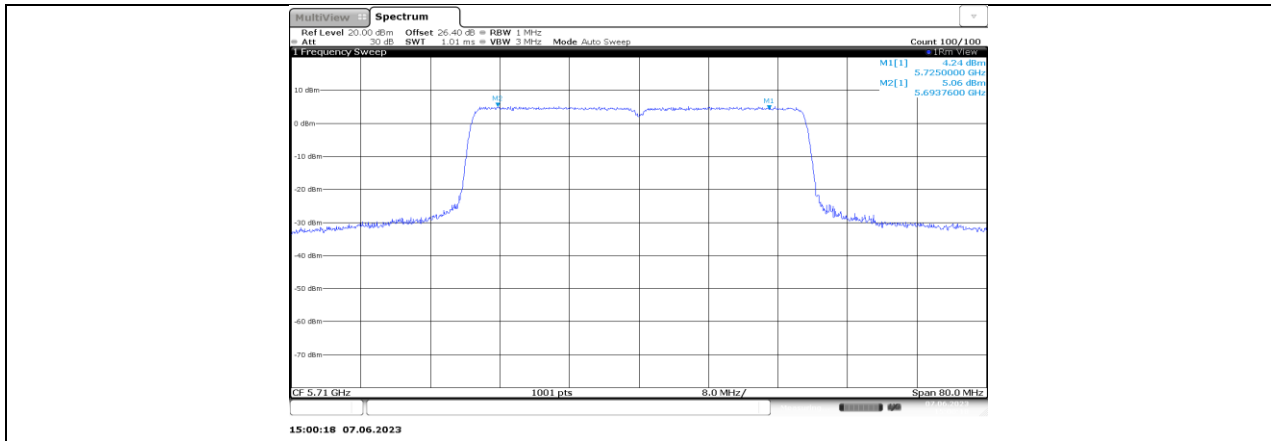
11BE40MIMO_Ant1_5670

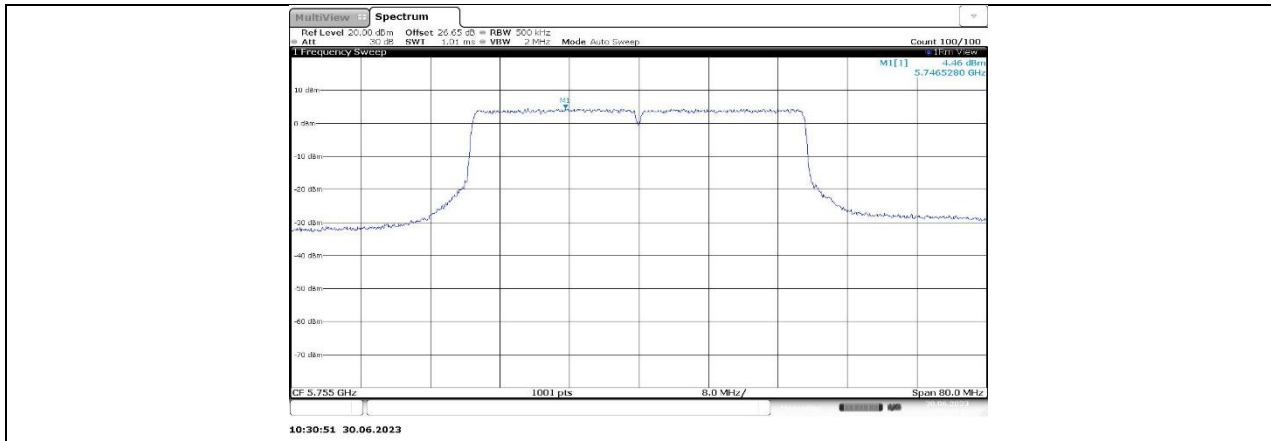


11BE40MIMO_Ant2_5670

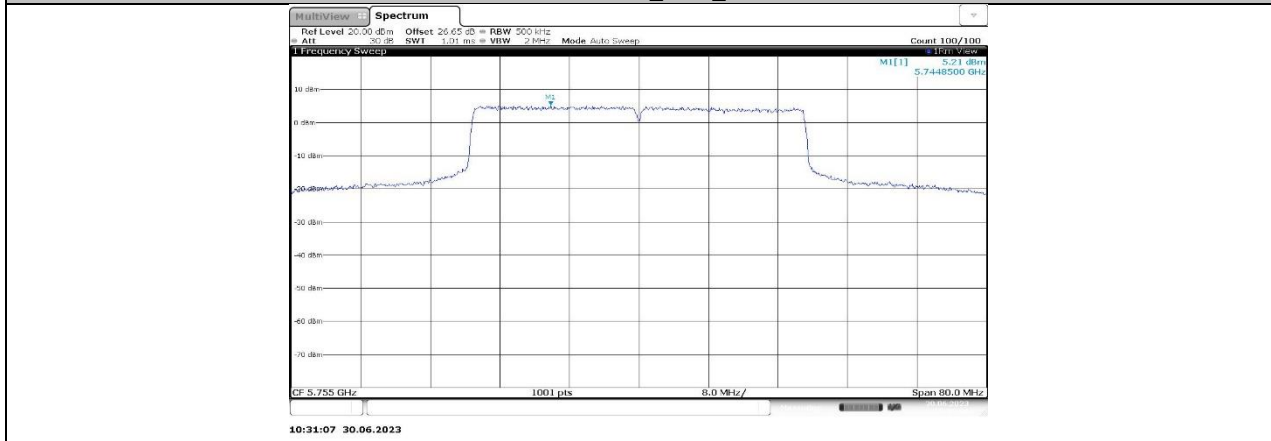


11BE40MIMO_Ant1_5710_UNII-2C

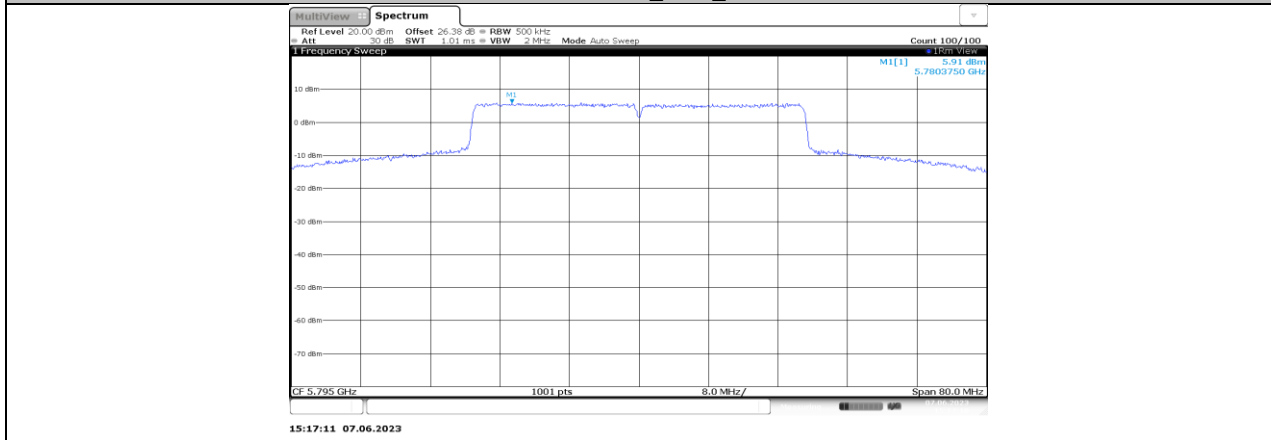




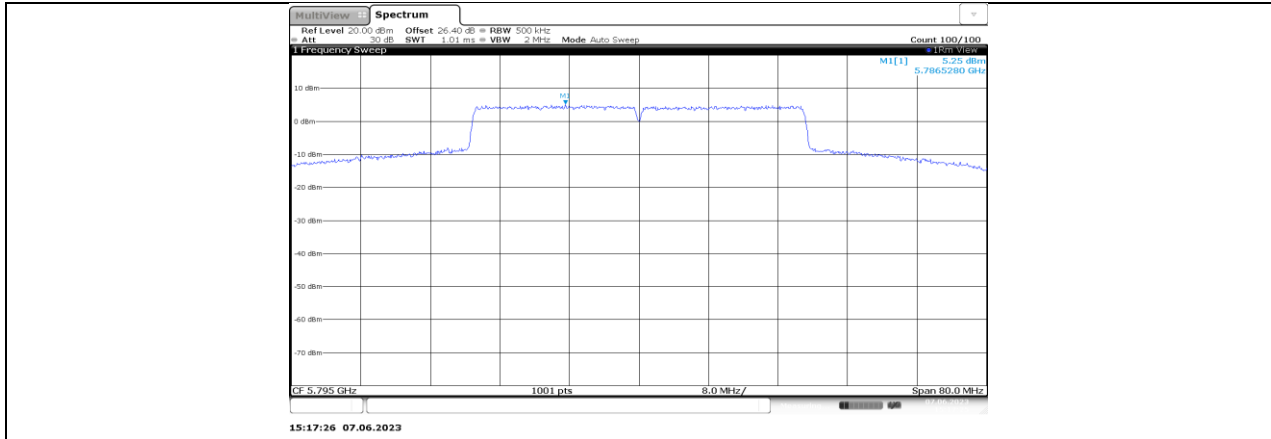
11BE40MIMO_Ant1_5755



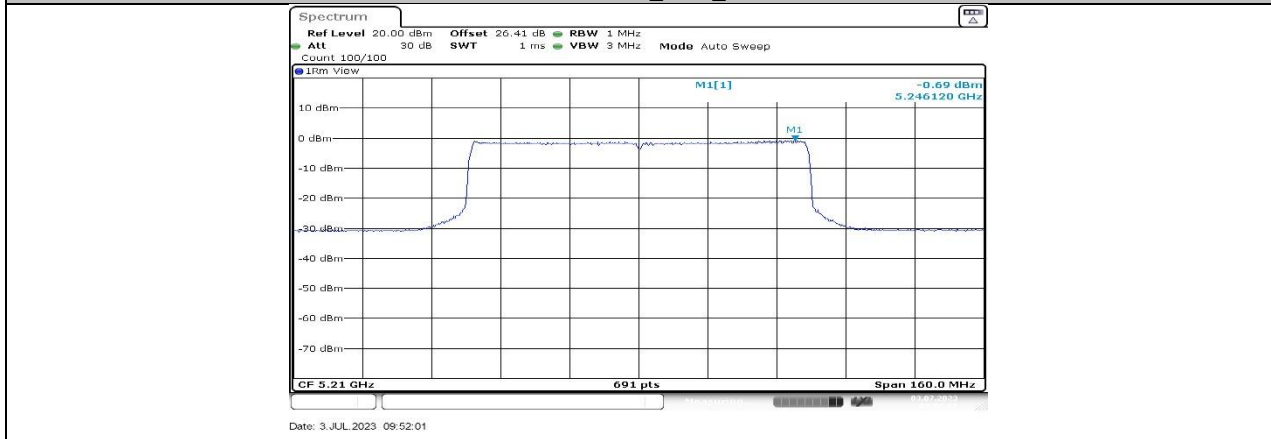
11BE40MIMO_Ant2_5755



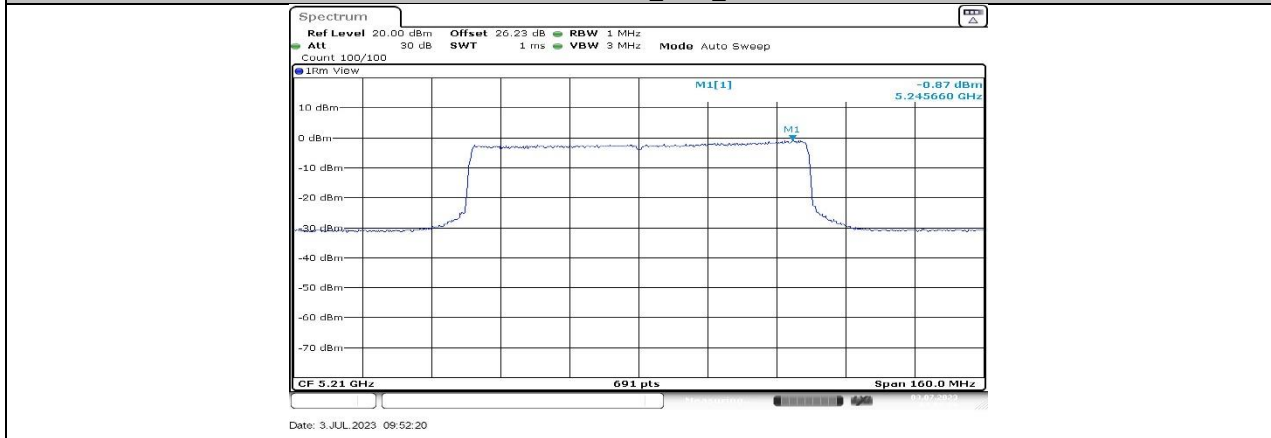
11BE40MIMO_Ant1_5795



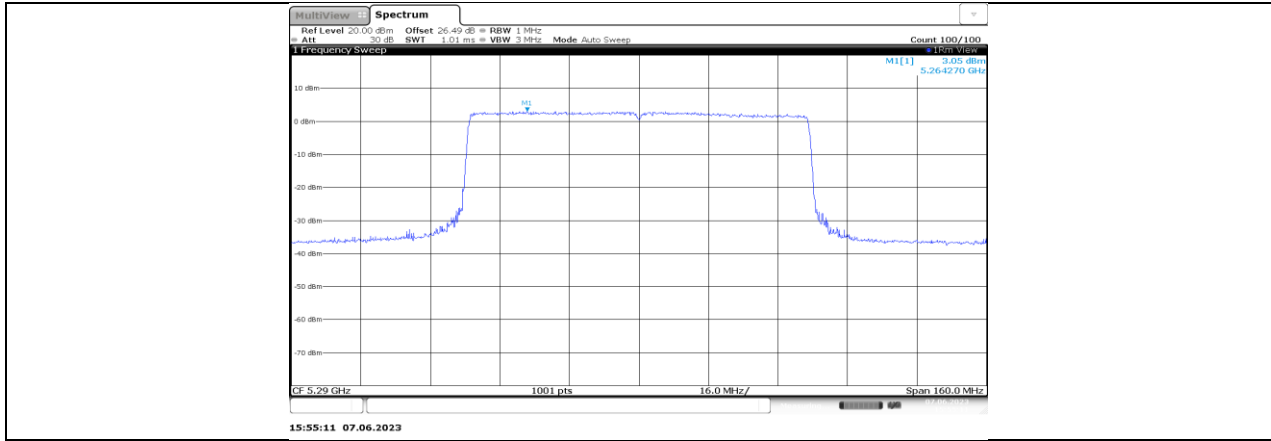
11BE40MIMO_Ant2_5795



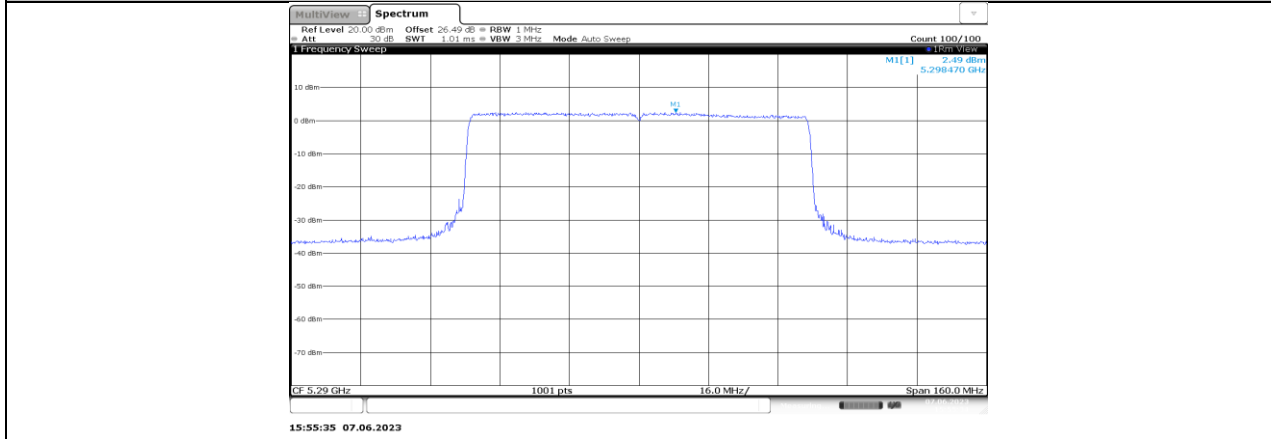
11BE80MIMO_Ant1_5210



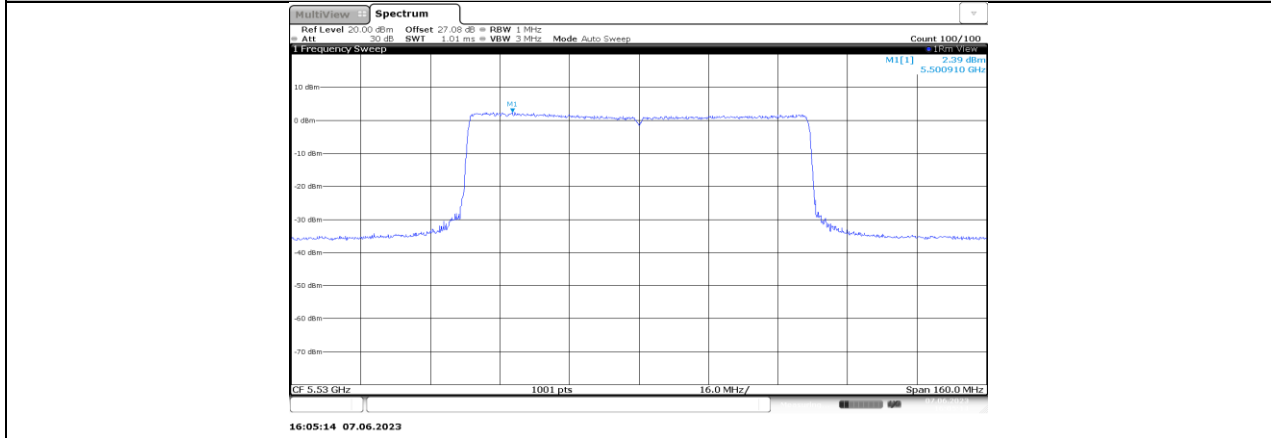
11BE80MIMO_Ant2_5210



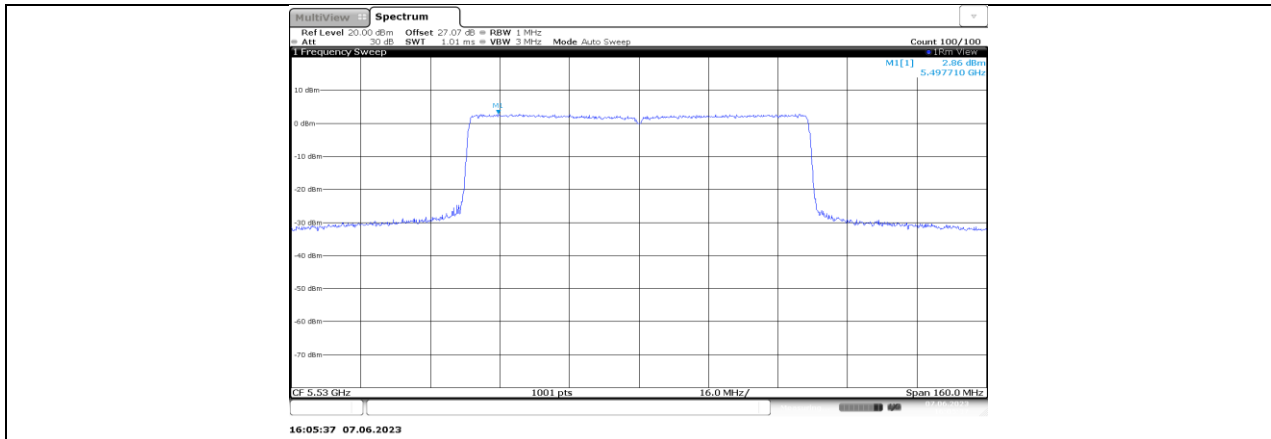
11BE80MIMO_Ant1_5290



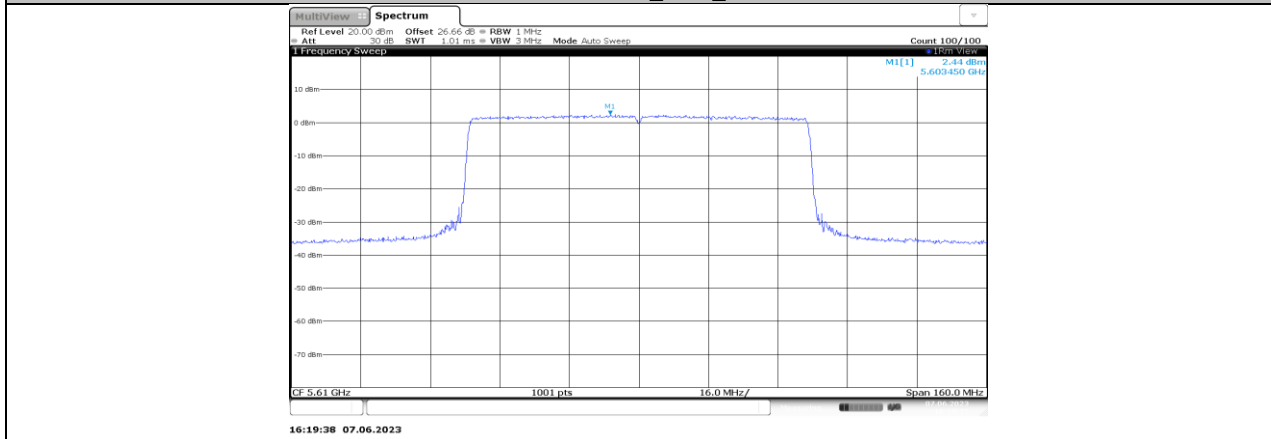
11BE80MIMO_Ant2_5290



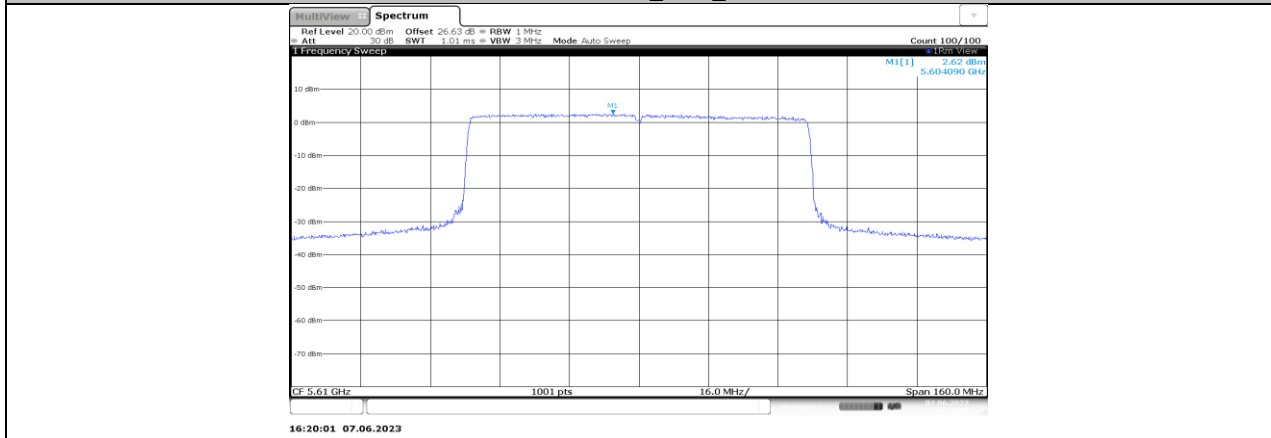
11BE80MIMO_Ant1_5530



11BE80MIMO_Ant2_5530



11BE80MIMO_Ant1_5610



11BE80MIMO_Ant2_5610